

Vysoká škola: Strojní a textilní
 Fakulta: strojní

Katedra: Technické mechaniky
 Školní rok: 1964/65

DIPLOMNÍ ÚKOL

pro Františka Sassmanna

obor Obráběcí stroje-zaměření konstrukce mechanismů a pracovních strojů

Protože jste splnil požadavky učebního plánu, zadává Vám vedoucí katedry ve smyslu směrnic ministerstva školství a kultury o státních závěrečných zkouškách tento diplomní úkol:

Název tématu: Kinematické a dynamické posouzení lámacího a stíracího ústrojí pro přípravu stonku k získání dlouhého vlákna

Pokyny pro vypracování:

- 1/ Vypracujte funkční schema podle ověřovaného prototypu VÚLV Šumperk
- 2/ Propočtěte rozsah otáček a konstrukční podmínky
- 3/ Stanovte průběh zrychlení materiálu při průchodu pracovními noži
- 4/ Silové poměry při průchodu materiálu noži
- 5/ Zhodnocení poznatků a návrh využití v uvedeném směru konstrukce

Autorské právo se řídí směrnicemi MŠK pro státní závěrečné zkoušky č. j. 31.727/62-III/2 ze dne 13. července 1962, s. 14, vým. VIII, sešit 24 ze dne 31.8.1962 § 19 autorského zákona č. 115/53 Sb.

YSOKÁ ŠKOLA STROJNÍ A TEORIČK
 Učební a výrobní
 LáBEc JAROŠOVÁ

V 126/65 ⁵

Rozsah grafických laboratorních prací:

Rozsah průvodní zprávy: cca 15 - 20 stran

Seznam odborné literatury:

Závěrečné zprávy úkolů - ZKRAT - VÚLV Šumperk

Vedoucí diplomní práce: Doc.Ing.Jaroslav Chervát

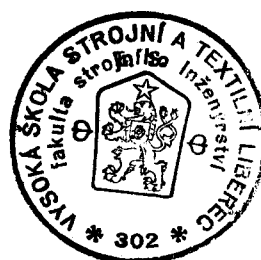
VŠST Liberec

Konsultanti: Ing.Ota Kunz

VŠST Liberec

Datum zahájení diplomní práce: 30.8.1965.

Datum odevzdání diplomní práce: 9.10.1965.



v.z. Chervát

Vedoucí katedry

Děkan

OBSAH

str.

Zadání diplomového úkolu.....	0
Obsah.....	I
Úvod.....	3
Účel a vývoj	4
<u>STAŤ I -schema a popis</u>	7
Princip lámání a stírání materiálu.....	10
<u>STAŤ II - průběh rychlostí a zrychlení materiálu při průchodu vibračními noži.....</u>	13
Rozbor děje.....	13
<u>STAŤ III - silové poměry při průchodu materiálu vibračními noži.....</u>	28
Základní pojmy-.....	28
Rozklad sil.....	33
Vstup stonku do vibračních nožů.....	36
Výstup stonku z vibračních nožů.....	40
Výpočet nože 2.....	50
Výpočet nože 3.....	54
Zhodnocení statě na podkladě vypočtených hodnot a grafů.....	55
<u>STAŤ IV -propočet konstrukčních podmínek v rozsahu otáček.....</u>	60
Konstrukční a silové poměry ve vibračních nožích.....	62
Ohybové kmitání nožů.....	62
Namáhání průřezu nožů dynamickými silami a silami, které vznikají při vlastním lá- mání stonku.....	68
Kmitání nožů ve směru vedení.....	85

str.

Řešení volného kmitání.....	87
Řešení volného tlumeného kmitání.....	91
Řešení tlumeného vinutého kmitání za chodu stroje naprázdno.....	95
Řešení tlumeného vynuceného kmitání při chodu stroje za provozního zatížení.....	103
Namáhání klikového hřídele.....	127
<u>STATÍ V - zhodnocení poznatků a návrh využití v uvedeném směru konstrukce.....</u>	135
Seznam literatury.....	140
Příloha.....	04.0000

VŠST LIBEREC	Kinematické a dynamické po- souzení lámacího a stíracího ústrojí pro přípravu stonku k získání dlouhého vlákna	DP — STR. 3
		9. ŘÍJNA 1965

František Bassmann

Ú V O D

V souladu s technickým pokrokem a se zvyšo-
váním produktivity práce je nutné neustále
vyvíjet nová, výkonnější, se světovými parametry
pracující výrobní zařízení a zavádět nové,
moderní a pokrokové technologie. Abychom sta-
čili tomuto rychlému vývoji techniky, je vždy
nutné znát současný stav světové špičky sle-
dovaného oboru.

Tak tomu bylo i v našem případě, kdy teprve
po prostudování dostupné patentové literatu-
ry a po vyzkoušení si několika známých již
principů lámání a potěrání stonků lnu na
modelech, bylo teprve přikročeno k vlastnímu
řešení a vývoji vibračního zařízení.

V současné době se již toto nové vibrační za-
řízení provozně zkouší a proto cílem této
diplomové práce bylo, získat přehled o veli-
kostech namáhání jednotlivých konstrukčních
elementů a shrnout silové poměry, jež vznika-
jí při lámání a potěrání lnových stonků.

ÚČEL

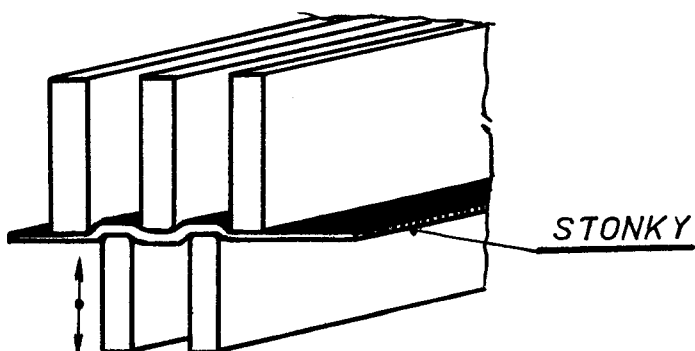
Účelem vibračního zařízení je dosáhnout co nejvyššího efektu lámání a stírání dřevoviny, jak kořenové tak i okvětní části lněného stonku, čímž je stonk připraven pro potěrací agregát s nízkooštáckovými rotory.

VÝVOJ

Vývoj nové technologie s využitím principů vibračních pracovních prvků pokračoval velmi pomalu, přestože varianty možného provedení dle patentové literatury jsou známy prakticky již nejméně 20 let. V této technologii odrazovala od realisace nevýhoda přetržitého střívavého pohybu, složitost náhrovových částí a i malý výhled na dosažení provozních parametrů. Z dostupné patentové literatury byly k dispozici tyto patenty

a/patent č. 695090/I940 -německý patent,

Kurt Frische in Bensheim



Tento patent řeší lámání vrstvy stonků pomocí dvou skupin lamel. Jedna skupina lamel je pevná a druhá skupina lamel vykonává periodický kmitavý pohyb. Tento pohyb kmitajících lamel je kolmý na vrstvu lněných stonků jež prochází mezi pracovními částmi lamel. Z toho plyne, že pohyb vrstvy lněných stonků musí být periodický a synchronní s pohybem kmitajících lamel, aby nedocházelo k prutí stonku mezi transportním zařízením a pracovními částmi lamel.

b/ patent č.I 022949/I952 - francouzský pa-
tent

Způsob řešení u holandské firmy Nederlandse Organisatie voor Toegepasten Natuurweten-Schapelijk Onderzoek předpokládá využití skupinového využití nůžkovitých odpružených lišt, které s protilehlých stran do sebe zapadají a lámají dřevovinu.

c/ patent č.961751 -holandský patent, Haag

Pracovními prvky jsou zde dlouhé různě profilované lišty s mechanickým odpružením, do kterých se při počtu 1000 až 2000 kmitů/min navádí vrstva stonků pod úhlem 45°.

d/ patent uplatněný inž.E. & F.Hackelem.

Praktické zkušenosti dynamického změkčování

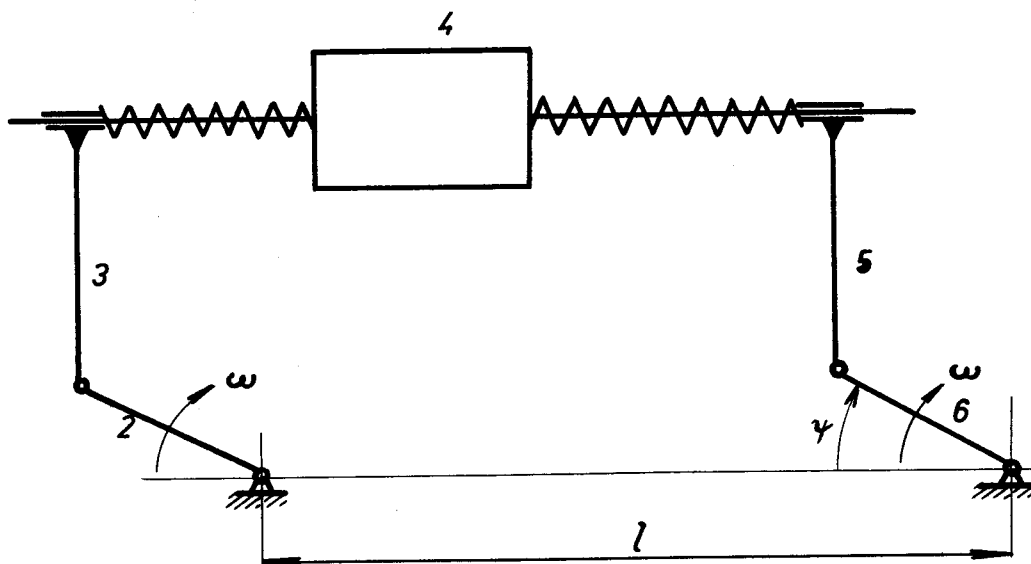
vláken nebyly známy. Lze se domnívat, že efekt zjemňování byl doprovázen přesuny vláken v upevněné vrstvě a tím dochází k zhorskání paralelismu vláken.

e/ vibrační prvky se dvěma stupni volnosti

CNIILV, Moskva

přes značnou účinnost není postup výhodný, neboť značně rozrušoval strukturu vláken smykem o hrany vibračních prvků.

Nevýhoda všech těchto uvedených principů lámání stonků je, že neumožňují kontinuální proces, tj. nejsou v souladu transportní rychlosti s přetržitým krátkodobým zafixováním stonků mezi hranami pracovních elementů-kmitajících prvků. Značná různorodost uvedených konstrukčních řešení však velmi dobře posloužila ke zpřesnění požadovaných parametrů a usnadnila vývoj k tomuto konečnému konstrukčnímu provedení vibračního zařízení.

I. SCHEMA A POPIS

Vlastní vibrační jednotka je tvořena vibračním nožem /4/, jehož žebra vytvářejí současně pracovní hrany o dané rozteči a hloubce záběru s přiměřenou výškou pro ohyb stonku, z tělesa /5/ a tělesa /3/, a z klikového hřídele /2/ a /6/ jejichž úhlové rychlosti jsou synchronní a stejné velikosti. To znamená, že tento šesti členný mechanismus pracuje jako paralelogram. Tím je řešeno, že všechny body tělesa 4 -vibračního nože- konají rovný kruhový pohyb. Tento kruhový rovinový

pohyb lze rozdělit na složku pohybu ve směru lámání/směr kolmý na vibrační nůž 4 /a na složku pohybu ve směru transportu materiálu /složka kolmá na směr lámání/. Je-li tato druhá složka rychlosti synchronní /což lze ve skutečnosti nastavit variátorem/s transportní rychlosťí je tím vyhověno základní podmínce kontinuálnosti provozu.

Tím je umožněno vřadit toto vibrační zařízení /tvořeno 3 páry vibračních jednotek pro kořenovou část lněného stonku a 3 páry vibračních jednotek pro okvětní část lněného stonku/do celkové výrobní linky sestavené takto

a/nakládací stůl

b/vyčesávací stroj

c/pomocný transportér

d/lamačka se středními a jemnými profily,

celkem 9 páru válců

e/přísunový transportér s pneumatickým po-

suvem stonku do vibračního zařízení

f/vlastní vibrační zařízení

g/pneumatické přepínací zařízení pro upnu-

tí stonku pod pás potěrací turbíny

h/potěrací turbína

část linky je zachycena na obrázku

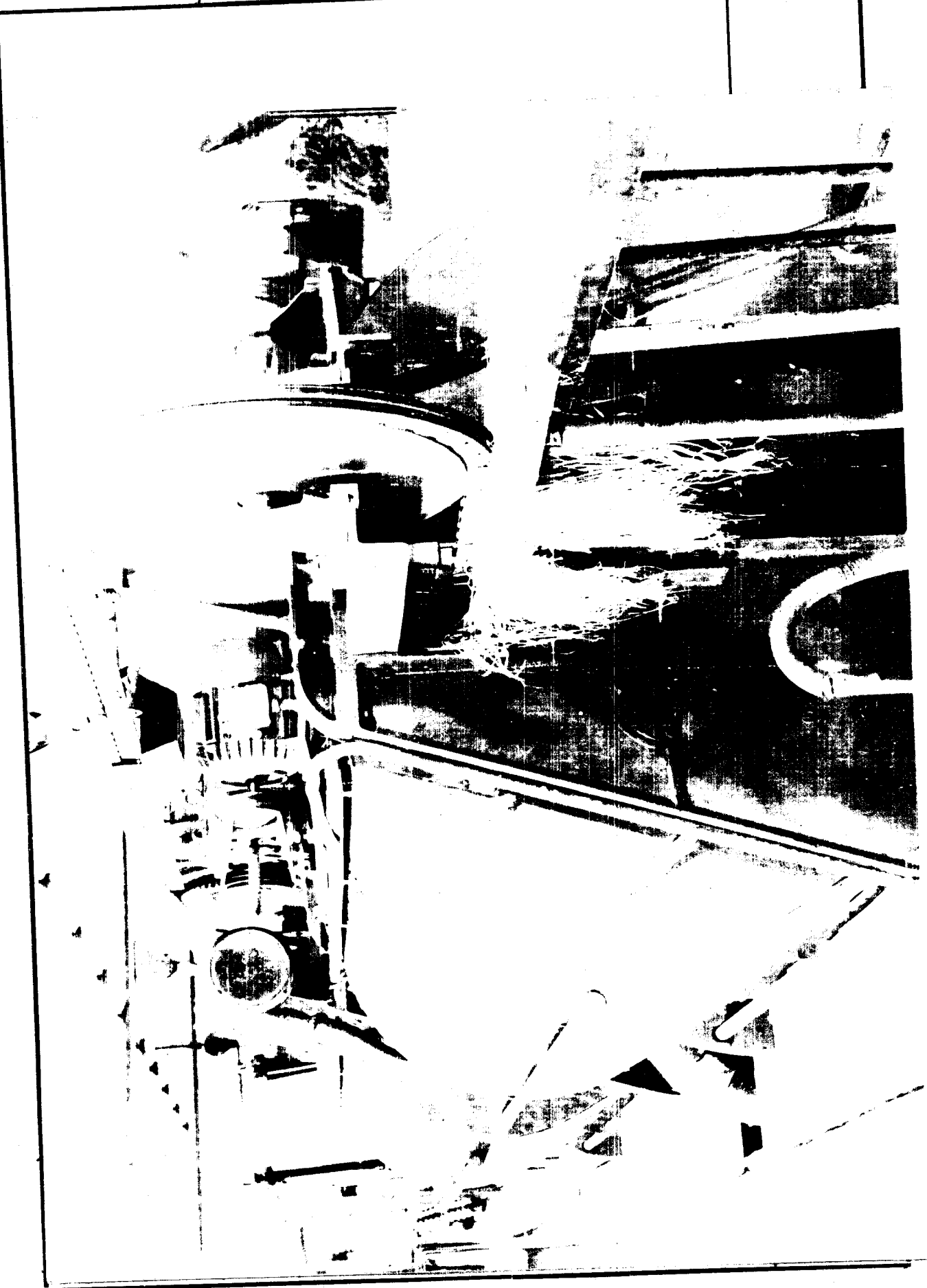
VŠST LIBEREC

Kinematické a dynamické po-
souzení lámacího a stíracího
ústrojí pro přípravu stonku
k získání dlouhého vlákna

DP — STR. 9

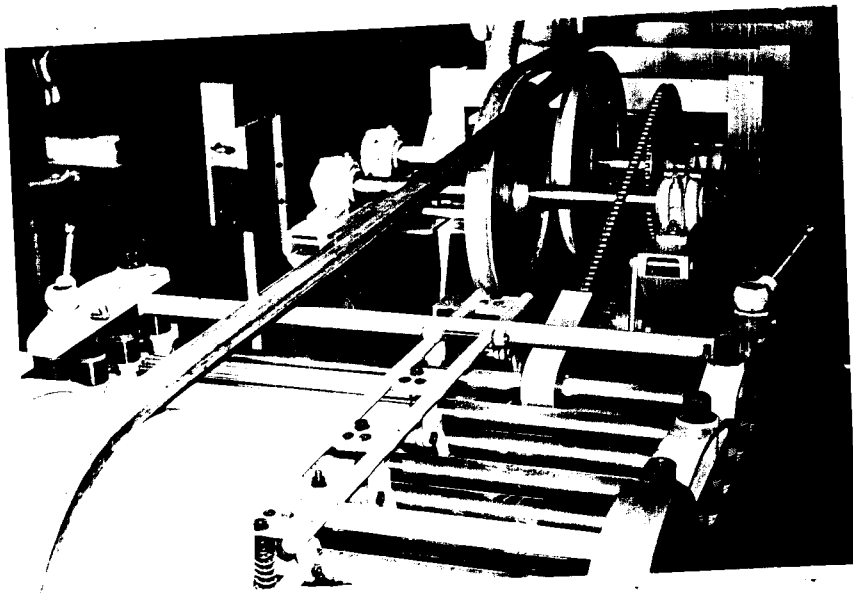
9. ŘÍJNA 1965

František Bassmann



Princip lámání a stírání materiálu

spočívá v tom, že mezi dvě proti sobě pracující kmitající jednotky /jedna jednotka má vibrační nůž se třemi pracovními hranami a druhá jednotka má vibrační nůž se dvěma pracovními hranami/ je kontinuálně přiváděn transportním pásem materiál obr./I/I.



obr./I/I - válcová lamačka a přepínací pás
vibračního zařízení

Při pootočení kliky do polohy $\varphi = 45^\circ$ nastává pracovní proces - lámání materiálu za současněho stírání. Tento pracovní proces trvá až do polohy kliky $\varphi = 135^\circ$. V následujícím okamžiku je materiál uvolněn z hran vibračních nožů. Tento proces se opakuje každou otáčkou hřídele.

Velikost efektu lámání a stírání je charakte-

VŠST LIBEREC

Kinematické a dynamické po-
souzení lámacího a stíracího
ustrojí pro přípravu stanku
k získání dlouhého vlákna

DP — STR. 44

9. ŘÍJNA 1965

František Sassmann

risována přesahem dvou proti sobě pracujících
hran nožů a roztečí jejich hran, viz obr./I/2.
Na obr./I/3 jsou zachyceny vibrační nože v oka-
míku maximálního stevření. Pro představu uchy-
cení vibračních nožů nám poslouží obr./I/4.



obr./I/2



obr./I/3

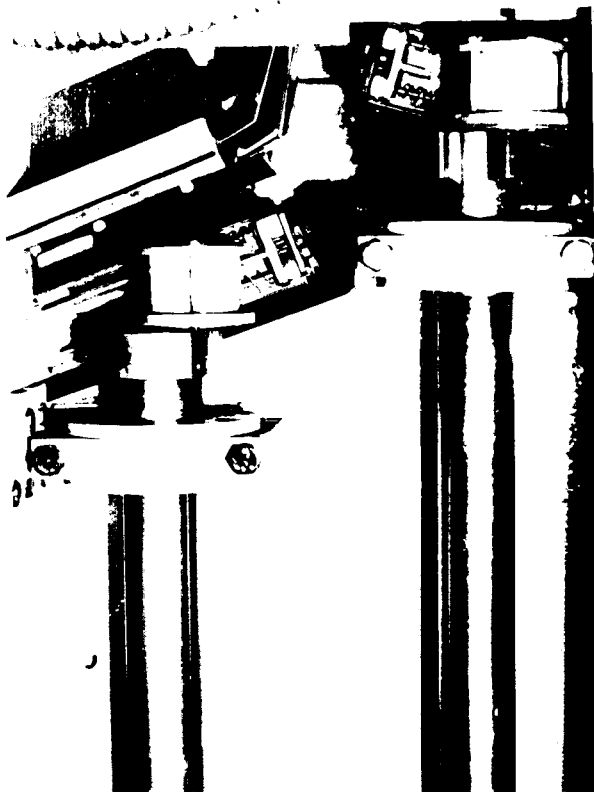
VŠST LIBEREC

Kinematické a dynamické po-
souzení lámacího a stíracího
ústrojí pro přípravu stěnku
k získání dlouhého vlákna

DP — STR. 12

9. ŘÍJNA 1965

František Sassmann



obr./I/4 - hřidele a excentry dvou sousedních
vibračních nožů

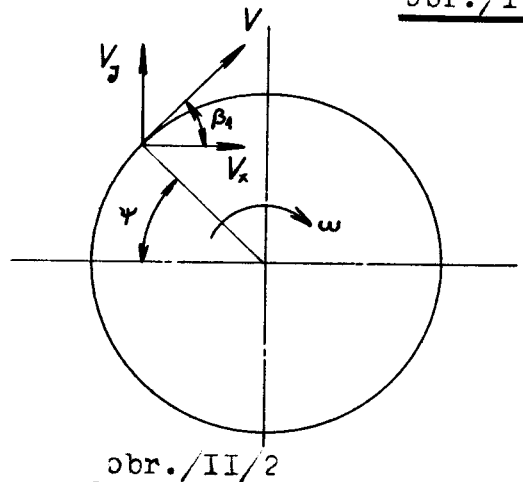
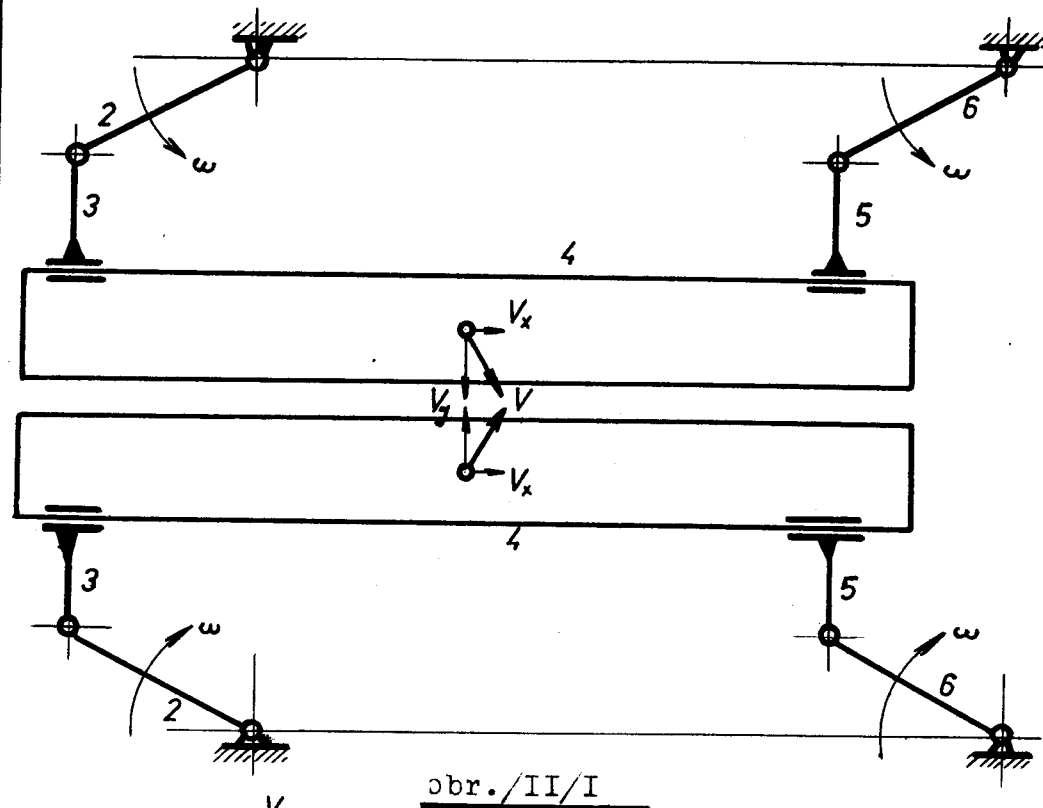
II. PRŮBĚH RYCHLOSTÍ A ZRYCHLENÍMATERIÁLU PŘI PRŮCHODU VIBRAČNÍMI NOŽIRozbor děje

K tomu, abychom mohli zjistit velikosti sil, jenž působí na stonek, při jeho lámání mezi hranami vibračních nožů/je řešeno ve stati III/ je nutné znát, jaké rychlosti a zrychlení přísluší stonku u každém okamžiku polohy kliky γ /resp. každé určité poloze hran vibračních nožů/.

Okamžiku, kdy nastává styk nožů se stonkem přísluší , jak již víme poloha kliky $\gamma=45^\circ$. v tomto okamžiku mají oba společně spolu pracující páry vibračních nožů určité, ale oba stejné rychlosti a zrychlení.Jak již také víme, konci lámání stonku odpovídá maximální přesah hran a poloha kliky $\gamma=90^\circ$. Ovšem okamžik, kdy opouští stonek vibrační nože je při poloze kliky $\gamma=135^\circ$. Pro polohu $\gamma=90^\circ$ až $\gamma=135^\circ$ platí, že zde je již stonek uvolňován se stejnými hodnotami rychlostí a zrychlení.Tím je zřejmé, že se soustředíme na oblast odpovídající poloze kliky $\gamma=45^\circ \div 90^\circ$.

Poďle obr./II/I vidíme, že budeme sledovat složky rychlosti v směru x, tedy složku rychlosti v_x , a do směru y složku rychlosti v_y . Jejich vzájemný

vztah a vztah k celkové rychlosti $/v/$ je podle
obr./II/2 zřejmý.



celková rychlosť v

$$/I/ \quad v = \frac{\pi d n}{60} \quad [m/sec]$$

$$V_x = V \cos \beta_1 \quad [m/sec]$$

$$V_y = V \sin \beta_1 \quad [m/sec]$$

$$\text{kde } \beta_1 = 90^\circ - \gamma$$

a tedy

$$/2/ \quad V_x = V \cos (90^\circ - \gamma) = V \sin \gamma$$

$$V_y = V \sin (90^\circ - \gamma) = V \cos \gamma$$

Řešení rychlostí nás bude zajímat v rozsahu otáček $n = /200, 250, 300, 400 \text{ ot/min.}$

Pro další výpočet platí, že poloměr kliky $r = 25\text{mm}.$

Řešení bylo provedeno v rozmezí $\gamma = 0^\circ \div 90^\circ$ po jednom stupni. Pro přehlednost uvědomme do tabulek a grafů pro úhly $\gamma = 45^\circ \div 90^\circ$, hodnoty složek rychlostí v_x, v_y jen po pěti stupních.

a/ $n = 200 \text{ ot/min}$

Těmto otáčkám přísluší $v_I = 0,524 \text{ m/sec}$ a její složky v_{xI} a v_{yI} jsou v tabulce obr./II/3.

	$\gamma = 45^\circ$	$\gamma = 50^\circ$	$\gamma = 55^\circ$	$\gamma = 60^\circ$	$\gamma = 65^\circ$
V_x	m/sec	0,37052	0,40140	0,42923	0,45380
V_y	m/sec	0,37052	0,33683	0,30056	0,26200
V_v	m/sec	∞		0,37800	

	$\gamma = 70^\circ$	$\gamma = 75^\circ$	$\gamma = 80^\circ$	$\gamma = 85^\circ$	$\gamma = 90^\circ$
V_x	m/sec	0,49240	0,50615	0,51604	0,52200
V_y	m/sec	0,17922	0,13562	0,09099	0,04567
V_v	m/sec		0,17200		0,000

obr./II/3

b/ $n = 250 \text{ ot/min}$

Pro tyto otáčky je rychlosť $v_2/$

$$v_2 = 0,654 \text{ ITI /m/sec/}$$

Hodnoty v_{x2}, v_{y2} uvědomme opět po pěti stupních do tabulky obr./II/4

		$\gamma = 45^\circ$	$\gamma = 50^\circ$	$\gamma = 55^\circ$	$\gamma = 60^\circ$	$\gamma = 65^\circ$
V_{x_2}	m/sec	0,46 293	0,50 151	0,53 628	0,56 698	0,59 336
V_{y_2}	m/sec	0,46 293	0,42 083	0,37 552	0,32 734	0,27 668
V_{v_2}	m/sec	∞			0,97 630	

		$\gamma = 70^\circ$	$\gamma = 75^\circ$	$\gamma = 80^\circ$	$\gamma = 85^\circ$	$\gamma = 90^\circ$
V_{x_2}	m/sec	0,61 521	0,63 239	0,64 711	0,65 219	0,65 417
V_{y_2}	m/sec	0,22 392	0,16 944	0,11 368	0,05 706	0,000
V_{v_2}	m/sec		0,21 550			0,000

obr./II/4c/ n = 300 ot/minPro tyto otáčky je rychlosť v /

$v_3 = 0,78 525 /m/sec/$

Hodnoty složek rychlosťí v_{x_3} a v_{y_3} jsou v tabulce
obr./II/5

		$\gamma = 45^\circ$	$\gamma = 50^\circ$	$\gamma = 55^\circ$	$\gamma = 60^\circ$	$\gamma = 65^\circ$
V_{x_3}	m/sec	0,74 046	0,80 217	0,85 779	0,90 668	0,94 906
V_{y_3}	m/sec	0,74 046	0,67 311	0,60 063	0,85 219	0,44 255
V_{v_3}	m/sec	∞			1,22 900	

		$\gamma = 70^\circ$	$\gamma = 75^\circ$	$\gamma = 80^\circ$	$\gamma = 85^\circ$	$\gamma = 90^\circ$
V_{y_3}	m/sec	0,22 392	0,16 944	0,11 368	0,05 706	0,000
V_{x_3}	m/sec	0,73 789	0,75 850	0,77 332	0,78 226	0,78 525
V_{v_3}	m/sec		0,21 550			0,000

obr./II/5

$$\underline{\underline{d/n = 400 \text{ ot/min}}}$$

K těmto otáčkám přísluší rychlosť v_4

$$\underline{\underline{v_4 = 1,04717 \text{ m/sec}}}$$

Složky rychlosti v_{x4} a v_{y4} jsou v tabulce obr./II/6.

	$\gamma = 45^\circ$	$\gamma = 50^\circ$	$\gamma = 55^\circ$	$\gamma = 60^\circ$	$\gamma = 65^\circ$
V_{x4}	m/sec	0,74 046	0,80 217	0,85 779	0,90 668
V_{y4}	m/sec	0,74 046	0,67 311	0,60 063	0,85 219
V_{v4}	m/sec	∞			1,30 750

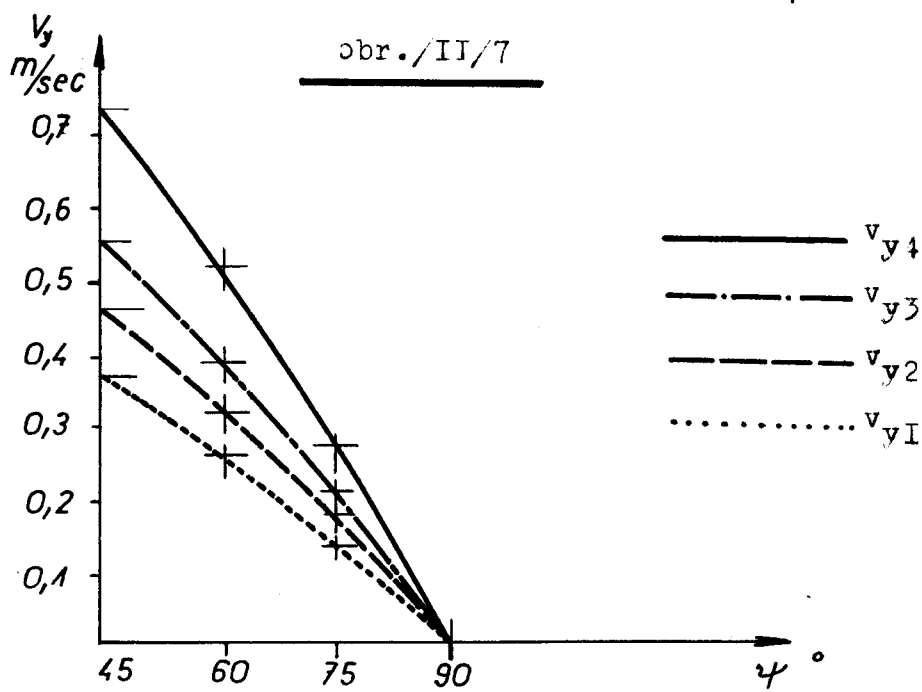
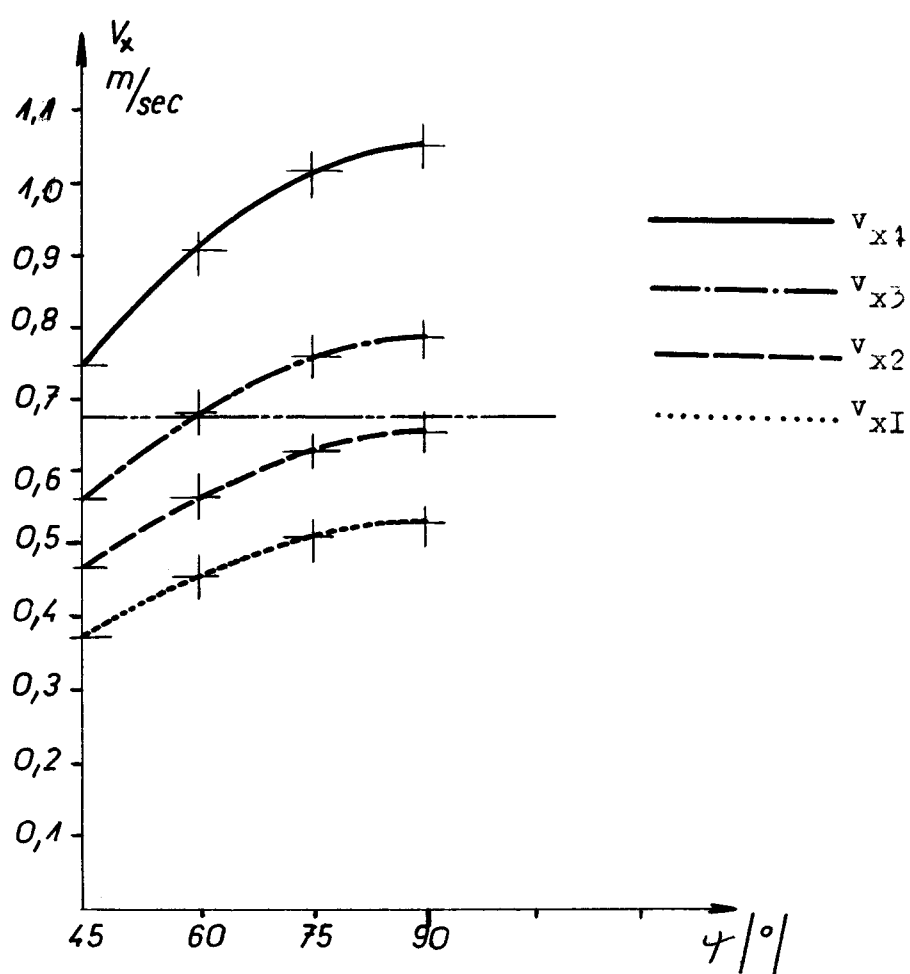
	$\gamma = 70^\circ$	$\gamma = 75^\circ$	$\gamma = 80^\circ$	$\gamma = 85^\circ$	$\gamma = 90^\circ$
V_{x4}	m/sec	0,98 401	1,01 149	1,03 126	1,04 318
V_{y4}	m/sec	0,35 815	0,27 103	0,18 184	0,09 127
V_{v4}	m/sec		0,34 200		0,000

obr./II/6

Nyní si znázorníme průběhy složek rychlostí v_x, v_y do grafů obr./II/7 a obr./II/8, čím získáme přehled o hodnotách těchto rychlostí v závislosti na poloze klyky γ .

Pro složky rychlosti v_x je obr./II/7 a pro složky rychlosti v_y je obr./II/8.

Nyní si všimněme blíže zrychlení. Ke každé složce rychlosti v_x a v_y přísluší složka zrychlení a_x a a_y . Byly zjištovány opět po jednom stupni, ale zde si je uvedeme po pěti stupních. Bylo by totiž neúčelné zde uvádět všechny hodnoty po jednom stupni pola-



obr./II/8

hy kliky.

Jednotlivé složky zrychlení a_x, a_y byly zjištovány následovně.

Změna složky rychlosti v_x / resp. v_y / za určitou časovou jednotku, určuje složku zrychlení a_x , resp. a_y /. Přesněji řešeno, změna složky rychlosti v_x / resp. v_y / během jednoho stupně pohybu kliky za časovou jednotku danou určitými otáčkami určuje velikost složky zrychlení a_x / resp. a_y /. Opět budeme řešit a_x i a_y pro $n = / 200, 250, 300, 400 / \text{ot/min}$.

$$\underline{\underline{a/n = 200 \text{ ot/min}}}$$

Těmto otáčkám přísluší čas potřebný ke změně polohy kliky o jeden stupeň, $\Delta t_I = 0,000833 \text{ sec}$.

Řešení složek a_x, a_y lze obecně psát

$$|\ddot{a}| = \left| \frac{\partial v_x}{\partial t} \right|$$

v limitním případě, kdy $\Delta t \rightarrow 0$ je to derivace rychlosti podle času

$$a = \frac{dv}{dt}$$

Hodnoty složek zrychlení a_{xI}, a_{yI} pro uvedené otáčky jsou uškrnuty do tabulky obr./II/9

	$\gamma = 45^\circ$	$\gamma = 50^\circ$	$\gamma = 55^\circ$	$\gamma = 60^\circ$	$\gamma = 65^\circ$
a_w	m/sec^2	∞		13,60000	

	$\gamma = 70^\circ$	$\gamma = 75^\circ$	$\gamma = 80^\circ$	$\gamma = 85^\circ$	$\gamma = 90^\circ$
a_w	m/sec^2		13,40000		12,67500

		$\gamma = 45^\circ$	$\gamma = 50^\circ$	$\gamma = 55^\circ$	$\gamma = 60^\circ$	$\gamma = 65^\circ$
$a_x 1$	m/sec^2	7,80 838	7,10 180	6,34 730	5,55 689	4,71 856
$a_y 1$	m/sec^2	7,67 665	8,32 335	8,91 018	9,43 712	9,89 221

		$\gamma = 70^\circ$	$\gamma = 75^\circ$	$\gamma = 80^\circ$	$\gamma = 85^\circ$	$\gamma = 90^\circ$
a_{x2}	m/sec^2	3,83 269	2,93 413	2,000	1,04 192	0,09 581
a_{y2}	m/sec^2	10,55 090	10,56 100	10,76 647	10,89 820	10,96 411

obr./II/9b/ n = 250 ot/min

Těmto otáčkám přísluší $\Delta t_2 = 0,000667$ sec. Hodnoty složek zrychlení a_{x2}, a_{y2} shrneme do tabulky obr./II/10

		$\gamma = 45^\circ$	$\gamma = 50^\circ$	$\gamma = 55^\circ$	$\gamma = 60^\circ$	$\gamma = 65^\circ$
a_{x2}	m/sec^2	12,21 889	11,10 945	9,92 504	8,69 565	7,39 130
a_{y2}	m/sec^2	12,00 889	13,01 341	13,94 303	14,76 762	15,43 226
a_{v2}	m/sec^2	∞			24,27 500	

		$\gamma = 70^\circ$	$\gamma = 75^\circ$	$\gamma = 80^\circ$	$\gamma = 85^\circ$	$\gamma = 90^\circ$
a_{x2}	m/sec^2	5,85 120	4,58 771	2,77 166	1,63 418	0,00
a_{y2}	m/sec^2	16,05 697	16,50 674	16,85 157	17,04 647	17,12 143
a_{v2}	m/sec^2		20,91 500			19,65 000

obr./II/10c/ n = 300 ot/min

Těmto otáčkám přísluší $\Delta t_3 = 0,0005556$ sec. Složky zrychlení a_{x3}, a_{y3} shrneme do tabulky obr./II/11.

		$\gamma = 45^\circ$	$\gamma = 50^\circ$	$\gamma = 55^\circ$	$\gamma = 60^\circ$	$\gamma = 65^\circ$
a_{x_3}	m/sec^2	17,60259	16,00072	14,50684	12,52699	10,63715
a_{y_3}	m/sec^2	17,27862	18,75449	20,08639	21,25629	22,26421
a_{v_3}	m/sec^2	∞			30,74900	

		$\gamma = 70^\circ$	$\gamma = 75^\circ$	$\gamma = 80^\circ$	$\gamma = 85^\circ$	$\gamma = 90^\circ$
a_{x_3}	m/sec^2	8,63931	6,60547	4,49964	2,35781	0
a_{y_3}	m/sec^2	23,11015	23,77609	24,24406	24,55003	24,65802
a_{v_3}	m/sec^2		30,19000			28,55000

obr./II/II

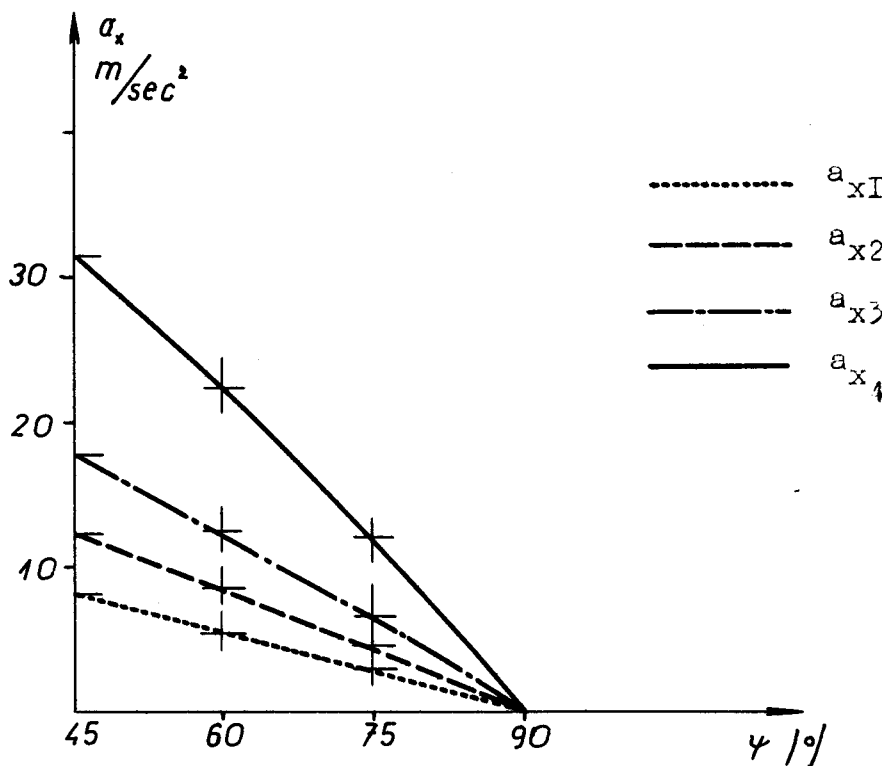
d/ n = 400 ot/min

Tento otáčkám přísluší $\Delta t_1 = 0,00004167$ sec.

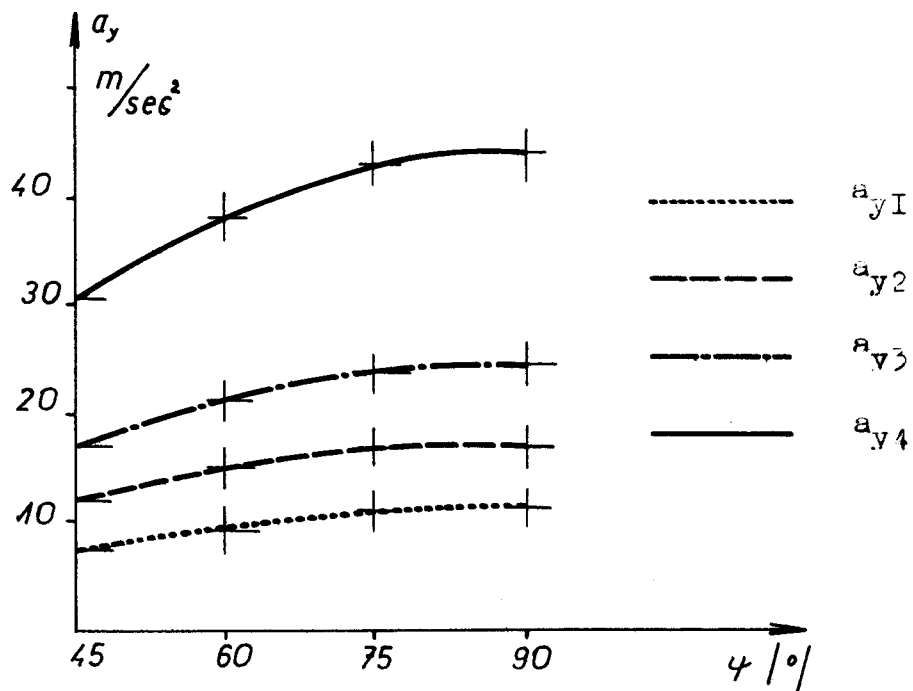
Složky zrychlení shrneme do tabulky obr./II/I2

		$\gamma = 45^\circ$	$\gamma = 50^\circ$	$\gamma = 55^\circ$	$\gamma = 60^\circ$	$\gamma = 65^\circ$
a_{x_4}	m/sec^2	34,26949	28,46172	25,46196	22,27022	18,91049
a_{y_4}	m/sec^2	30,74154	33,35737	35,73314	37,79697	39,59683
a_{v_4}	m/sec^2	∞			54,50000	

		$\gamma = 70^\circ$	$\gamma = 75^\circ$	$\gamma = 80^\circ$	$\gamma = 85^\circ$	$\gamma = 90^\circ$
a_{x_4}	m/sec^2	15,33477	11,73506	7,99136	4,19966	0,38397
a_{y_4}	m/sec^2	41,08471	42,26061	43,12456	43,65250	43,84449
a_{v_4}	m/sec^2		54,36100			50,60000



obr./II/ I3



obr./II/ I4

Pro přehled výsledků složek zrychlení a_x, a_y daného rozsahu otáček si provedeme jejich znázornění v grafu obr./II/ 13, obr./II/ 14.

Všimněme si blíže grafu obr./II/7, kde je znázorněn průběh složky rychlosti v_x na úhlu počítání kliky ψ . Do grafu jsme zakreslili ještě ještě křivku/přesněji přímku/, která reprezentuje rychlosť transportního pásu. Jak víme, je stonak unášen transportním pásem, a je proto nutné, aby rychlosť transportního pásu a složka rychlosti v_x byly shodné. Nebude-li tomu tak, nastane vytahování stonku z vibračních nožů. Stonek se proti tomuto vytahování svým třením brání/ o hrany vibračních nožů/ a je dán úhlem opásání stonku vůči hranám, a součinitelem tření mezi stonkem a hranami nožů. Tím vzniká napětí, a hrozí nabezpečí, že tato vzniklé přídavné napětí může narušit pevnost vláken. Nezáleží, je-li rychlosť transportního pásu vůči rychlosći vibračních nožů menší či je poměr rychlosťí naopak. Zásadně zde totiž platí, pro vytahování stonku z vibračních nožů, jejich relativní rychlosť. V prvním případě předbýhá-li transportní rychlosť pásu složku rychlosťi vibračních nožů, vytahuje vláknos transportní pás. Jsou-li rychlosťi v opačném poměru, vytahují stonek vibrační nože.

Z obr./II/7 lze tedy vyčísti-
pro otáčky $n = 200 \text{ ot/min}$ a $n = 250 \text{ ot/min}$,
/resp. jím odpovídající rychlosť/ je menší po celý

úsek lámání, než rychlosť transportního pásu a musí tedy nastat vytahování stonku transportním pásem.

Pro rychlosť v_{x_3} , jež přísluší otáčkám $n=300$ ot/min platí, že do potencií kliky $\gamma=60^\circ$ tj. počátek lámání, je složka rychlosťi vibračních nožů menší, než rychlosť transportního pásu. Nastane tedy i zde vytahování stonku transportním pásem. Přibližně při $\gamma=60^\circ$ začne složka rychlosťi v_{x_3} být větší než je rychlosť transportního pásu. Jelikož doba po níž je složka rychlosťi v_{x_3} větší od $\gamma=60^\circ \div 120^\circ$ nastává v prvním okamžiku uvolnění stonku a později, kdy stonk je již opět napnut, nastává vytahování stonku vibračními noži.

Při $\gamma=120^\circ$ začne složka v_{x_3} klesat pod velikost rychlosťi transportního pásu.

Tato změna, natahování, resp. vytahování a uvolňování stonku může mít za následek porušení vláken.

V statí III si vypočítáme, jaká napětí vznikají při lámání a ukážeme si jsou-li tato napětí bezpečná vzhledem k pevnosti stonku.

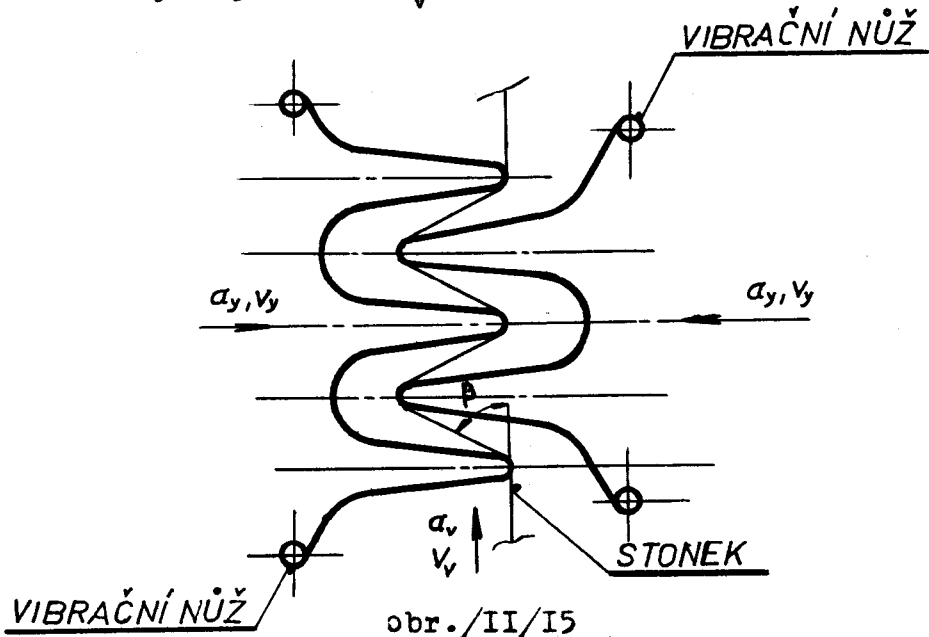
Pro složku rychlosťi v_{x_4} , již přísluší otáčky $n = 400$ ot/min, platí, že je po celou dobu lámání stonku/po celou dobu styku stonku s vibračními noži /větší, než je transportní rychlosť. Tuto parametry jsou zcela určitě výhodnější, než zde vzniká tah mezi $\gamma=45^\circ \div 90^\circ$ s t á l ý. Po poloze $\gamma=90^\circ$ nastává opět stálé uvolňování.

Lze tedy shrnout

Nejvhodnější rychlosti, při nichž je stonk lámán jsou, jsou-li při $\gamma = 45^\circ$ větší než rychlos transportního pásu. Pak nastává vytahování stonku plynule až do polohy $\gamma = 90^\circ$ a za touto polohou nastane plynulé uvolňování.

Hodnoty zrychlení, které jsme uvedli budou podkladem pro řešení namáhání stonku. Tento výpočet bude proveden /jak jsme již v úvodu naznačili/ ve staci III.

Ovšem dříve než přikročíme k vlastnímu řešení staci III, všimněme si složek rychlosti a složek zrychlení do směru pohybu stonku po hranách vibračních nožů. Do této chvíle jsme sledovali složky rychlosti a zrychlení do směrů x a y, charakteristické pro vibrační nože, ale blíže jsme neřešili směry v nichž bude mít vlákno své složky rychlosti v_v a složky zrychlení a_v . Podle obr. /II/I5 vidíme, že

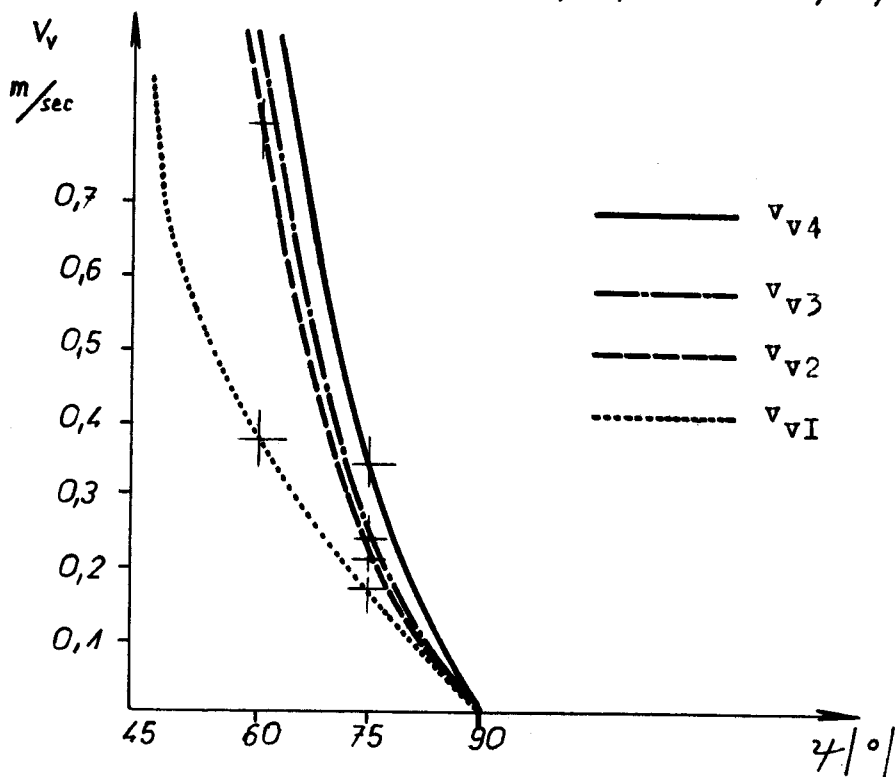


vibrační nože se ve směru y přibližují k sobě se složkami rychlosti v_y , se složkami zrychlení a_y a vlivem hran vibračních nožů vytváří tyto složky do směru pohybu vlákna složky rychlostí v_v a složky zrychlení a_v , které jsou dány těmito vztahy

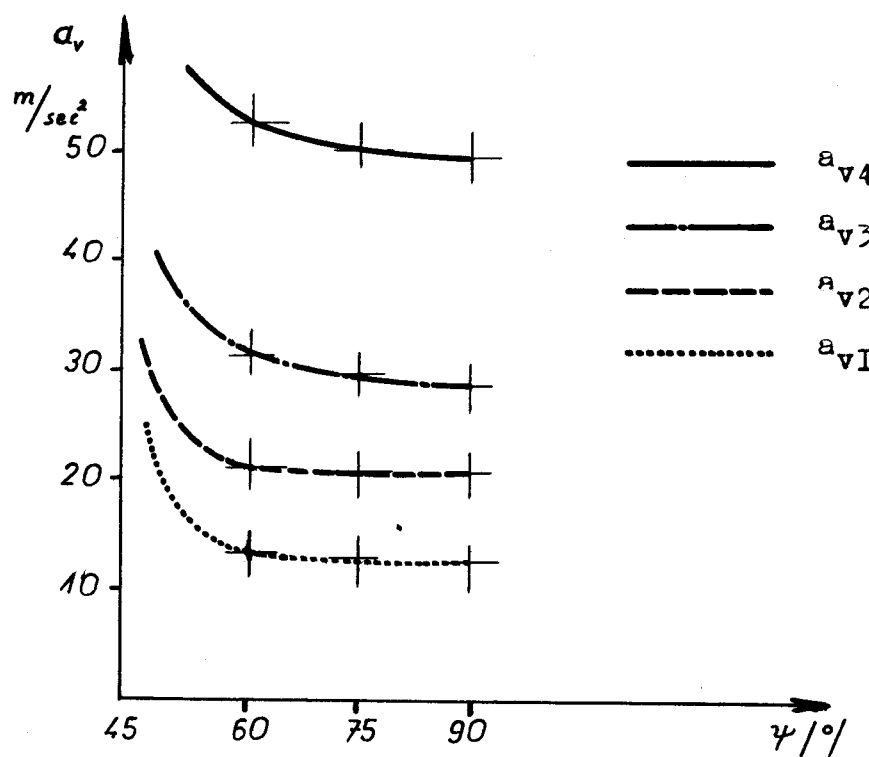
$$v_v = \frac{v_y}{\sin \beta} \quad a_v = \frac{a_y}{\sin \beta} \quad |m/sec^2|$$

kde $\sin \beta$ /resp. úhel β / se mění od nuly, odpovídá poloha kliky $\gamma = 45^\circ$, do $\beta = 60^\circ$, odpovídá poloha kliky $\gamma = 90^\circ$.

Složky rychlostí v_v a složky zrychlení a_v si vyšetříme pro polohy kliky $\gamma = 45^\circ$, $\gamma = 60^\circ$, $\gamma = 75^\circ$ a $\gamma = 90^\circ$. Vypočtené hodnoty jsou uvedeny v tabulkách obr./II/3, 4, 5, 6, 9, I0, II, I2, a jejich znázornění provedeme v grafech obr./II/I6 a obr./II/I7.



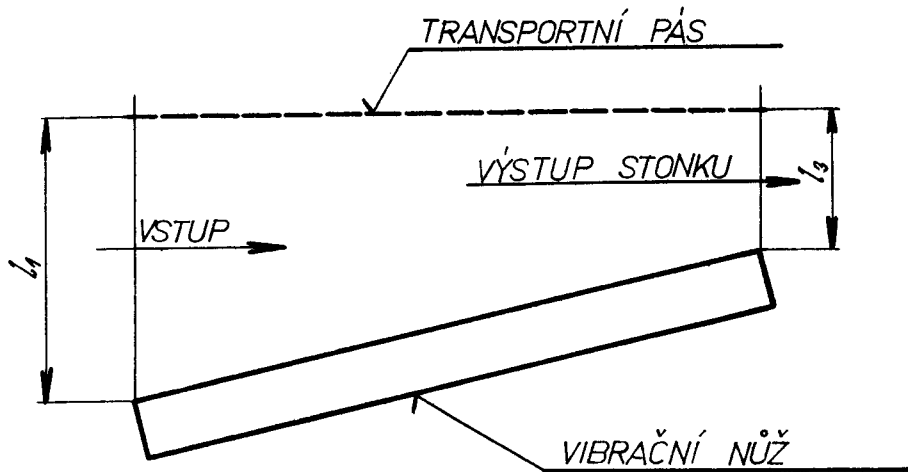
obr./II/I6



obr. II/I7

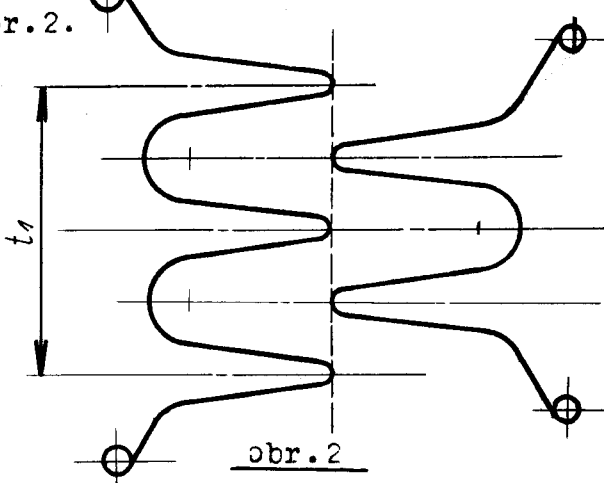
III. SILOVÉ POMĚRY PŘI PRŮCHODU MATERIAŁUVIBRAČNÍMI NOŽIZákladní pojmy

V této statí provedeme analýzu principu lámání za současného potěrání stonku lnu. Lámání stonku za současného potěrání je jev žádoucí, přestože zde není možné dosáhnout tak vysokého stupně potěrání jako u zvlášt k tomu konstruovaných turbín, - tzv. potěracích turbín, jež jsou zařazeny za vibrační zařízení, což vše s ostatníma agregátama tvoří kompletní linku. Vlastní problém řešení se rozpadá na dvě hlavní části - na dvě oblasti viz obr. I.

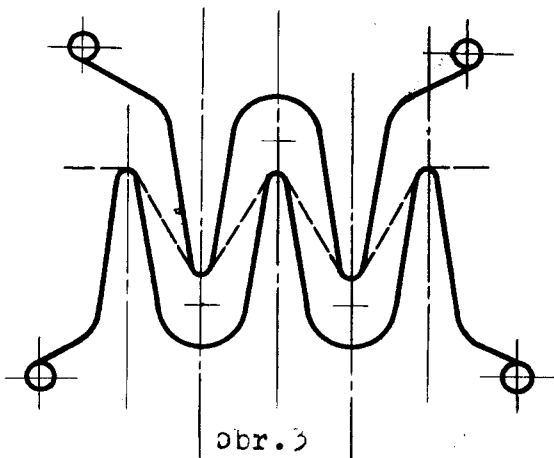
obr. I.

První oblastí je myšlen vstup lnového stonku do vibračních nožů a druhou oblastí je myšlen výstup lnového stonku z vibračních nožů. Tato dvě oblasti je je nutno uvažovat z následujících důvodů. Stónek je uchycen a veden vibračním zařízením transportním pásem. Během své dráhy vibračním zařízením je

stonek lámán a potěrán/pro případ dle obr. I/ od spodní části stonku směrem k uchycení stonku v dopravním/transportním/ zařízení. To znamená, že se line neárně, podle sklonu vibračních nožů změní délka stonku pod vlastními vibračními noži. Tato délka je hlavním ukazatelem, který ovlivňuje namáhání stonku. Tato délka je totiž reprezentována svou vahou na níž působí složka zrychlení od vibračních nožů. Stonek je tedy namáhan svou vlastní vahou a dynamickou silou příslušnou složce zrychlení v tom okamžiku počítání vibračních nožů. Kromě těchto dvou ukazatelů/vlastní váhy a dynamická síla/ jsou zde ještě tyto další ukazateli: úhel počítání kliky, úhel opásání stonku vůči hranám vibračních nožů, rozteč hran vibračních nožů a součinitel tření. Úhel počítání kliky, úhel opásání stonku vůči hranám vibračních nožů lze zahrnout pod pojmem intersekce, což znamená přesah hran vibračních nožů. Tedy nulová intersekce je okamžik, kdy se hrany vibračních nožů dotýkají myšlené roviny proložené vertikálně mezi hrany vibračních nožů viz obr. 2.



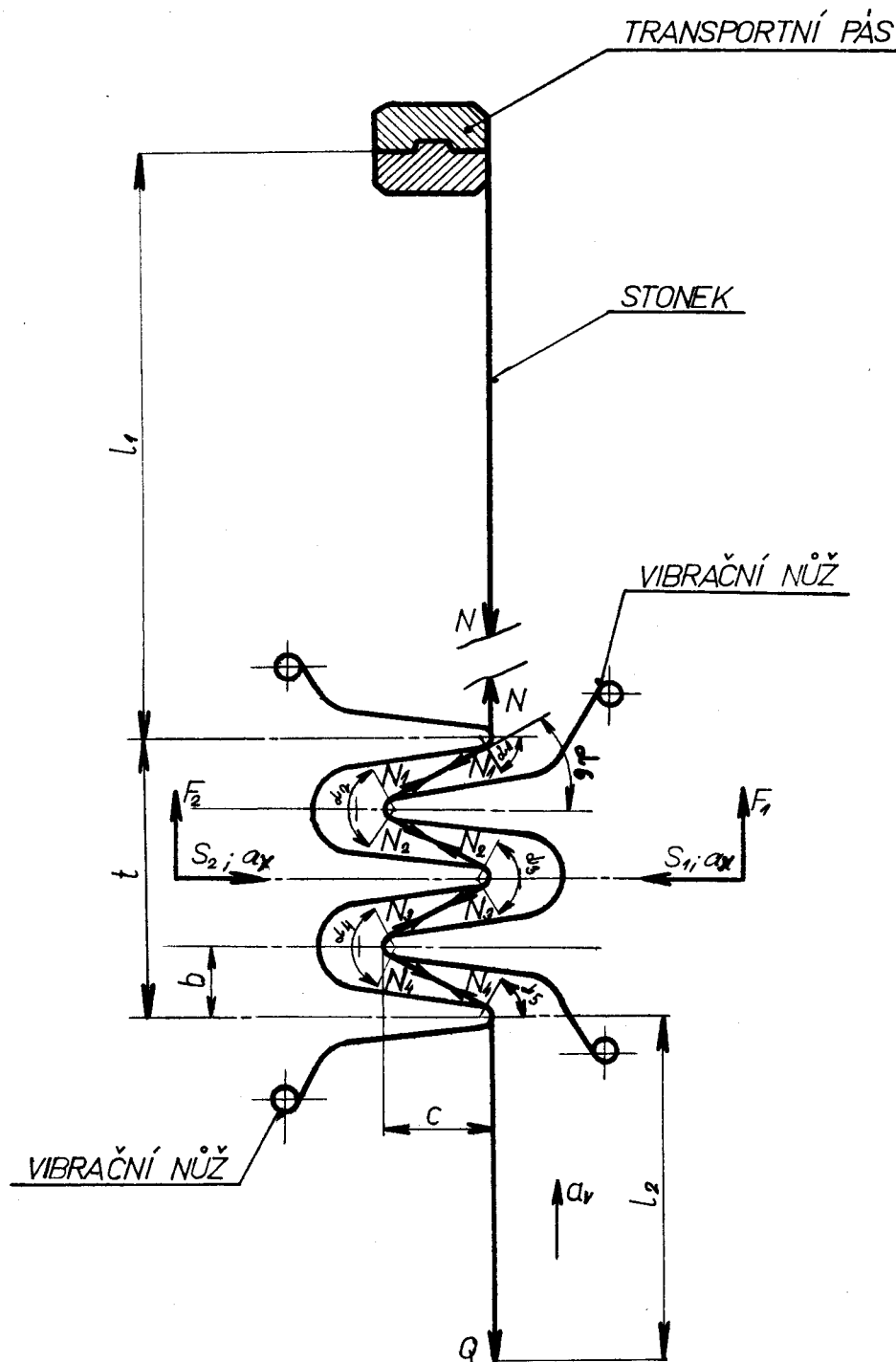
Pojmem maximální intersekce tedy rozumíme maximální přesah hran vibračních nožů, viz obr. 3.



V dalším se věnujeme obr. 2 a obr. 3. Na obr. 2 je zachycen okamžik, kdy dva protilehlé nože se právě dotýkají svými hranami stonku tnu/nulová interseka/. Tento poloze vibračních nožů odpovídá pootočení kliky $\psi=45^\circ$. Délka stonku mezi nejhořejší hranou a nejspodnější hranou vibračních nožů je $t_1=40$ mm. V následujícím obr. 3 kde je znázorněna maximální interseka/této poloze odpovídá $\psi=90^\circ$ /je mezi nejhořejší a nejspodnější hranou délka stonku $t_2=72$ mm /změřeno/. Tedy o celých $t=t_2-t_1=32$ mm více, než při minimální intersekcí/obr. 2/. Z tohoto zjištění vyplývají tyto závěry. Podle údajů, které byly k dispozici v VÚLV Šumperk nelze mluvit o prodloužení stonku a tedy tato délka stonku $t=32$ mm se musí dostat z pod vibračních nožů mezi hrany vibračních nožů v t a ž e n í m. Z oblasti nad vibračními noži nemá stonek možnost pohybu neb je fixován dopravním pásem, což znamená, že ze shora nelze stonek vtá-

hnout do vibračních nožů. Toto vtahování stonku mezi hrany vibračních nožů, jeho tření o hrany, představuje to, čemu říkáme potěrání. Kromě potěrání ve směru délky stonku, ve směru vtahování stonku mezi hrany, přistupuje ještě tření stonku o hrany kolmo na délku stonku, lze mluvit o jakémsi rozmlňování něco podobného, jako kdybychom vzali do ruky stonk a třeli ho mezi prsty. Toto rozmlňování je způsobeno uchycením vibračních nožů na pružných elementech, pružinách. Křivočarým rovinným pohybem je dán vynucené kmitání nožů, buzené odstředivou silou příslušející hmotě vibračních nožů. K těmto budícím odstředivým silám je nutno ještě připojit budící síly vzniklé lámáním stonku. Tyto budící síly, konstanty pružin, nestejné hmoty dvou proti sobě navzájem pracujících vibračních nožů, jeden nůž má totiž tři hrany a druhý nůž má dvě hrany, způsobují, že mají nestejné vynucené kmitání, resp. nestejnou výchylku. Proto mezi nimi vzniká vzájemný obecný pohyb. Vlastní kmitání vibračních nožů, jejich řešení, je provedeno na str. 4.

K tomu, abychom zjistili velikosti namáhání stonku provedeme rozklad sil dle obr. 4



obr. 4

Schema namáhání stonku vibračními noži

Rozklad silI/ bez uvažování zrychlení

$$N_4 = Q \cdot e^{f d_5} \quad N_3 = N_2 \cdot e^{f d_4}$$

/I/

$$N_2 = N_4 \cdot e^{f d_4} \quad N_1 = N_2 \cdot e^{f d_3} \quad [g]$$

$$N = N_1 \cdot e^{f d_2}$$

dosadíme-li, pak

$$/2/ \quad N = Q \cdot e^{f (d_1 + d_2 + d_3 + d_4 + d_5)}$$

do směru S_1, S_2 bude

$$/3/ \quad S_1 = (N_1 + N_2 + N_3 + N_4) \cdot \cos \alpha \quad [g]$$

$$S_2 = (N_1 + N_2 + N_3 + N_4) \cdot \cos \alpha \quad [g]$$

2/ uvažujeme zrychlení

Průběhy zrychlení nožů/a/ a jeho složku/a_v/ do směru pohybu vlákna po hranách vibračních nožů viz stat. II., str. I9, obr. 9, I0, II, I2, I3, I4.

K statické váze stonku Θ je nutné podle charakteru grafu znázorňující složku zrychlení/a_v/ připojit dynamickou sílu/D=m.a_v/ . Neoprávněně vzniká dojem, že lze tuto dynamickou sílu zanedbat pro velmi nepatrnu dimensi m. Z grafu je také zřejmé že zrychlení ve směru pohybu stonku v okamžiku styku nožů, je teoreticky nekonečně velké. Úhel opásání stonku vůči hranám vibračních nožů v okamžiku styku nožů obr. 2 je $\alpha=0$ a tedy $e^{f\alpha}=1/e^0=1$

a z původní rovnice /3/ zbuduje

$$N = Q + ma_y$$

dosaďme-li za $a_y = \infty$ bude teoreticky nekonečně velká což by mělo za následek porušení vláken, destrukci stonku. Ovšem vlastní neklidný pohyb stonku, jehož je způsoben vířením vzduchu oč vibračních nožů, chvěním celého aggregátu poddajnosti transportního pásu běžícího ne po dokonale hladkém, rovném, podkladě a mnoho dalších vlivů má za následek, že tento extrémní případ v praxi nenastane. Při vlastním řešení tohoto problému se setkáváme se třemi protichůdnými parametry s rostoucím úhlem počítání kliky γ klesá zrychlení až k nule, roste úhel opásání α a stoupá úhel β . Rovnice řešící namáhání stonku s ohledem na složku zrychlení a_y jsou tvto:

$$\begin{aligned} /4/ \quad N_4 &= (Q + ma_y) \cdot e^{f d_5} & N_2 &= N_3 \cdot e^{f d_3} \\ N_3 &= N_4 \cdot e^{f d_4} & N_1 &= N_2 \cdot e^{f d_2} \\ N &= N_1 \cdot e^{f d_1} \quad \text{kde } a_y = \frac{a}{\sin \beta} & \beta &= 90^\circ - d_6 \end{aligned}$$

dosažením dostaneme

$$/5/ \quad N = (Q + ma_y) \cdot e^{f(d_5 + d_4 + d_3 + d_2 + d_1)}$$

složky do směru S_1, S_2 budou

$$/6/ \quad S_1 = (N_1 + N_2 + N_3 + N_4) \cos d_5$$

$$S_2 = (N_1 + N_2 + N_3 + N_4) \cos d_6$$

a příslušná napětí $\sigma_1 = \sigma_3 = \frac{4N_1}{\pi d^2}$ / od sil $N_1 = N_3$ jsou

$$\sigma_1 = \frac{4N_1}{\pi d^2}$$

$$\sigma_3 = \frac{4N_3}{\pi d^2}$$

/7/

$$\sigma_2 = \frac{4N_2}{\pi d^2}$$

$$\sigma_4 = \frac{4N_4}{\pi d^2}$$

Než přikročíme k vlastnímu výpočtu, uvedeme si dále užívané hodnoty:

$e = 2,718$... základ přirozených logaritmů

$r = 0,33 g/cm^3$... měrná váha stonku/dřevina + vlákno

$f = 0,15$ soudceinitel smykového tření mezi stonkem a hrahou vibračního nože

β úhel mezi stonkem a vertikální osou

$d_1 \div d_5$ úhly opásání stonku/úhlv byly odměřeny a jsou shodné jak pro oblast vstupu, tak i pro oblast výstupu stonku z vibračních nožů

přísluší

pro $\gamma = 45^\circ$ jsou úhly $d_1 = d_2 = d_3 = d_4 = d_5 = 0$

$$\beta = 0$$

pro $\gamma = 46^\circ$ jsou úhly $d_1 = d_2 = d_3 = d_4 = d_5 = 0$

$$/8/ \quad \beta_1 = 9^\circ, \quad d_6 = 89^\circ$$

pro $\gamma = 60^\circ$ jsou úhly $d_1 = 54^\circ, \quad d_3 = 105^\circ, \quad d_5 = 54^\circ$

$$d_2 = 108^\circ, \quad d_4 = 108^\circ, \quad \beta = 44^\circ$$

pro $\gamma = 75^\circ$ jsou úhly $d_1 = 54^\circ, \quad d_3 = 108^\circ, \quad d_5 = 54^\circ$

$$d_2 = 108^\circ, \quad d_4 = 108^\circ, \quad \beta = 52^\circ$$

pro $\gamma = 90^\circ$ jsou úhly $d_1 = 62^\circ [9,082], \quad d_3 = 9,24^\circ [2,165], \quad d_5 = 62^\circ$

$$d_2 = 124^\circ [2,165], \quad d_4 = 124^\circ [2,165], \quad \beta = 60^\circ$$

c.... intersekce pro:

$$\psi = 45^\circ \dots \quad c_1 = 0 \text{ mm} \quad d_6 = 90^\circ$$

$$\psi = 60^\circ \dots \quad c_2 = 9 \text{ mm} \quad d_6 = 46^\circ$$

$$\psi = 75^\circ \dots \quad c_3 = 12 \text{ mm} \quad d_6 = 38^\circ$$

$$\psi = 90^\circ \dots \quad c_4 = 15 \text{ mm} \quad d_6 = 30^\circ$$

a.... zrychlení nožů / cm/sec² /

a_v ... složka zrychlení nožů do horizontálního směru

$$/9/ \quad a_v = \frac{a_y}{\sin \beta} \quad [\text{cm/sec}^2]$$

d.... průměr stonku/z literatury VÚVL d=1,5 mm/

Vlastní řešení úlohy se rozpadá na :

vstup stonku do vibračních nožů

výstup stonku z vibračních nožů

a bude řešeno s ohledem na zrychlení, což odpovídá skutečnosti. Zde bude proveden výpočet pro nūž I., viz obr. 5. Řešení je provedeno pro n = 400 ot/min.

A/ VSTUP STONKU DO VIBRAČNÍCH NOŽŮ

I/ pro $\psi = 46^\circ$

a/výpočet velikosti tažné síly N, působící na stonk v úseku mezi transportním pásem a vlastním vibračním ústrojím

dány jsou tyto hodnoty: $l_2 = 180 \text{ mm}$

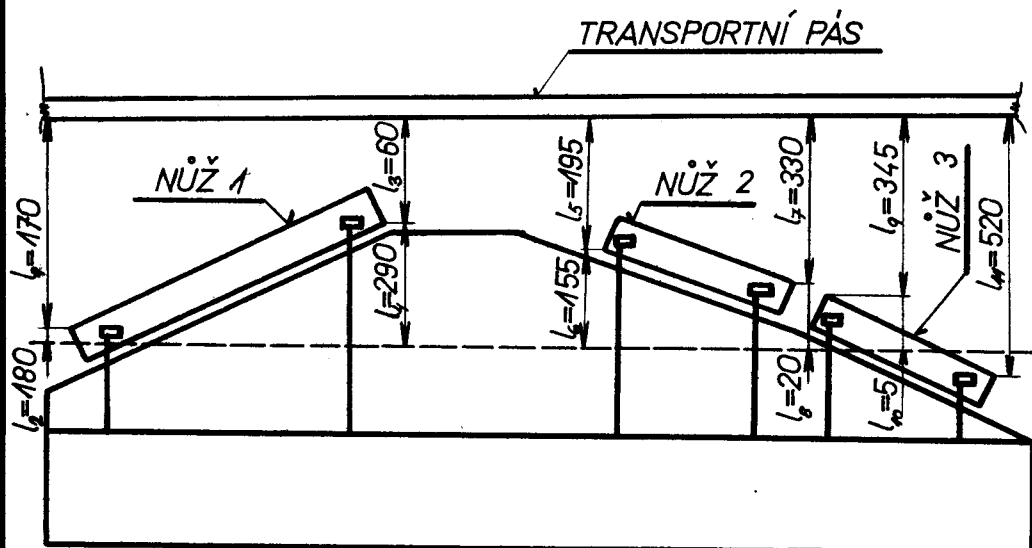
$$d_1 = d_2 = d_3 = d_4 = d_5 = 0 \quad \beta = 1^\circ$$

z toho plynne, že

$$e^{+1/d_1 + d_2 + d_3 + d_4 + d_5} = e^0 = 1$$

a z původní rovnice /5/ máme

$$/10/ \quad N = Q + m a_v$$



Celkové uspořádání vibračních nožů. Čárkovanou čarou je naznačena průměrná hladina konce stonku

obr. 5

$$a_r = \frac{a_x}{\sin \beta} = \frac{30,74 \cdot 2}{0,01745} = 343000 \text{ cm/sec}^2$$

$$Q = \gamma \cdot F \cdot l_2 = 0,33 \cdot \frac{\pi \cdot 0,15^2}{4} = 0,105 \text{ g}$$

$$m = \frac{Q}{g} = \frac{0,105}{981,5} = 0,000107 \text{ g sec}^2/\text{cm}$$

dosaďme do /10/

$$N = 0,105 + 0,000107 \cdot 343000 = 37,905 \text{ g}$$

Kromě této síly N v úseku nad vibračními noži působí na stonku vlastní váha stonku G_I o délce

$$l_I = 170 \text{ mm}$$

$$G_I = \frac{\pi d^2}{4} \cdot \rho \cdot l_I = \frac{\pi \cdot 0,0225}{4} \cdot 0,33 \cdot 17 = 0,0925 \text{ g}$$

tato váha G_I působí ve směru síly N takže výsledná síla N_v je

$$N_v = N + G_I = 37,905 + 0,0925 = 37,9975 \text{ g}$$

$$a_r = 3,43 \cdot 10^5 \text{ cm/sec}^2$$

$$Q = 0,105 \text{ g}$$

$$m = 0,07 \cdot 10^{-4} \text{ g sec}^2/\text{cm}$$

$$N = 37,905 \text{ g}$$

$$G_I = 0,0925 \text{ g}$$

$$N_v = 37,9975 \text{ g}$$

b/výpočet tažných sil N_1 až N_4 , působících na stonk uvnitř vibračních nožů

pro náš případ, kdy $\alpha_1 \div \alpha_5 = 0$ zágeneruje rovnice /4/ na

$$N_4 = Q + m\alpha_r$$

$$N_2 = N_3 = N_4 = N_1$$

$$N_3 = N_4$$

dosadíme-li

$$\underline{N_4 = 0,105 + 37,8 = 37,905 g} = N_1 = N_2 = N_3$$

$$\underline{N_1 = N_2 = N_3 =}$$

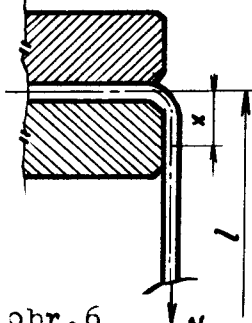
$$\underline{\underline{= N_4 = 37,905 g}}$$

c/napětí stonku v tahu σ_v mezi pásem a vlastním vibračním ústrojím

namáhání stonku vlastní vahou je vyjádřeno integrálem dle obr.6.

$$\sigma_v = \frac{N}{F} + \int p \cdot \frac{F dx}{F} = \frac{N}{F} + p \cdot l = \frac{37,905 \cdot 4}{\pi \cdot 0,105^2} + 0,33 \cdot 17 =$$

$$= 2145,6 g/cm^2 = 21,456 g/mm^2$$



obr.6

$$\underline{\underline{\sigma_v = 21,456 g/mm^2}}$$

K tomu, abychom mohli posoudit zda je toto vypočtené napětí nebezpečné, či je hluboku pod maximální přípustnou hranicí napětí σ_{pt} , je nutné nejdříve

vypočítat maximální napětí σ_{pt}

Dle literatury VÚLV je maximální pevnost, tažná síla až do přetrhnutí stonku $P_{max} = 11000$ g. Z této hodnoty si určíme

$$\text{/II/ } \sigma_{pt} = \frac{P_{max}}{F} = \frac{4.11000}{\pi \cdot 0,105^2} = 623000 g/cm^2 = 6230 g/mm^2$$

$$\underline{\underline{\sigma_{pt} = 6230 g/mm^2}}$$

Porovnáme-li vypočtené napětí ve stonku σ_y s max. přípustným napětím σ_{p_t} , získáme hodnotu jíž říkáme bezpečnost.

/I2/

$$\mu = \frac{\sigma_y}{\sigma_{p_t}}$$

dosaďme-li

$$\mu = \frac{6230}{29456} = \underline{\underline{290}}$$

$$\mu = \underline{\underline{290}}$$

podle velikosti μ je zřejmé, že není nebezpečí destrukce vláken.

d/napětí $\sigma_y \div \sigma_4$ uvnitř vibračních nožů: dosaďme do rovnice /7/

pro náš případ, kdy $N_1=N_2=N_3=N_4$ lze psát

$$\sigma_1 = \sigma_2 = \sigma_3 = \sigma_4 = \frac{4,37,905}{0,005^2 \cdot \pi} = 2140 \text{ g/cm}^2 = \underline{\underline{2140 \text{ g/min}}}$$

$$\begin{aligned} \sigma_1 - \sigma_2 &= \sigma_3 = \\ \sigma_4 &= 2140 \text{ g/min} \end{aligned}$$

a pro tato napětí je bezpečnost

$$\mu = \frac{6230}{214} = \underline{\underline{292}}$$

$$\mu = \underline{\underline{292}}$$

vidíme, že také uvnitř vibračních nožů nehrozí stonku porušení, tím je myšleno přetřžení stonku/.

e/výpočet sil S_1, S_2 jež způsobují namáhání nožů.

dosaďme do rovnice /6/

$$\begin{aligned} S_1 = S_2 &= (N_1 + N_2 + N_3 + N_4) \cdot \cos \alpha_6 = \\ &= 4,37,905 \cdot 0,01745 = \underline{\underline{2,659}} \end{aligned}$$

$$\begin{aligned} S_1 = S_2 &= \\ &= \underline{\underline{2,659}} \end{aligned}$$

podle sdělení ing. Pachovského /VÚLV Šumperk/ lze uvažovat 7 stonků na 10 mm délky nože a to ve 3 vrstvách. Stejnomořnost vrstvy nelze ovšem zatím přesně dodržet. Z uvedených hodnot bude namáhání nože na délce $l=10$ mm

$$/I3/ \quad S_{2cel} = S_{1cel} = n.k. S_1 = n.k. S_2$$

n... počet stonků

k... počet vrstev stonku

dosaďme-li

$$S_{1cel} = S_{1m} = \pi \cdot 3 \cdot 2,65 = 55,75 \text{ g}/10 \text{ mm} = \underline{\underline{55,75 \text{ g}/\text{cm}}}$$

f/rovnováha sil do vertikálního směru

$$\begin{aligned} S_{2cel} &= S_{2m} = \\ &= \underline{\underline{55,75 \text{ g}/\text{cm}}} \end{aligned}$$

$$/I4/ \quad F_1 = (N_1 - N_2 + N_3 - N_4) \cdot \sin \alpha_6$$

$$F_2 = N + (N_1 + N_2 - N_3 + N_4) \sin \alpha_6 - Q - m_a r$$

dosaďme-li

$$\underline{\underline{F_1 = 0_g}}$$

$$\underline{\underline{F_2 = 0_g}}$$

B/ VÝSTUP STONKU Z VIBRAČNÍCH NOŽŮ

$$\underline{\underline{F_1 = 0_g}}$$

$$\underline{\underline{F_2 = 0_g}}$$

$$I/ \text{ pro } \psi = 46^\circ$$

a/výpočet velikosti tažné síly N , působící na stonku
v úseku mezi transportním pásem a vlastním vibračním ústrojím

dány jsou tyto hodnoty

$$l_3 = 60 \text{ mm}, l_4 = 290 \text{ mm}$$

z toho plyne, že

$$e^{f(\alpha_1 \div \alpha_5)} \doteq 1$$

dosaďme do rovnice /5/

$$N = Q + m_a r = 0,33 \cdot \frac{\pi \cdot 0,105^2}{4} \cdot 29 + \frac{6148}{0,01745} \cdot \frac{0,169}{981} =$$

$$= \underline{\underline{60,769 \text{ g}}}$$

$$\underline{\underline{N = 60,769 \text{ g}}}$$

K této síle N opět připočteme vlastní váhu stonku

$$G_1 = \frac{\pi d^2}{4} \cdot l_1 \cdot \rho = 0,33 \cdot \frac{\pi \cdot 0,105^2}{4} \cdot 6 = \underline{\underline{0,0359}}$$

$$\underline{\underline{G_1 = 0,0359}}$$

tedy

$$N_v = N + G_1 = 60,769 + 0,035 = \underline{60,804} \text{ g}$$

$$\underline{N_v = 60,804} \text{ g}$$

b/výpočet tažných sil N_1 až N_4 , působících na ston-
ek uvnitř vibračních nožů

pro náš případ, kdy $\alpha_1 \div \alpha_5 = 0$ zdegeneruje rovnice

/4/ na

$$N_4 = N_3 = N_2 = N_1 = \underline{60,779}$$

$$\begin{aligned} N_4 &= N_3 = N_2 = \\ &= N_1 = \underline{60,779} \end{aligned}$$

c/napětí stonku v tahu σ_y mezi pásem a vlastním vi-
bračním ústrojím

je opět

$$\sigma_y = \frac{N}{F} + f \cdot l_1 = \frac{60,769 \cdot 4}{\pi \cdot 0,105^2} + 0,33 \cdot 6 = \underline{3449,989} \text{ g/cm}^2$$

$$\underline{\sigma_y = 34,42 \text{ g/mm}^2}$$

porovnáme-li vypočtené napětí ve stonku σ_y s max.
přípustným napětím σ_{μ} dostaneme

$$\sigma_{\mu} = \frac{\sigma_y}{\sigma_y} = \frac{6230}{34,42} = \underline{180}$$

$$\underline{\sigma_{\mu} = 180}$$

Z velikosti je zřejmé, že ani při výstupu stonku
z vibračních nožů nenastane destrukce vláken.

d/napětí $\sigma_y \div \sigma_{\mu}$ uvnitř vibračních nožů

dosadíme do /7/

$$\sigma_y = \sigma_1 = \sigma_2 = \sigma_3 = \sigma_4 = \frac{4N}{\pi d^2} = \frac{4 \cdot 60,77}{\pi \cdot 0,105^2} = \underline{3440} \text{ g/cm}^2$$

$$\underline{\sigma_y = \sigma_2 = \sigma_3 =}$$

e/pro tato napětí $\sigma_y \div \sigma_{\mu}$ je bezpečnost

$$\sigma_{\mu} = \frac{6230}{34,4} = \underline{180}$$

$$\underline{\sigma_y = 34,4 \text{ g/mm}^2}$$

narušení vláken ani zde nepřichází v úvahu.

$$\underline{\sigma_{\mu} = 180}$$

e/výpočet sil S_1, S_2 jež způsobují namáhání nožů

$$S_1 = S_2 = 4 \cdot N \cos \alpha_6 = 4 \cdot 60,77 \cdot 0,09745 = \underline{4,269}$$

$$\begin{aligned} S_1 &= S_2 = \\ &= \underline{4,269} \end{aligned}$$

dosaďme do rov./6/

$$S_{\text{rel}} = S_{\text{cel}} = 21 \cdot 4,26 = 89,6 \text{ g/cm}$$

Pro dříve zdůvodněných 7 stonků na délku $l=10 \text{ mm}$
ve 2 vrstvách, je podle /I3/

$$S_{\text{rel}} = S_{\text{cel}} = 7 \cdot 3 \cdot 2,65 = 55,75 \text{ g/10 mm} = 55,75 \text{ g/cm}$$

f/rovnováha sil do vertikálního směru

podle /I4/ je

$$\underline{F_1 = 0} \quad \underline{F_2 = 0}$$

Pro přehled sil N , N_1 až N_4 a napětí σ_1 , σ_2 , σ_3 , σ_4
pro polohy kliky $\gamma = 60^\circ$, $\gamma = 75^\circ$, $\gamma = 90^\circ$ budou
výsledky shrnutý do tabulek obr. 7, obr. 8, a do gra-
fů obr. 9, I0, II, I2,.

Vlastní výpočet hodnot uvedených v tabulkách a
grafech, zde nebudeme uvádět. Řešení je zcela stej-
né, jako právě provedené. Bylo by zde počítáno jen
s jinými hodnotami úhlů α_1 a α_2 , s jinými hodno-
tami úhlů α_3 a α_4 a s jinými délkami stonku pod
a nad vibračními noži.

Vstup do vibračních nožů

		$\gamma = 46^\circ$	$\gamma = 60^\circ$	$\gamma = 75^\circ$	$\gamma = 90^\circ$
N	g	37,905	1,870	1,030	0,290
N_1	g	37,905	1,510	0,860	0,256
N_2	g	37,905	1,260	0,720	0,199
N_3	g	37,905	1,050	0,634	0,154
N_4	g	37,905	0,875	0,547	0,119

POKRAČOVÁNÍ

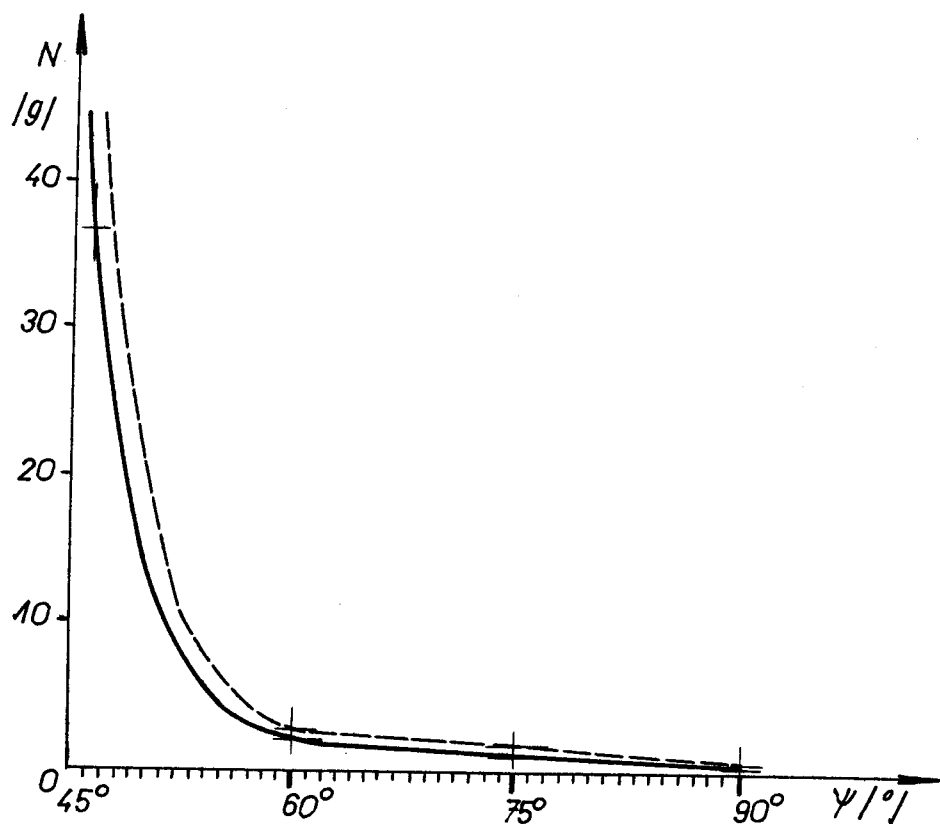
		$\gamma = 46^\circ$	$\gamma = 60^\circ$	$\gamma = 75^\circ$	$\gamma = 90^\circ$
G_r	g/mm^2	24,456	1,120	0,580	0,216
Γ	g/mm^2	24,400	1,060	0,574	0,164
α	1	290	5550	10750	28800
S_{rad}	g/cm	55,750	69,20	35,800	7,200
S_{soft}	g/cm	77,670	87,850	46,150	8,525
F	g	0	0,306	0,078	0,046

obr. 7

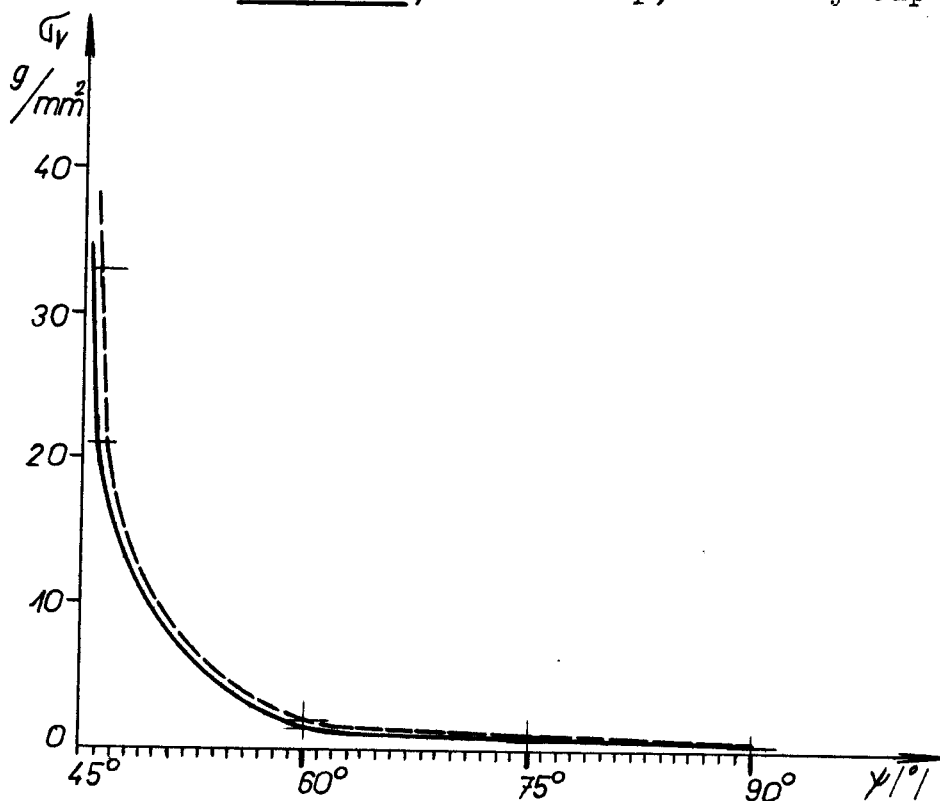
Výstup z vibračních nožů

		$\gamma = 46^\circ$	$\gamma = 60^\circ$	$\gamma = 75^\circ$	$\gamma = 90^\circ$
N	g	60,769	2,760	1,650	0,410
N_1	g	60,769	2,350	1,440	0,315
N_2	g	60,769	1,920	1,200	0,265
N_3	g	60,769	1,550	0,925	0,222
N_4	g	60,769	1,320	0,806	0,192
G_r	g/mm^2	34,420	1,610	0,987	0,284
Γ	g/mm^2	34,032	1,560	0,935	0,232
α	1	186	3880	6320	22000
S_{rad}	g/cm	89,600	106,500	56,500	9,850
S_{soft}	g/cm	77,670	87,850	46,150	8,525
F	g	0	0,446	0,359	0,040

obr. 8



Obr. 9 / — vstup, - - - výstup /



Obr. 10 / — vstup, - - - výstup /

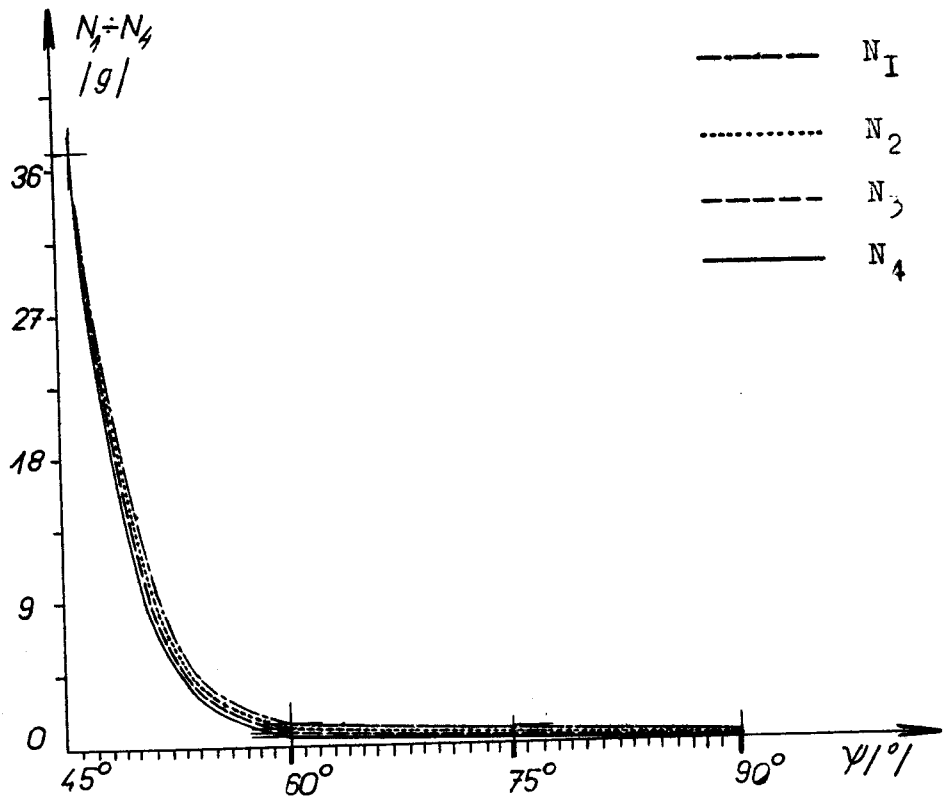
VŠST LIBEREC

Kinematické a dynamické po-
souzení lámacího a stíracího
ústrojí pro přípravu stonku
k získání délkohého vlákna

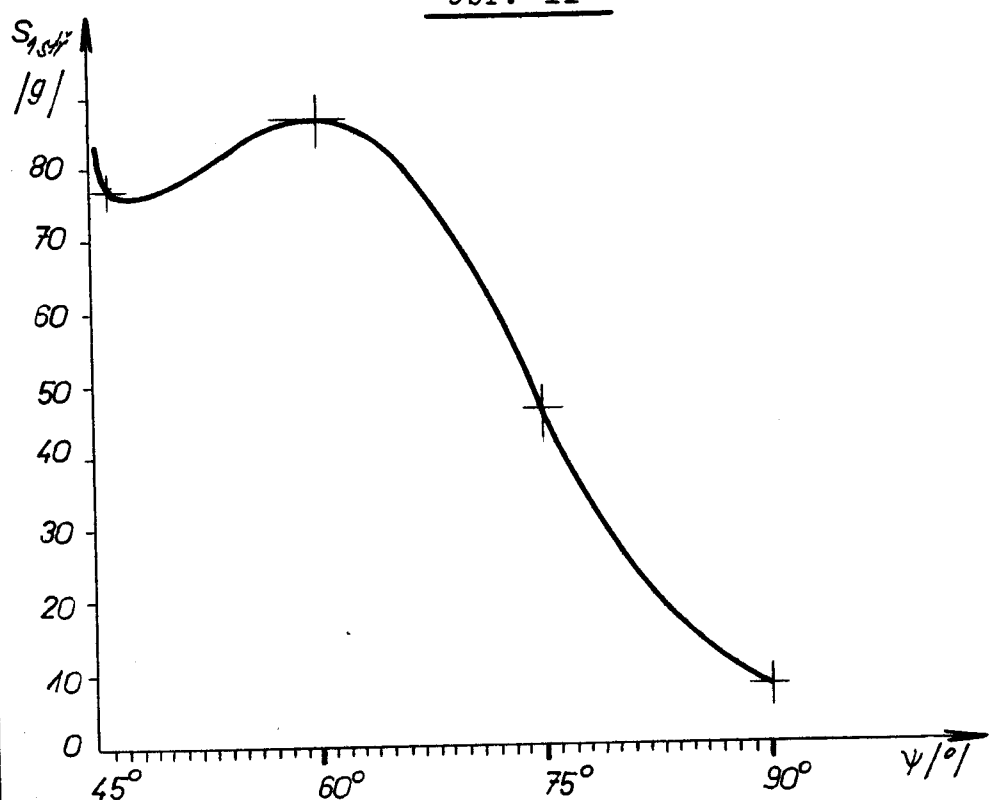
DP — STR. 45

9. ŘÍJNA 1965

František Bassmann



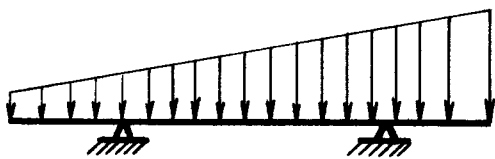
obr. II



obr. I2

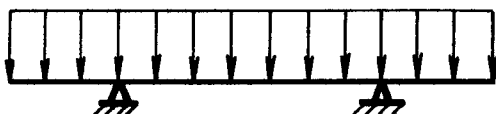
Po další výpočet si znázorníme nejprve spojité zatížení od $S_{y,el}$ při vstupu stonku do vibračních nožů až po výstup, obr.I3, obr.I4.

Z obr.I3 vidíme, že spojité zatížení není rovnoměrné, ale naopak jeho průběh stoupá od nejnižší hodnoty, to jest od vstupu stonku do vibračních nožů, k nejvyšší hod-



obr.I3

dnotě, to jest k výstupu stonku z vibračních nožů. Jelikož však nelze zajistit ve VÚLV Šumperk mají zájem na konstrukci zařízení, které by toto odstranilo, rovnoměrnou rövinu stonkù/tím je rozuměno vrstvu stonkù/, a vzhledem k tomu, že len nebude vždy dodáván do zařízení o stejné délce, ale naopak len bude zpracováván v širokém rozmezí délek, nebudeme uvažovat pro další výpočet/namáhání nožů/ takovéto rozložení spojitého zatížení. Pro další výpočet vezmeme střední hodnoty $S_{y,el}$ rovnoměrně rozložené po celé délce nože, obr.I4,. Toto napětí budeme dále označovat S_{ystr} .



obr.I4

kde

/I5/

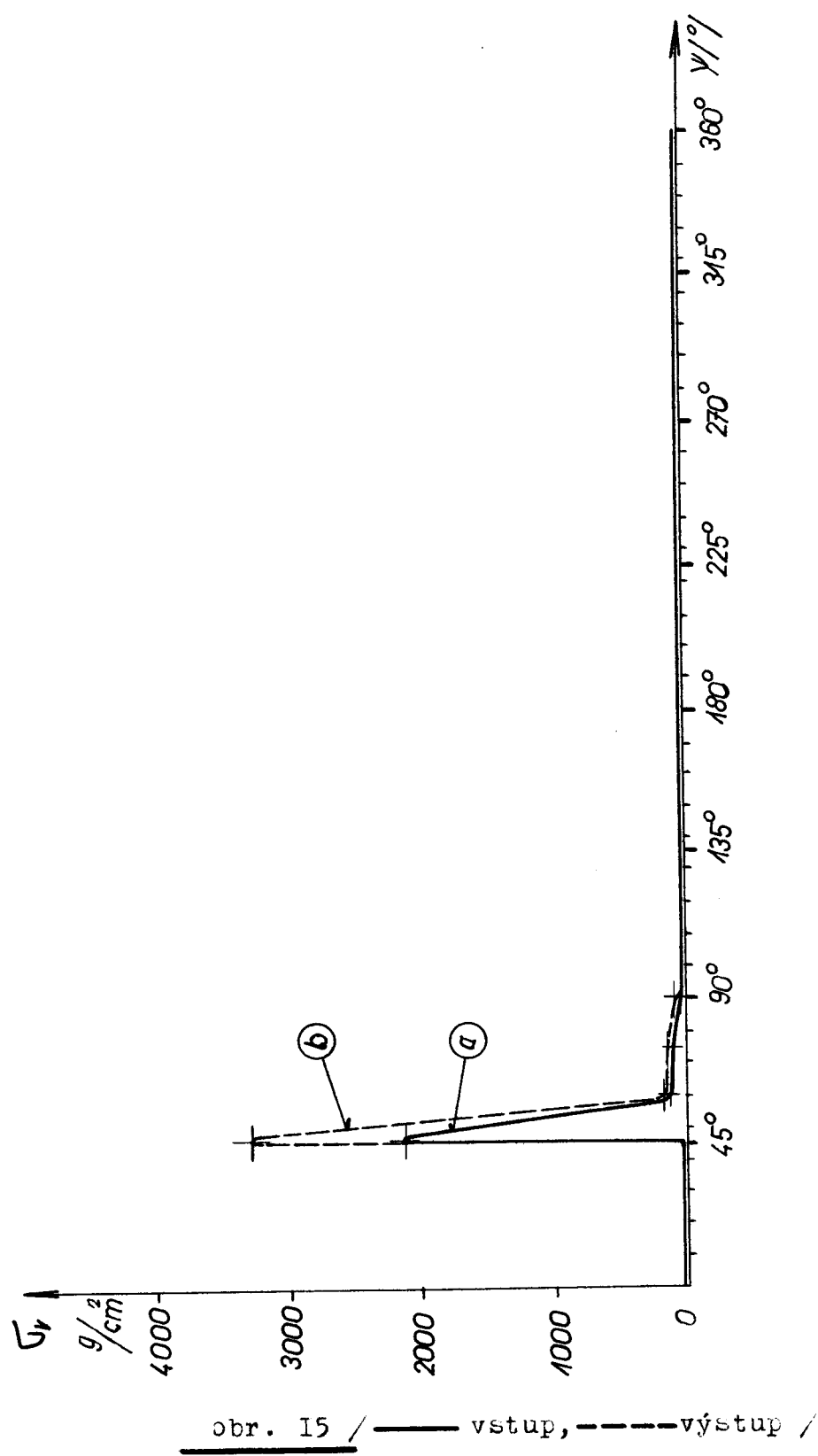
$$S_{1, \text{stř}} = \frac{S_{1, \text{cel}} + S_{2, \text{cel}}}{2} = \frac{S_{1, \text{nk}} + S_{2, \text{nk}}}{2}$$

a dosadíme-li

$$S_{\text{stř}} = \frac{89,6 + 55,75}{2} = 72,675 \text{ g/cm}$$

$$\underline{\underline{S_{1, \text{stř}}}} = \\ = 72,675 \text{ g/cm}$$

K celkovému posouzení namáhání stonku během své dráhy vibračními noži I, nám slouží graf obr. I5. Na vodorovnou osu nanášíme stupně pootočení kliky γ od 0° do 360° . Na svislou osu nanášíme V_y , t.j. maximální napětí, kterým je stonek během své dráhy namáhán. V grafu křivka /a/ představuje namáhání stonku při vstupu a křivka /b/ představuje namáhání při výstupu stonku z vibračních nožů. Z grafu je zřejmé, že stonek je namáhán pulsačním napětím. Jeho špička to jest maximální napětí, je mezi úhly pootočení kliky $\gamma = 45^\circ$ až $\gamma = 46^\circ$. Pak opět klesá na původní tahové napětí, které se nemění. Toto konstantní, nemenné napětí je rovno podílu váhy stonku/váha stonku dlouhého od uchycení transportním pásem až po konec stonku/ jeho průřezem. Z křivek /a/ a /b/ lze vyčíst, že pulsační napětí mění ještě svou velikost podle toho, jak se stonek pohybuje vibračními noži. To znamená, že stonek dostává během své dráhy proměnlivé pulsační napětí, podle toho v které partii nožů je stonek zpracováván. Pro představu tohoto děje je obr. I6, kde horizontální a vertikální osa zůstává stejná jako na obr. I5 k nimž přidáme třetí osu na niž nanášíme délku nože l. Tyto pulzy napětí



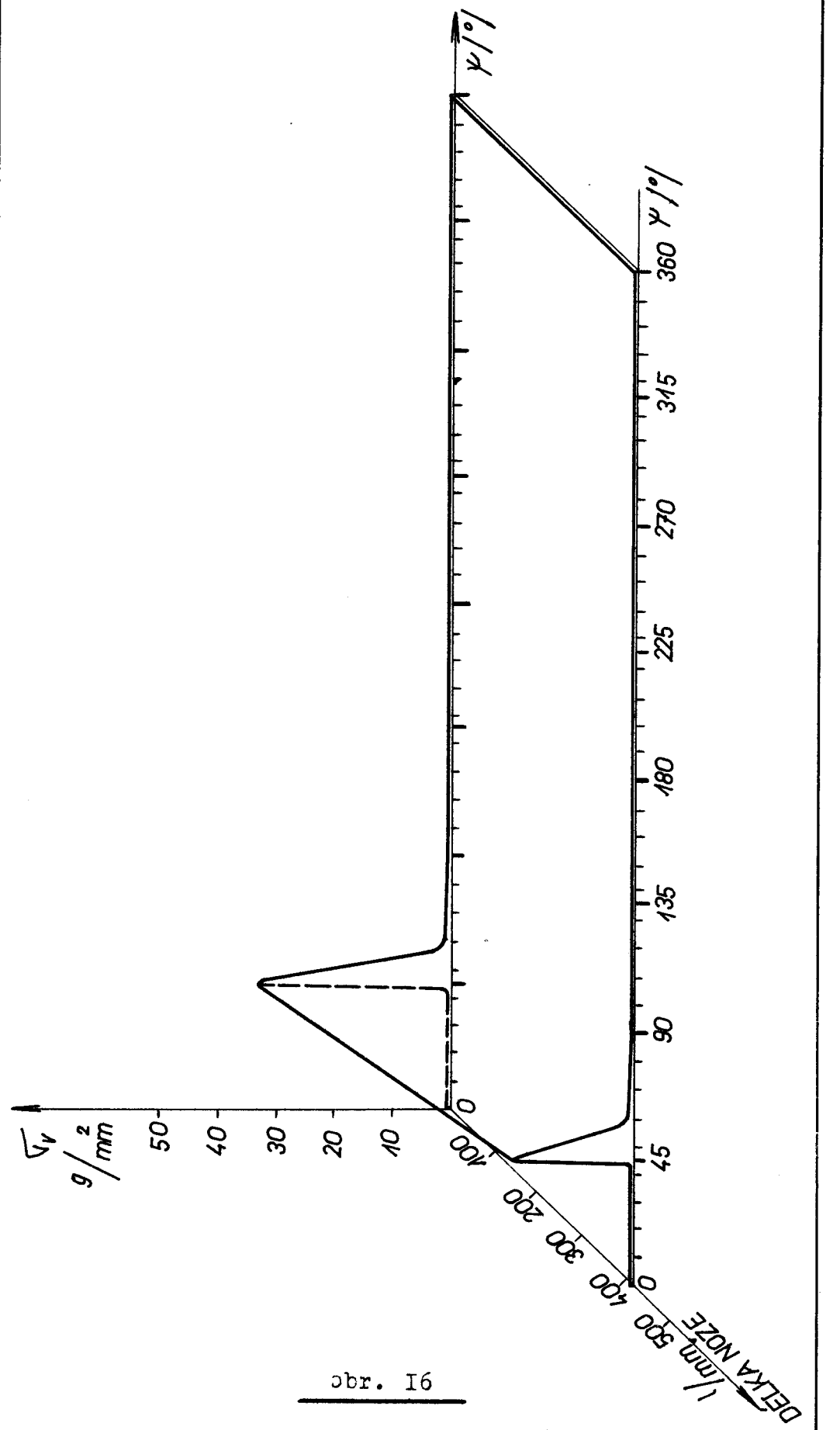
VŠST LIBEREC

Kinematické a dynamické po-
souzení lámacího a stíracího
ústrojí pro přípravu stonku
k získání dlouhého vlákna

DP — STR. 69

9. ŘÍJNA 1965

František Sasemann



se opakují každou otáčkou vibračním nožů. Množství těchto pulsů je závislé na délce vibračních nožů, na rychlosti posuvu stonku/tedy na dopravní rychlosti transportního pásu/ a na otáčkách vibračních nožů. Pro úplnost si spočteme počet pulsů/w/, pro rychlosť transportního pásu /v/ této velikosti

$$v = 40 \text{ m/min} = 0,667 \text{ m/sec}$$

a pro nůž I o délce l = 420 mm

<u>n = 200 ot/min</u>	$t = \frac{0,42}{0,667} = 0,63 \text{ sec}$; $W = \frac{0,63}{0,3} = 2,1$	<u>W = 2,1</u>
<u>n = 300 ot/min</u>	$t = 0,63 \text{ sec}$; $W = \frac{0,63}{0,2} = 3,15$	<u>W = 3,15</u>
<u>n = 350 ot/min</u>	$t = 0,63 \text{ sec}$; $W = 3,7$	<u>W = 3,7</u>
<u>n = 400 ot/min</u>	$t = 0,63 \text{ sec}$; $W = 4,2$	<u>W = 4,2</u>

VÝPOČET NOŽE 2

Vlastní výpočet zde není proveden, nebo řešení by bylo zcela stejné/resp. podle stejných již uvedených rovnic/, jen pro jiné hodnoty délek stonku, viz obr.5. Výpočet je shrnut do tabulek obr.I7 a obr.I8 a grafů obr.I9,20,21,22.

	$\gamma = 46^\circ$	$\gamma = 60^\circ$	$\gamma = 75^\circ$	$\gamma = 90^\circ$
N	g	31,590	1,610	0,884
N ₁	g	31,590	1,295	0,569
N ₂	g	31,590	1,078	0,508
N ₃	g	31,590	0,900	0,454
N ₄	g	31,590	0,751	0,405

POKRAČOVÁNÍ

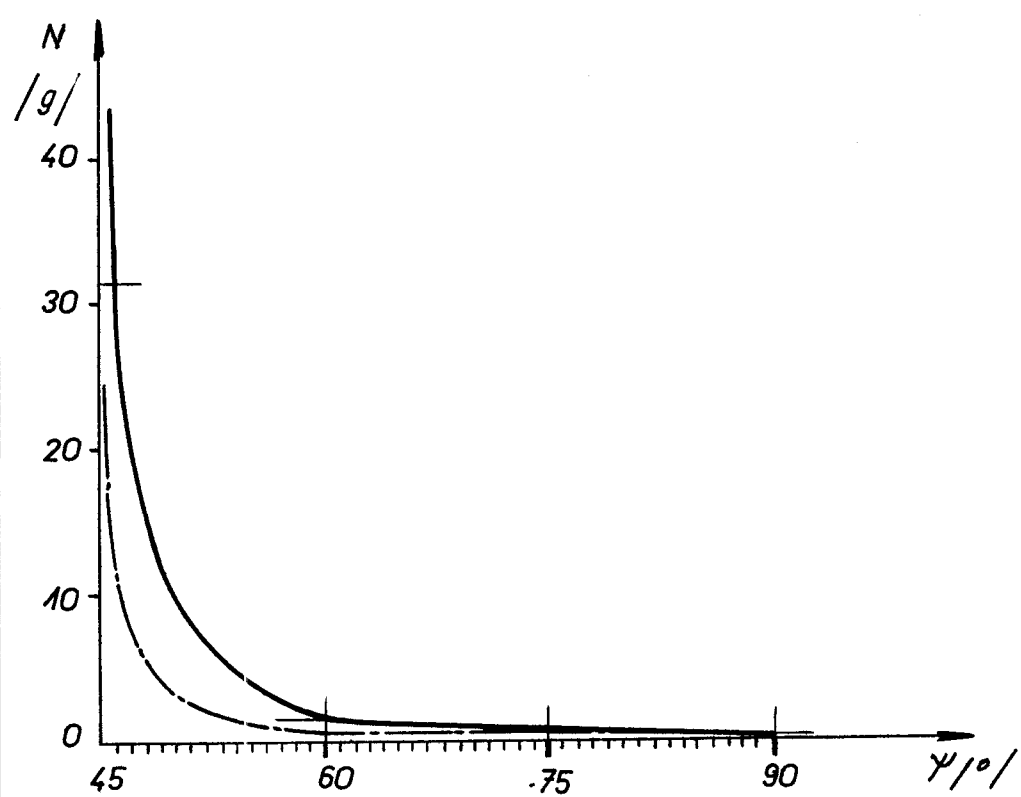
		$\gamma = 45^\circ$	$\gamma = 60^\circ$	$\gamma = 75^\circ$	$\gamma = 90^\circ$
G_r	g/mm^2	17,884	0,978	0,566	0,204
G	g/mm^2	17,810	0,910	0,500	0,140
m	1	350	6120	11 000	30 500
S_{tot}	g/cm	46,200	59,700	25,040	6,540
$S_{stř}$	g/cm	30,850	39,550	13,329	4,326
F_f	g	0	0,263	0,500	0,140

obr. I7

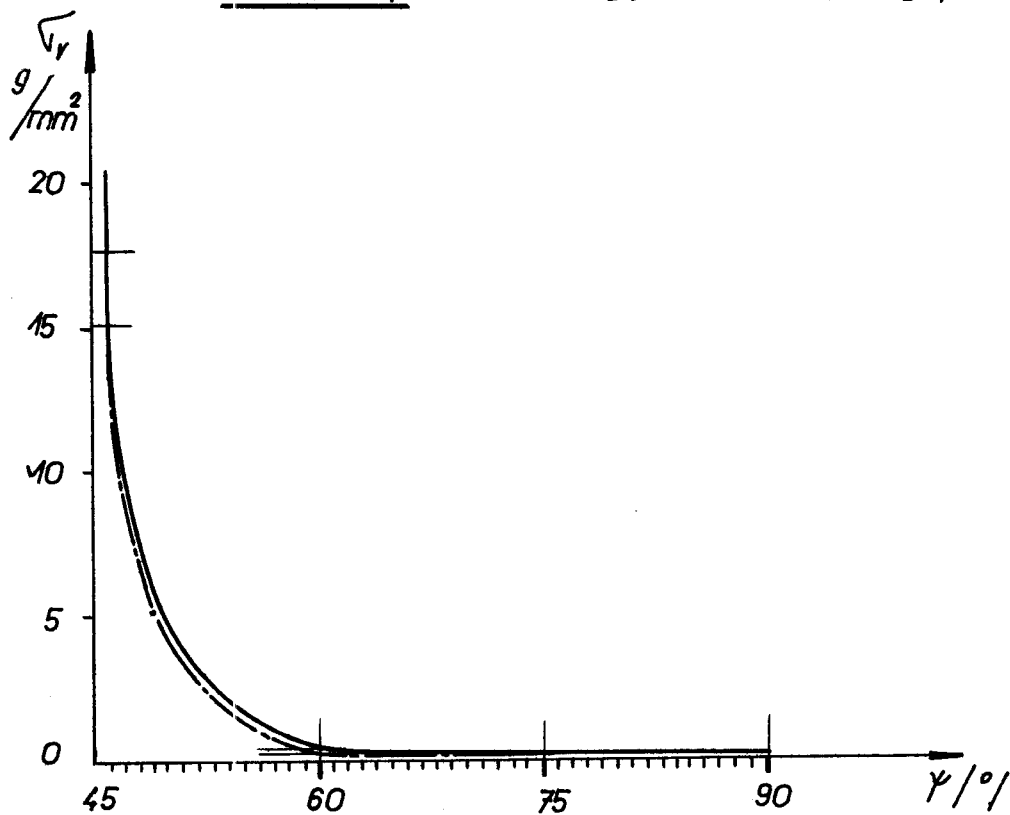
Výstup z vibračních nožů

		$\gamma = 45^\circ$	$\gamma = 60^\circ$	$\gamma = 75^\circ$	$\gamma = 90^\circ$
N	g	10,529	0,526	0,043	0,071
N_1	g	10,529	0,423	0,076	0,061
N_2	g	10,529	0,35	0,065	0,0494
N_3	g	10,529	0,294	0,053	0,039
N_4	g	10,529	0,245	0,043	0,031
G_r	g/mm^2	15,099	0,399	0,622	0,050
G	g/mm^2	15,000	0,298	0,540	0,040
m	1	1048	15 600	10 000	124 000
S_{tot}	g/cm	15,500	19,410	1,649	2,113
$S_{stř}$	g/cm	30,850	39,550	13,329	4,329
F_f	g	0	0,087	0,020	0,014

obr. I8



obr. 19 / — vstup, - - - výstup /

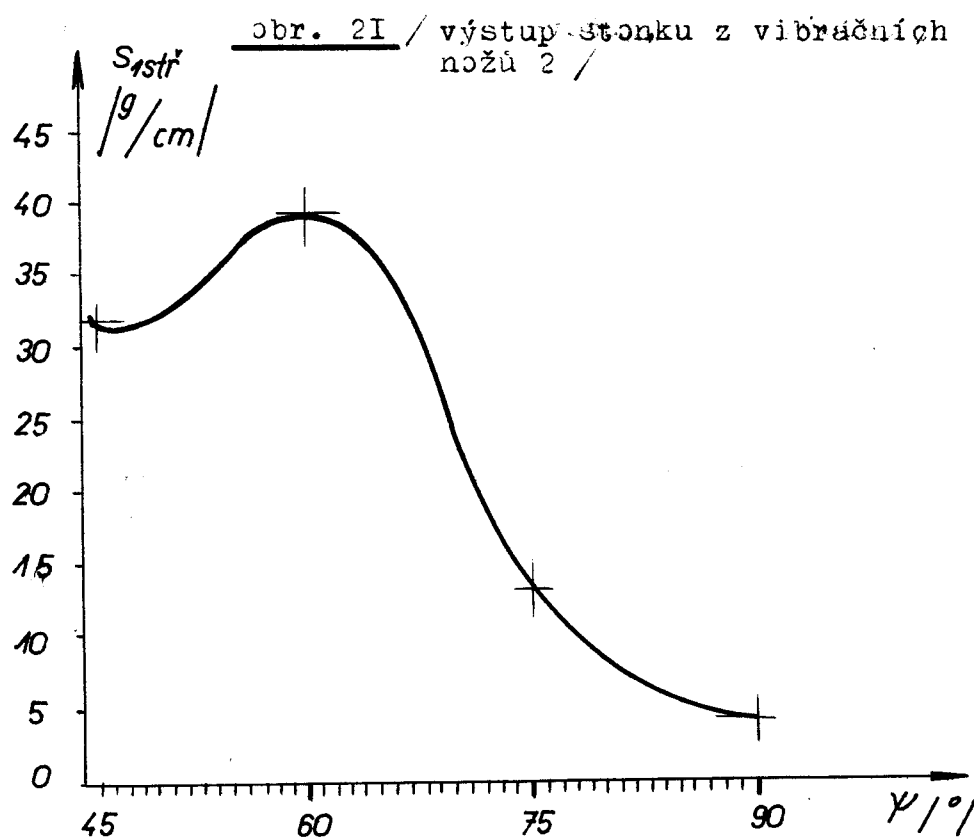
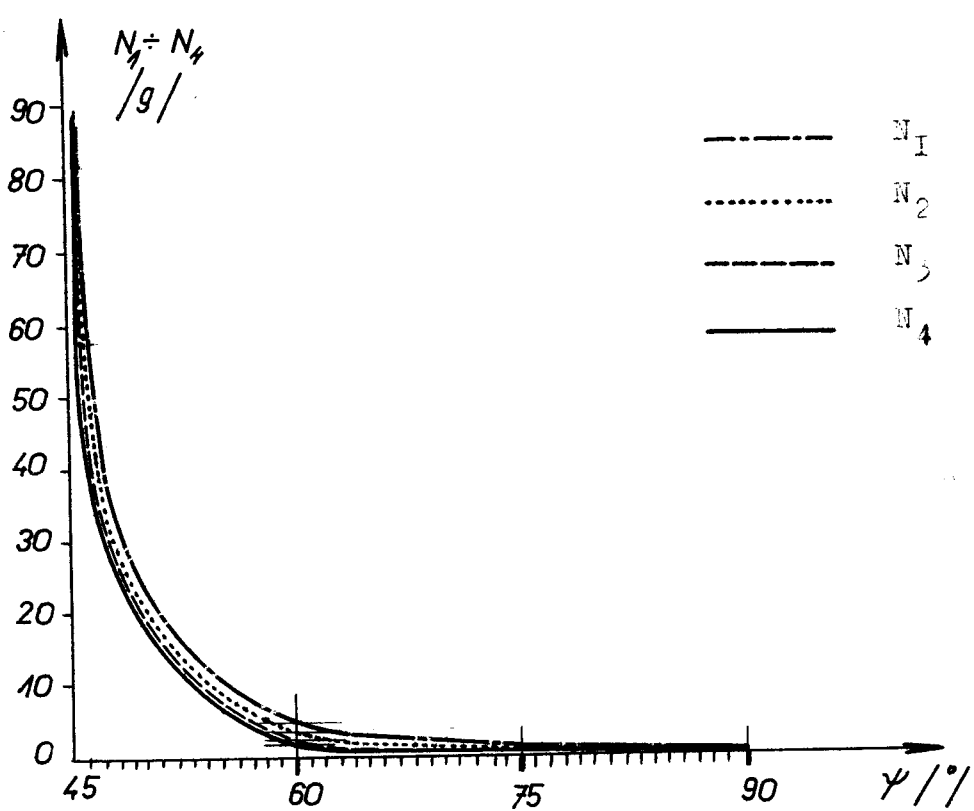


obr. 20 / — vstup, - - - výstup /

VŠST LIBEREC

Kinematické a dynamicke po-
souzení lámacího a stíracího
strojí pro přípravu stonku
k získání dlouhého vlákna

DP — STR. 
9. ŘÍJNA 1965
František Sassmann



obr. 22

VŠST LIBEREC	Kinematické a dynamické po- souzení lámacího a stíracího ustrojí pro přípravu stonku k získání dlouhého vlákna	DP — STR. 59 9. ŘÍJNA 1965 František Sassmann
<u>VÝPOČET NOŽE 3</u>		
<p>Podíváme-li se na obr. 5 vidíme, že hladina konce stonků jen z nepatrné části/při průměrné délce stonků 700 mm, zbyde přibližně 350 mm na každou stranu transportního pásu/ zasáhne pracovní partie vibračních nožů 3. Proto zatížení a tedy namáhání od stonků lnu je nepatrné/zanedbatelné/, přesněji řešeno přichází v úvahu jen namáhání od vlastních hmot nožů.</p>		

ZHODNOCENÍ STATI NA PODKLADĚ VYPOČTE-
NÝCH HODNOT A GRAFU

Výpočty byly provedeny pro nůž I a nůž II. Jak jsme již uvedli na předcházející straně, bylo by zbytečné provádět pracný výpočet i pro vibrační nože III. Řešení každého páru vibračních nožů bylo provedeno vždy pro 4 polohy kliky $\varphi = 45^\circ, \varphi = 60^\circ, \varphi = 75^\circ, \varphi = 90^\circ$. Tyto polohy plně vystihují a plně postačují k tomu, abychom si udělali představu o namáhání stonku. Při hodnocení budeme postupovat od konce stonku k uchycení transportním pásem. Zhodnocení patří jak vstupu, tak i výstupu stonku z vibračních nožů.

a/ Namáhání stonku pod vibračními noži

V této partii je stonkem namáhan jako vlastní vahou, tak dynamickou silou /viz rov. 4/. Vlastní váha je uvrčena délkom stonku, jeho průřezem a specifickou vahou. Dynamická síla je úměrná jak váze stonku, resp. jeho hmotě m , tak i složce zrychlení a_v . Je tedy zřejmé, že největší namáhání bude u nejspodnější hrany vibračních nožů /viz obr. I/, resp. obr. 4, a směrem dolů od této hrany namáhání stonku klesá. Pokles namáhání je úměrný úbytku délky stonku. Tedy na konci stonku je namáhání od váhy nulové a i namáhání od dynamické síly rovnac nule, přestože a_v je

VŠST LIBEREC	Kinematické a dynamické po- šouzení lámacího a stíracího ustrojí pro přípravu stonku k získání dlouhého vlákna	DP — STR. 58 9. ŘÍJNA 1965
		František Sassmann

pro celou tuto délku stonku konstantní/ale pro
 $l = 0$ je $m=0$ /. Namáhání stonku vlastní vahou je
 však pro svou vpravdě nepatrnou dimensi malé, a
 proto namáhání ve skutečnosti je určováno napětím
 od dynamické síly.

Lze tedy shrnout:

namáhání stonku bude tím větší, čím větší bude délka stonku pod vibračními noži, čím bude větší jeho průřez/resp. jeho průměr/, čím bude větší jeho specifická váha a především čím bude větší složka zrychlení a_v .

b/ Namáhání stonku ve vibračních nožích

Podle obr.II /resp. podle rov.4/ vidíme, že nejvíce je namáhán stonek od síly N_1 -tedy u nejhořejší hrany vibračních nožů. Nejmenší namáhání v této partií je od síly N_4 /porovnejme s obr.4/. Podíváme-li se na rov.4, vidíme, že velikosti těchto sil jsou závislé na délce stonku pod vibračními noži /Q/, tedy i na průřezu stonku a na specifické váze lnu. Dále jsou závislé na velikosti složky zrychlení a_v a jejich vzájemný poměr je určen velikostmi úhlů opásání mezi stonkem a hranami vibračních nožů a součinitelem tření. Nyní si bližě všimněme grafu obr. II. Vidíme, že křivky mají tvar hyperbol. Asymptotami těchto hyperbol jsou souřadnicové osy a N_1 /resp. N_2, N_3, N_4 /. Těsně před 45° , to znamená

před okamžikem, kdy přichazejí vibrační nože do pracovní oblasti, je stonk relativně v křidu, posyuje se jen ve směru umění transportním pasem. V následujícím okamžiku $\gamma = 45^\circ$, kdy se vibrační nože s určitým zrychlením tonoto stonku dotknou, začne působit na stonk složka zrychlení $a_r = g/\sin\beta$. Pro $\gamma = 45^\circ$ je $a_r \div a_s = 0$, $\beta = 0$, a tedy i $\sin\beta = 0$. Z toho podle uvedeného stavu plynne, že $a_r = 0$. Přesadíme-li tuto velikost složky zrychlení a_v do rov. 5, dostaneme nekonečně velikou hodnotu dynamické síly. Uvšem okamžik, kdy nastane $a_r = 0$ je nekonečně malý, a tedy i tato špička napětí dana dynamickou silou je časově nekonečně malou veličinou. Přesto v tomto okamžiku vzniká nebezpečí destrukce vláken, především těch stonků, jež jsou již před tímto okamžikem jakkoli mechanicky narušeny. Z uvodu uvedených na str. 24. lze považovat toto napětí za prakticky se nevyskytující.

Další okamžik, který jsme sledovali, byl při $\gamma = 46^\circ$. V této poloze je již napětí podstatně menší a konečné hodnoty, kde pokles je určen jen změnou/poklesem dynamické síly/resp. poklesem složky zrychlení a_v , neboť váha stonku je stále stejná. V tabulce obr. 7 a 8 vidíme, že síly n_1 , n_2 , n_3 , jsou stejné, neboť se ještě neuplatnily úhly opásání s nimiž je spojato tření stonku o hrany vibračních nožů. Z vypočtených hodnot bezpečnosti viz obr. 7 a 8 vidíme, že pro tento úhel počítání kliky nevznika nebezpe-

čí porušení vláken.

Pro polohy kliky $\gamma = 60^{\circ} 75^{\circ}$ jsou vypočtené hodnoty sil a tedy i napětí malé. tento velký, rychlý, pokles je opět určen poklesem dynamické síly. Pro tyto polohy se již markantně projeví vliv součinitele tření a velikosti úhlů opásání, což způsobuje r e l a t i v n ě velké rozdíly mezi silami N_1 až N_4 . Používáme-li se opět na obr. 7 a 8 vidíme, že hodnoty bezpečnosti jsou veliké a tedy o nějakém nebezpečí porušení vláken nelze mluvit. Z tabulek obr. 7 a 8 lze též vyčísti, že se síly N_1 až N_4 mění podle toho, jestli stonek v oblasti vstupu či v oblasti výstupu z vibračních nožů. Toto je způsobeno sklonem vibračních nožů, v obr. 7 vidíme, že při vstupu do vibračních nožů i je délka stonku pod vibračními noži $l = 180$ mm a při výstupu je délka stonku pod vibračními noži $l = 290$ mm. Pro úplnost se podívajme na polohu kliky $\gamma = 90^{\circ}$. Tu je velikost napětí určena jen vlastní vahou stonku, $a_v = 0$, a jeho velikost je zcela nepatrna.

c) namáhání stonku mezi transportním pasem

a vlastními vibračními noži

Pouze tabulek obr. 7 a 8 vidíme, že napětí v této oblasti je největší. Všechny zavěry platné pro polohu kliky $\gamma = 45^{\circ}$ uvedené v odstavci 6, platí i zde. Pro ostatní polohy je napětí vzhledem k pevnosti

VŠST LIBEREC	kinematické a dynamické po- souzení lamacího a stíracího ústrojí pro přípravu stonku k získání dlouhého vlákna	DP — STR. 53
	9. ŘÍJNA 1965	František Sassmann

stonku malé, viz bezpečnost ~~č~~ v tabulce obr. 7 a 8.
K tomu, abychom měli dokonalou představu o měnícím
se napětí, podle toho v jaké partii vibračních nožů
se stonek právě nachází, si použí obr. 16.

Souhrně lze tedy prohlásit, že stonku během jeho
dráhy vibračními noži, nehozí nebezpečí destrukce
vláken.

Všechny závěry zde uvedené jsou platné i pro vi-
brační nože 2, jen s tím rozdílem, že je zde zamě-
něn vstup/resp.výstup, stonku vzhledem ke sklonu
vibračních nožů, viz obr. 5.

IV. PROPOČET KONSTRUKČNÍCH PODMÍNEKV ROZSAHU OTÁČEK

Tato část se zabývá konstrukčními podmínkami všech elementů činně zúčastněných na funkci celého mechanismu. Úvodem této části si nejprve rozdělíme výpočet na tyto skupiny problémů.

A/ Konstrukční a silové poměry na vibračních nožích. V této skupině bude řešeno

I/ ohýbové kmitání nožů-

naším cílem bude zjistit, nenašaně-li při ohýbovém kmitání resonance vibračních nožů vlivem odstředivých sil. Došlo-li by k resonanci v této rovině, bylo by nebezpečí, že nastane brzská destrukce nožů vlivem únavy materiálu. Případně bychom museli určit nové pracovní oblasti vibračních nožů, které by byly pod či nad resonanční oblastí.

2/ namáhání průřezu nožů dynamickými, odstředivými silami a silami, které vznikají při vlastním lámání stonku.

Zde nás především zajímá, jeli průřez/resp. modul odporu W dostatečný a tedy nehrází-li porušení

vibračních nožů. Tím také zjistíme, využuje-li použitý materiál stávajícímu namáhání.

B/ Kmitání nožů ve směru vedení

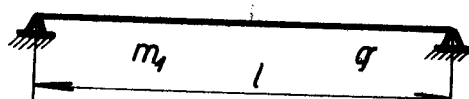
jak již víme z úvodní partie, vibrační nože mají možnost pohybu po vedení, *tvří kruhové nosníky, pokud jim to tuhost pružiny dovolí. Tento výpočet je velmi závažný a nutný pro další výpočet, nebo bez něho bychom nezjistili namáhání klikových hřídelů. Ovšem tato stať je velmi náročná a pracná, nebo zde přichází v úvahu vynucené kmitání zcela obecnou hudecí silou.

B/ Namáhání klikového hřídele

Zde se soustředíme na zjištění reakcí v ložiskách. Podle velikosti reakce můžeme usoudit, nenastává-li tzv. vytlučení ložisek, připadně jaké jsou možnosti v eliminaci těchto nežádoucích jevů.

A/ Konstrukční a silové poměry na vibračních
nožích

I/ Chybkové kmitání nožů



obr. /IV/ I

Nemění-li se chybková tuhost po celé délce nosníku platí pro malé průhyby diferenciální rovnice chybkové čáry-odvozované v elementární teorii nosníku /věty Schwedlerovy/,

$$/1/ \quad \ddot{y} = -\frac{M}{EI}$$

a další derivace

$$/2/ \quad \dddot{y} = -\frac{T}{EI}$$

$$/3/ \quad \ddot{y} = +\frac{q}{EI}$$

čárkou značíme derivace podle x.

M.... chybkový moment

q... spojité rozdělení
zatížení

T.... posouvací síla

E.I.. chybková tuhost nože

Jde-li o volné kmitání jak zobrazuje obr./IV/ I, je jedním jeho zatížením setrvačná síla, spojite rozdělená po celé délce nosníku. Připadá-li na l cm délky nosníku hmota m_I , je spojité zatížení při volném kmitání

$$/4/ \quad Q = -m_I \cdot \ddot{y}$$

tečkou označujeme derivaci podle času

Zatížení q směřuje proti kladnému směru zrychlení
j. t. j. proti výchylce y .

Dosazením /4/ do /3/ dostaneme diferenciální po-
hybovou rovnici

$$/5/ \quad y'' - \frac{q}{EJ} = 0 \quad y'' + \frac{m_0 d^2}{EJ dt^2} = 0$$

$$\frac{\partial^4 y}{\partial x^4} + \frac{m_0}{EJ} \cdot \frac{\partial^2 y}{\partial t^2} = 0$$

Furierovou metodou řešení parciálních diferenciál-
ních rovnic lze psát, že

$$/6/ \quad y(x,t) = y(x) e^{j\omega t}$$

a tím přejde parciální diferenciální rovnice v
rovniči obyčejnou následovně

$$\frac{d^4 y}{dx^4} = \frac{d^4 y}{dx^4} \cdot e^{j\omega t} \quad \text{kde } j^2 = -1$$

$$\frac{d^2 y}{dt^2} = \frac{y(x)}{1} \cdot \omega^2 \cdot j^2 \cdot e^{j\omega t}$$

dosazením do /5/

$$\frac{d^4 y}{dx^4} \cdot e^{j\omega t} - y \omega^2 e^{j\omega t} \frac{m_0}{EJ} = 0$$

/7/

$$\frac{d^4 y}{dx^4} - q^4 y = 0 \quad \text{kde } q^4 = \frac{m_0 \omega^2}{EJ}$$

řešení rovnice /7/ - sestavme charakteristickou
rovniči /7/

$$\lambda^4 - \alpha^4 = 0 \Rightarrow \lambda^4 = \alpha^4 \quad \lambda_{1,2} = \pm \alpha$$

pak je

$$\lambda_{3,4} = \pm j\alpha$$

$$/8/ \quad y = C_1 e^{\alpha x} + C_2 e^{-\alpha x} + C_3 \sin \alpha x + C_4 \cos \alpha x$$

Konstanty C_1, C_2, C_3, C_4 , vyplynou z okrajových podmínek

Pro nás případ jsou tyto okrajové podmínky

$$y(0) = y''(0) = 0$$

$$y(l) = y''(l) = 0$$

dosažením do rovnice/okrajových podmínek do rov. 8

dostaneme

$$C_1 = C_2 = C_3 = C_4 = 0$$

tedy z původní rovnice /8/ zůstane pouze

$$y = C_3 \sin \alpha x$$

pro

$$y(l) = C_3 \sin \alpha l = 0$$

tato rovnice je splněna pro $\alpha l = 0, \pi, \dots, n\pi, \dots$

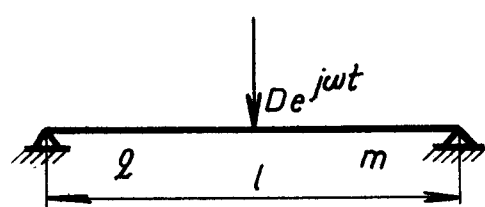
dosaďme $\alpha l = 0, \pi, \dots, n\pi \dots$ do rovnice /7/ kde tedy pro

$n = 1, 2, 3, 4, 5, 6, \dots, n \dots$

$$/9/ \quad \alpha = \frac{m_1 \omega^2}{EJ} = \frac{n^4 \pi^4}{l^4} \Rightarrow \omega_N = \frac{n^2 \pi^2}{l^2} \cdot \sqrt{\frac{EJ}{m_1}}$$

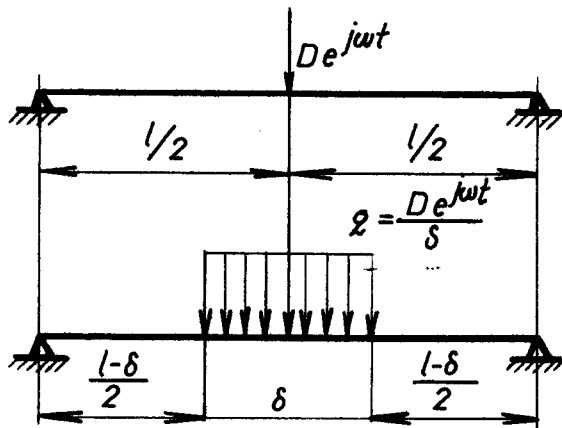
Pro nás případ, kde kmitání je vynucené silou D

působící v jeho středu.



obr./IV/ 2

Vynucené kmitání bude v tomto případě dáné partikularním integrálem diferenciální rovnice /5/, ovšem doplníme-li pravou stranu rovnice /5/ podle podmínek úlohy. Jelikož se daná síla $D e^{j\omega t}$ ve tvaru, výrazu pro q přímo neobjeví/neboť derivování posouvající síly q podle x vymizí/. Je tedy nutno nahradit osamělou sílu staticky ekvivalentní soustavou spojité rozděleného zatížení podle obr./IV/ 3



obr./IV/ 3

potom platí:

$$/I0/ \quad q(x,t) = 0 \quad \text{pro } x \in \left< 0; \frac{l-\delta}{2} \right>$$

$$q(x,t) = \frac{D e^{j\omega t}}{\delta} \quad \text{pro } x \in \left< \frac{l-\delta}{2}; \frac{l+\delta}{2} \right>$$

$$q(x,t) = 0 \quad \text{pro } x \in \left< \frac{l+\delta}{2}; l \right>$$

funkci $q/x, t, /$ můžeme vyjádřit Fourierovou řadou

$$/II/ \quad q(x,t) = e^{j\omega t} \cdot \sum_{n=1}^{\infty} a_n \cdot \sin \frac{n\pi x}{l}$$

ježíž koeficienty jsou $\text{pro } t=0, e^{i\omega t} = 1 \quad \frac{l+\delta}{2}$

$$a_n = \frac{2}{l} \int g(x, 0) \sin \frac{n\pi x}{l} dx = \frac{2D}{\delta \pi n} \int \sin \frac{n\pi x}{l} d \frac{n\pi x}{l} =$$

$$a_n = \frac{2D}{\pi n \delta} \cdot 2 \sin \frac{n\pi}{2} \sin \frac{n\pi \delta}{l} \quad \frac{l-\delta}{2}$$

v limitě je $\delta=0$, takže

$$\sin \frac{n\pi \delta}{l} = \frac{n\pi \delta}{l}$$

tedy

$$a_n = \frac{2D}{l} (-1)^{\frac{n-1}{2}} \dots \quad n = 1, 3, 5, \dots$$

člen $(-1)^{\frac{n-1}{2}}$, $n = 1, 3, 5, \dots$, píšeme místo $\sin \frac{n\pi}{2}$

lze psát tedy dosazením do /II/

$$g(x, t) = \frac{2D}{l} \left[\sin \frac{\pi x}{l} - \sin \frac{3\pi x}{l} + \sin \frac{5\pi x}{l} \dots \right] e^{i\omega t} =$$

$$/I_2/ \quad = \frac{2D}{l} e^{i\omega t} \sum_{n=1,3,5}^{\infty} (-1)^{\frac{n-1}{2}} \cdot \sin \frac{n\pi x}{l}$$

Místo výrazu pro q v rovnici /4/ máme $q/x, t, / - my$
a diferenciál rovnice /5/ nabude tvar

$$/I_3/ \quad \frac{\partial^4 y}{\partial x^4} + \frac{m_1}{EJ} \frac{\partial^2 y}{\partial t^2} = \frac{1}{EJ} g(x, t)$$

Integrál této rovnice je součtem obecného integrálu zkrácené homogenní rovnice, který představuje volné kmitání a integrálu partikulárního, jenž představuje vynucené kmitání. Partikulární integrál lze předpokládat ve tvaru

$$/I_4/ \quad y(x, t) = e^{i\omega t} \sum_{n=1}^{\infty} c_n \sin \frac{n\pi x}{l}$$

Na pravé straně rovnice /I4/ je součet normálních

složek vynucených kmitů. Na rozdíl od volného kmitání mají všechny kmity stejnou kruhovou frekvenci jako budící síla. Dosadíme-li /I4/ a /I5/ do rovnice /I3/ a srovnáme-li koeficienty u na obou stranách rovnice je

$$/I5/ \quad C_N = \frac{2P}{EJl} (-1)^{\frac{n-1}{2}} \cdot \frac{1}{\left[\left(\frac{n\pi}{l} \right)^2 - \frac{m_1 \omega^2}{EJ} \right]}$$

Resonance nastane, je-li jmenovatel u rov./I5/ roven 0/nule/

$$/I6/ \quad \omega = \frac{n^2 \pi^2}{l^2} \cdot \sqrt{\frac{EJ}{m_1}}$$

pro $n = 1, 3, 5, \dots$

porovnáme-li tuto rovnici s rovnici/9/, vidíme, že resonance nastane je-li kruhová frekvence budící síly shodná s některou lichou
vlastní frekvencí volného kmitání.

Nyní zjistíme podle /I6/, pro různá lichá čísla $n = 1, 3, 5, \dots$, pro jaké kruhové frekvence by resonance nastala. Pro vyšší $n = 5, 7, \dots$ není potřebné počítat, neboť příslušná kruhová frekvence by byly rádově velmi vysoké.

do rov./I6/ dosadíme tyto hodnoty

$$\pi = 3,14$$

$$l = 420 \text{ mm} \quad (\text{pro nůž I-viz obr. 5, stat III})$$

$$J = 4,72 \text{ cm}^4 \quad (\text{nůž se třemi hranami})$$

$$E = 2,1 \cdot 10^6 \text{ kg/cm}^2$$

$$m_1 = \frac{0,754}{981,42} = 9000018 \text{ kg sec}^2/\text{cm}/\text{cm}$$

a tedy pro $n=I$ je

$$\omega_1 = \frac{9\pi^2}{42^2} \cdot \sqrt{\frac{2,9 \cdot 10^6 \cdot 4,72}{0,000018}} = 4220 \text{ 1/sec}$$

$$m_1 = 9,810^{-5} \text{ kg sec}^2/\text{cm}/\text{cm}$$

$$\omega_1 = 4220 \text{ 1/sec}$$

a tuto ω_1 si srovnajme nyní s našimi kruhovými frekvencemi/resp. otáčkami, za nichž pracují vibrační nože/

$$\text{pro } n = 200 \text{ ot/min} \quad \text{je} \quad \omega = 21 \text{ 1/sec}$$

$$\text{pro } n = 250 \text{ ot/min} \quad \text{je} \quad \omega = 26,21 \text{ 1/sec}$$

$$\text{pro } n = 300 \text{ ot/min} \quad \text{je} \quad \omega = 33,4 \text{ 1/sec}$$

$$\text{pro } n = 400 \text{ ot/min} \quad \text{je} \quad \omega = 42 \text{ 1/sec}$$

Již pohled na tyto kruhové frekvence a na kruhovou frekvenci ω_1 , nám říká, že není nutné počítat kruhové frekvence pro vyšší n , nežli je $n = I$. Důvodem těchto poměrů jsou nepatrné hmoty vibračních nožů a k nim poměrně velká tuhost vibračních nožů.

Lze tedy shrnout:, že vibrační nože pracují mimo resonanční oblast, resp. hluboko pod resonanční oblastí.

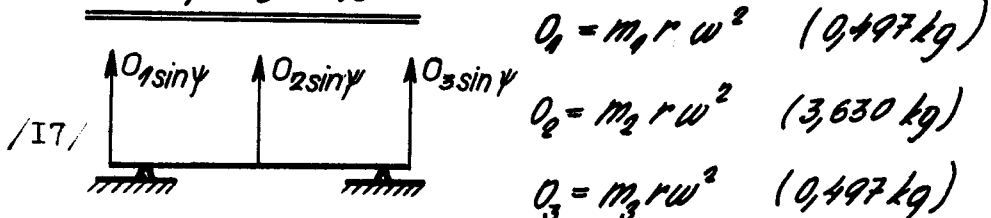
2/ Namáhání průřezu nožů dynamickými silami

/odstředivými silami/a silami, které vznikají přímo při vlastním lámání stonku.

Při tomto výpočtu budeme vycházet ze sil vypočtených ve stati III. Na str. 43 obr. 7 a obr. 8 jsou tabulky, z kterých nás nyní zajímá předposlední

rádek, síly $S_{Istř}$. Tyto hodnoty můžeme ovšem použít jen pro polohy kliky $\psi = 45^\circ \div 90^\circ$. Pro ostatní polohy kliky jsou síly od vlastního lámání stonku nulové, nebo vibrační nože jsou mimo pracovní oblast. Pro tyto hodnoty poloh $\psi = 90^\circ \div 180^\circ \div 360^\circ \div 45^\circ$ jsou jedinými silami, které namáhají vibrační nože jen síly odstředivé. V polohách kliky $\psi = 0^\circ$ a $\psi = 180^\circ$ nastává ještě změna znaménka odstředivých sil. Proto si musíme celý problém rozdělit na tyto čtyři oblasti:

a/ $\psi = 0^\circ \div 45^\circ$



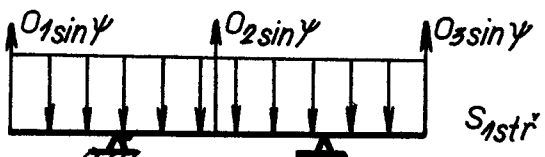
obr. /IV/4

O_1, O_2, O_3 . odstředivé
síly

Zde je tedy namáhán nůž pouze složkami odstředivých sil. Bereme zde v úvahu jen složky odstředivých sil v rovině kolmé na průřez vibračních nožů. V rovině podélné vzhledem k průřezu nože je totiž možnost pohybu nože po vedení, tedy vlastní průřez těmito silami nebude namáhan.

b/ $\psi = 45^\circ \div 90^\circ$

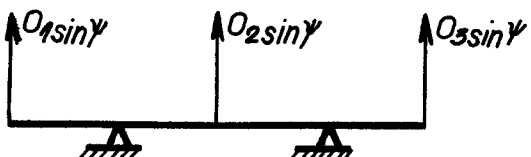
Zde kromě odstředivých sil jako v předešlém případě, působí také rovnoramenně rozložená proměnlivá síla $S_{I stř}$ od lámání stonku. Tato síla působí na nožník v opačném směru, než jak působí odstředivé síly, je vtedy opačného znaménka, viz obr. /IV/5.



obr./IV/ 5

c/ pro $\gamma = 90^\circ \div 180^\circ$

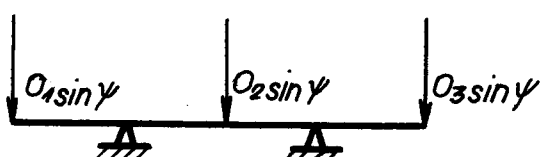
zůstávají jedinými namáhajícími silami pouze složky odstředivých sil, O_1 , O_2 , O_3 , viz obr./IV/6



obr./IV/6

d/ při $\gamma = 0^\circ \div 0^\circ$

viz obr./IV/7 zůstává namáhání nožů opět pouze od složek odstředivých sil, jako při $\gamma = 0^\circ \div 180^\circ$ ale nyní jsou opačného znaménka/velikost zůstává stejná/.



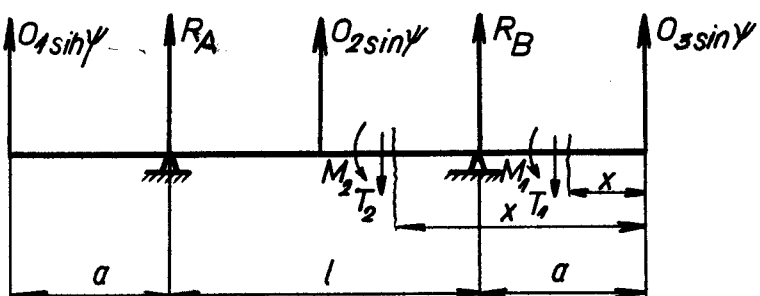
obr./IV/ 7

Z tohoto rozboru plyně, že namáhání nožů je střídavé, se stejnými velikostmi kladné i záporné amplitudy. Chceme-li tedy určit bezpečnost s, musíme toto vypočtené napětí porovnat s napětím σ_c /t.j. napětí na mezi únavy/ ve Schmidtově diagramu. Abychom pro-

blém ještě více nekomplikovali, zanedbáváme namáhání od vlastní váhy. Tím se nedopustíme žádných chyb nebo váhy nožů se pohybují rádově $5 \cdot 10^{-1} \text{ kg}$.

Nyní již přikročíme k vlastnímu řešení:

oblast a/ $\gamma = 0^\circ \div 45^\circ$



obr./IV/8

$$a = 105 \text{ mm} = 10,5 \text{ cm}$$

$$l = 210 \text{ mm} = 21 \text{ cm}$$

Pro obecně zvolený element vibračního nože můžeme psát tyto rovnice:

$$/I8/ R_A + R_B = - (O_1 + O_2 + O_3) \sin \gamma$$

a moment k reakci R_A

$$/I9/ O_3(l+a) \sin \gamma + R_B l + O_2 \frac{l}{2} \sin \gamma - O_1 a \sin \gamma = 0$$

z rovnice /I9/ vypočteme R_B a děsadíme do /I8/, tím zjistíme velikost i druhé reakce R_A .

Nyní si zjistíme průběh a velikost posouvajících sil a ohybových momentů.

Řešení provádíme podle obr./IV/ 8

I/ pro $0 \leq x \leq a$ platí tyto rovnice

pro posuvající síly

$$/20/ T_1 = O_3 \sin \gamma$$

a pro ohýbové momenty

/21/

$$M_2 = -O_3 \sin \psi \cdot x$$

2/ pro $a \leq x \leq \frac{1}{2}$ dostaneme tyto rovnice pro souvající síly

/22/ $T_2 = R_3 + O_3 \sin \psi$

a pro ohýbové momenty

/23/ $M_2 = -O_3 \sin \psi \cdot x - R_3 (x-a)$

Jěště si odvodíme rovnice pro výpočet napětí od ohýbových momentů/ne od posuvajících sil, které jsou malých hodnot vzhledem k velkému průřezu nožu./ Abychom mohli z ohýbových momentů vypočítat ohýbové napětí $\sigma_0 [kg/cm^2]$, musíme ještě znát modul odporu W_0 uvažovaného nože.

/24/ $W_0 = \frac{J_{Nvýsl}}{\epsilon}$

kde $J_{Nvýsl}$ je celkový moment setrvačnosti nože a pro $J_{Nvýsl} = 4,72 \text{ cm}^4$ /pro nůž se třemi hranami/ a pro $J_{Nvýsl} = 4,34 \text{ cm}^4$ /pro nůž se dvěma hranami/

/25/ kde ϵ je vzdálenost vláken vibračního nože od neutrální osy. Pro nás případ

$\epsilon = 2,1 \text{ cm}$ /nůž se třemi hranami/

$\epsilon = 2,9 \text{ cm}$ /nůž se dvěma hranami/

dosaďme-li tyto hodnoty /25/ do rov./24/ dostaneme pro nůž se třemi hranami

/26/ $W_{01} = \frac{4,72}{2,1} = 2,25 \text{ cm}^3$

a pro nůž se dvěma hranami

$$\underline{\underline{W_{01} = 2,25 \text{ cm}^3}}$$

$$/27/ \quad W_{02} = \frac{4,34}{2,9} = 1,5 \text{ cm}^3$$

$$\underline{W_{02} = 1,5 \text{ cm}^3}$$

lze tedy psát obecně rovnici pro ohybové napětí

$$/28/ \quad \sigma = \frac{M}{W_0}$$

Z rovnice /26/, /27/ vidíme, že postačí sledovat namáhání nožů s menším modulem odporu /podle rov.

/27//. Jestliže pro tento modul odporu nevychází velké napětí σ , pak samozřejmě je bezpečný po stránce namáhání i nůž s modulem odporu dle /26/. Když máme tyto rovnice, můžeme přistoupit k číselnému vyjádření posuvajících sil a ohybových momentů. Budeme se vždy zajímat o namáhání v nebezpečných průřezech. V našem případě máme dva nebezpečné průřezy - v první oblasti je to pro $x = a$, a v druhé oblasti je to pro $x = 1/2 + a$.

Řešení provedeme jen pro tyto polohy kliky

$$\psi = 0^\circ, 15^\circ, 30^\circ, 45^\circ.$$

$$\underline{\underline{aa/ \quad \psi = 0^\circ}}$$

nejprve si zjistíme reakci podle rov. /I8/, /I9/, pro $\psi = 0^\circ$ je $\sin \psi = 0$ a tedy

$$\underline{\underline{R_A = R_B = 0}}$$

posuvající síly a ohybové momenty:

$$\text{ad 1/} \quad T_1 = 0, \quad M_1 = 0$$

$$\text{ad 2/} \quad T_2 = 0, \quad M_2 = 0$$

$$\text{ab/} \quad \underline{\underline{\psi = 15^\circ}}$$

dosaďme-li /I7/ do rov. /I8, I9/ musí reakce

$$R_B = O_1 \frac{a}{l} \sin \psi - O_2 \frac{a}{2} \sin \psi - O_3 \frac{(l+a)}{l} \sin \psi = \\ = [O_1 \frac{a}{l} - O_2 \frac{a}{2} - O_3 \frac{(l+a)}{l}] \cdot \sin \psi = -0,598 \text{ kg}$$

$$\underline{\underline{R_B = 0,598 \text{ kg}}}$$

a nyní

$$R_A = -R_B - (O_1 + O_2 + O_3) \sin \psi = -0,598 - 0,497 + 3,6304 + \\ + 0,497 \cdot 0,25882 = -0,602 \text{ kg}$$

$$\underline{\underline{R_A = -0,602 \text{ kg}}}$$

Vidíme, že se reakce R_A a R_B liší velikostí čtyř setin, což je způsobeno počítáním na pravítku. Mohli jsme totiž již na začátku říci, že reakce R_A i R_B podle dané souměrnosti zatížení jsou stejné. Proto nadále budeme vypočítávat jen jednu reakci.

tedy

$$R_A = R_B = -0,600 \text{ kg}$$

posouvající síly a ohybové momentyad I/ pro $x = a$, z rov. /20/

$$T_1 = 0,497 \cdot 0,25882 = 0,129 \text{ kg}$$

$$\underline{\underline{T_1 = 0,129 \text{ kg}}}$$

z rov. /21/

$$M_1 = -0,497 \cdot 10,5 \cdot 0,25882 = -1,35 \text{ kgcm}$$

$$\underline{\underline{M_1 = -1,35 \text{ kgcm}}}$$

ad 2/ pro $x = l/2 + a$, z rov. /22/

$$T_2 = -0,600 + 0,497 \cdot 0,25882 = -0,471 \text{ kg}$$

$$\underline{\underline{T_2 = -0,471 \text{ kg}}}$$

z rov. /23/

$$M_2 = -0,497 \cdot 0,25882 \cdot 21 + 0,6 \left(\frac{l}{2} + a - a \right) = 3,59 \text{ kgcm}$$

$$\underline{\underline{M_2 = 3,59 \text{ kgcm}}}$$

k těmto ohybovým momentům M_1 resp. M_2 si nyní najde-
me ohybové napětí podle /28/

pro M_1

$$\sigma_{O_1} = \frac{M_1}{W_{O_2}} = -\frac{1,35}{1,5} = -0,9 \text{ kg/cm}^2$$

$$\underline{\underline{\sigma_{O_1} = -0,9 \text{ kg/cm}^2}}$$

pro M_2

$$\sigma_{O_2} = \frac{M_2}{W_{O_2}} = -\frac{3,59}{1,5} = -2,6 \text{ kg/cm}^2$$

$$\underline{\underline{\sigma_{O_2} = -2,6 \text{ kg/cm}^2}}$$

Pro pálky kliky $\gamma = 30^\circ \div 45^\circ$ zde nebudeme výpočet pro-
vádět. Bylo by to pouhé opakování předešlého pro-
cesu jen s jinými hodnotami γ .

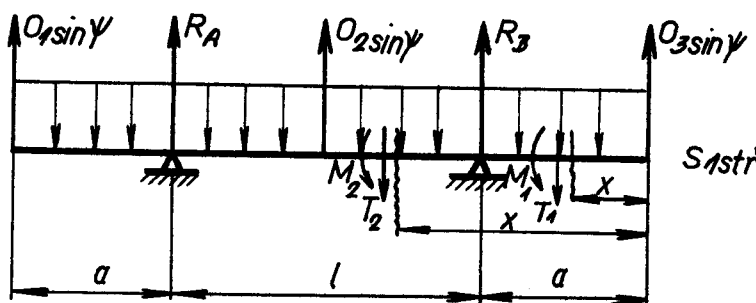
Celou tuto oblast shrneme pro názornost do tabulky
obr./IV/9.

		$\gamma = 0^\circ$	$\gamma = 15^\circ$	$\gamma = 30^\circ$	$\gamma = 45^\circ$
R_A	kg	0	-0,600	-1,155	-1,630
R_B	kg	0	-0,600	-1,155	-1,630
M_1	kgcm	0	-1,350	-2,610	-3,700
M_2	kgcm	0	3,590	6,475	11,925
σ_{01}	kg/cm ²	0	-0,900	-1,740	-2,460
σ_{02}	kg/cm ²	0	2,100	4,325	7,950

obr./IV/9

oblast b/ $\gamma = 45^\circ \div 90^\circ$

při $\gamma = 45^\circ$ nastává okamžik, kdy vibrační nože jdou do pracovního chodu a pak tedy k silám odstředivým-
síly namáhající vibrační nože přibudou ještě síly
vznikající při lámání stonku. Tyto síly jsou opač-
ného smyslu, než jsou odstředivé síly, viz obr./IV/10



obr./IV/10

kde $S_{Istř}$ viz statě III obr./7,8/, resp. obr.I3,I4,
a nazveme si jej q

tedy $\underline{S_{Istř} = q}$

Pro obecně zvolený element vibračních nožů píšeme
tyto rovnice:

$$/29/ R_A + R_B = - (O_1 + O_2 + O_3) \sin \psi + S_{Istř} (l + 2a)$$

$$/30/ R_B \cdot l + O_3 \sin \psi (l + a) + O_2 \sin \psi \frac{l}{2} - q(l + a) \\ \cdot \frac{(l + a)}{2} + 2a \cdot \frac{q}{2} - O_1 \sin \psi \cdot a$$

ze souměrnosti zatížení vibračního nože opět vidí-
me, že

$$/31/ R_A = R_B = q \frac{(l+a)^2}{2l} - q \frac{a^2}{2l} - \left[O_3 \frac{(l+a)}{l} + O_2 \frac{l}{2} - O_1 \frac{a}{l} \right] \sin \psi$$

Nyní si zjistíme průběh posouvajících sil a ohybo-
vých momentů

I/ pro $0 \leq x \leq a$

/32/

$$T_1 = O_3 \sin \psi - q \cdot x , M_1 = q \frac{x^2}{2} - O_3 \sin \psi \cdot x$$

2/ pro $a \leq x \leq \frac{l}{2}$

$$/33/ T_2 = O_3 \sin \psi + R_B - qx$$

$$M_2 = q \frac{x^2}{2} - O_3 \sin \psi x - R_B (x-a)$$

Pro výpočet napětí T_0 použijeme vztahů /24/, /25/,
/26/, /27/ a /28/.

Nyní provedeme opět číselný výpočet pro polohy kli-
ky $\psi = 46^\circ, 60^\circ, 75^\circ, 90^\circ$

b/ $\psi = 46^\circ$

zde podle statě III, obr.7, obr.8 máme

$$q = s_{Istř} = 77,670 \text{ g/cm} = 0,077 \text{ kg/cm}$$

a tedy reakce podle /30/

$$R_B = R_A = 0,077 \cdot \frac{(31,5)^2}{42} - 0,077 \cdot \frac{10,5^2}{42} - [0,497 \cdot \frac{31,5}{21} +$$

$$+ 3,63 \frac{1}{2} - 0,497 \cdot \frac{10,5}{21}] 0,71934 = -0,037 \text{ kg}$$

$$S_{Istř} = 0,077 \text{ kg/cm}$$

máme-li reakce, zjistíme si velikost posouvajících
sil a ohýbových momentů

ad 1/ pro $x = a$, z rov./22/ plyne

$$M_1 = 0,077 \cdot \frac{10,5^2}{2} - 0,497 \cdot 10,5 \cdot 0,71934 = 0,49 \text{ kg cm}$$

ad 2/ pro $x = 1/2 + a$

$$M_2 = 0,077 \cdot \frac{21^2}{2} - 0,497 \cdot 0,71934 \cdot 21 + 0,037 \cdot 10,5 = 9,939 \text{ kg cm}$$

Pro ohýbové momenty M_1 a M_2 dosatneme ohýbové napě-

tí z rov./28/ pro M_1 je

$$F_{\eta_1} = \frac{0,49}{10} = 0,327 \text{ kg/cm}^2$$

$$M_1 = 0,49 \text{ kg cm}$$

$$M_2 = 9,939 \text{ kg cm}$$

VŠST LIBEREC

Kinematické a dynamické po-
šouzení lámacího a stíracího
ustrojí pro přípravu stonku
k získání dlouhého vlákna

DP — STR. 77

9. ŘÍJNA 1965

František Sassmann

$$q = s_{Istř} = 77,670 \text{ g/cm} = 0,077 \text{ kg/cm}$$

$$s_{Istř} = 0,077 \text{ kg/cm}$$

a tedy reakce podle /30/

$$R_B = R_A = 0,077 \cdot \frac{(31,5)^2}{42} - 0,077 \cdot \frac{10,5^2}{42} - [0,497 \cdot \frac{31,5}{21} + 3,63 \frac{1}{2} - 0,497 \cdot \frac{10,5}{21}] 0,71934 = -0,037 \text{ kg}$$

$$R_B = R_A = \\ = -0,037 \text{ kg}$$

máme-li reakce, zjistíme si velikost posouvajících sil a chybových momentů

ad 1/ pro $x = a$, z rov. /32/ plyne

$$M_1 = 0,077 \cdot \frac{10,5^2}{2} - 0,497 \cdot 10,5 \cdot 0,71934 = 0,49 \text{ kgcm}$$

$$M_1 = 0,49 \text{ kgcm}$$

ad 2/ pro $x = 1/2 + a$

$$M_2 = 0,077 \cdot \frac{21^2}{2} - 0,497 \cdot 0,71934 \cdot 21 + 0,037 \cdot 10,5 = 9,939 \text{ kgcm}$$

$$M_2 = 9,939 \text{ kgcm}$$

Pro chybové momenty M_1 a M_2 dosatneme chybové napětí z rov. /28/ pro M_1 je

$$\Gamma_{01} = \frac{0,49}{9,5} = 0,327 \text{ kg/cm}^2$$

$$\Gamma_{01} = 0,327 \text{ kg/cm}^2$$

pro M_2 je

$$\Gamma_{02} = \frac{9,939}{1,5} = 6,260 \text{ kg/cm}^2$$

$$\Gamma_{02} = 6,260 \text{ kg/cm}^2$$

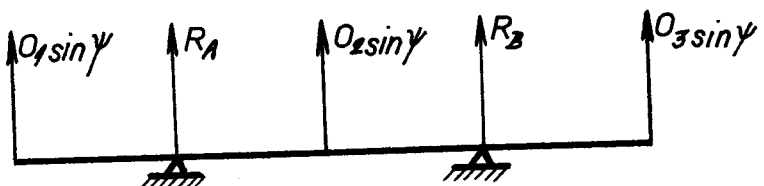
Celou tuto oblast /b/ shrneme do tabulky obr. /IV/ II

		$\psi = 46^\circ$	$\psi = 60^\circ$	$\psi = 75^\circ$	$\psi = 90^\circ$
R_A	kg	-0,037	-0,120	-1,260	-2,144
R_B	kg	-0,037	-0,120	-1,260	-2,144
M_1	kgcm	0,490	0,100	-2,520	-4,785
M_2	kgcm	9,939	11,660	13,320	13,820
Γ_{01}	kg/cm ²	0,327	0,667	-1,680	-3,260
Γ_{02}	kg/cm ²	6,260	7,785	8,900	9,225

obr./IV/ 11

oblast c/ $\gamma = 90^\circ \div 180^\circ$

V této oblasti jsou vibrační nože opět mimo pracovní úsek a síly, které způsobují namáhání nožů, jsou opět jen síly odstředivé, viz obr. /IV/I2.



obr./IV/I2

rovnice si zde odvozovat nebudeme. Jsou totiž zcela shodné, jako v oblasti /A/. Řešení zde provedené je podle rov. I8, I9, 20, 21, 22, 23, 27, 28. Též víme, že např. $\sin 150^\circ = \sin 30^\circ$ či $\sin 90^\circ = \sin 60^\circ$ atd.

Sledujeme namáhání v těchto polohách kliky,

$$\gamma = 90^\circ, \gamma = 120^\circ, 150^\circ, \text{ a } \gamma = 180^\circ.$$

ca/ $\gamma = 90^\circ$

reakce počítáme podle rov./I8/ resp./I9/

$$R_A = R_B = \left[0,497 \cdot \frac{10,5}{21} - 3,63 \frac{1}{2} - 0,397 \cdot \frac{39,5}{21} \right] \cdot 1 = -2,311 \text{ kg}$$

$$R_A = R_B =$$

$$= -2,311 \text{ kg}$$

a ohybové momenty řešíme podle rov./21/a/23/, pro

$$x = a$$

$$M_1 = -0,497 \cdot 1 \cdot 10,5 = -5,225 \text{ kg cm}$$

$$M_1 = -5,225 \text{ kg cm}$$

$$\text{pro } x = 1/2 + a$$

$$M_2 = -0,497 \cdot 1 \cdot 21 + 2,311 \cdot 10,5 = 13,875 \text{ kg cm}$$

$$M_2 = 13,875 \text{ kg cm}$$

K těmto ohybovým momentům dostaneme podle rov/27/

a rov /28/ tyto napětí

$$\text{pro } M_1 \quad \sigma_{01} = -\frac{5,225}{1,5} = -3,48 \text{ kg/cm}^2$$

$$\sigma_{01} = -3,48 \text{ kg/cm}^2$$

pro M_2

$$\sqrt{t_{02}} = \frac{13,875}{1,5} = 9,25 \text{ kg/cm}^2$$

$$\sqrt{t_{02}} = 9,25 \text{ kg/cm}^2$$

oblast /c/ shrneme do tabulky obr./IV/I3

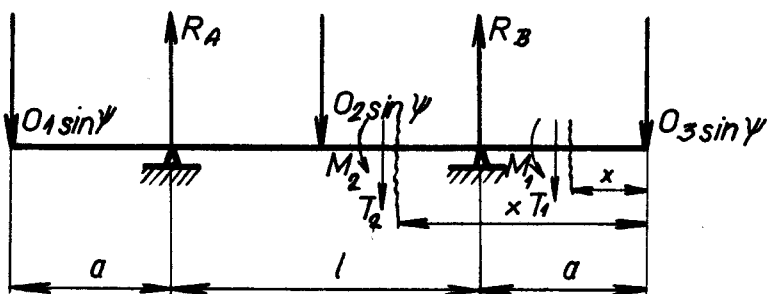
		$\gamma = 90^\circ$	$\gamma = 120^\circ$	$\gamma = 150^\circ$	$\gamma = 180^\circ$
R_A	kg	-2,311	-2,005	-1,155	0
R_B	kg	-2,311	-2,005	-1,155	0
M_1	kgcm	-5,225	-4,548	-2,615	0
M_2	kgcm	13,875	12,040	6,925	0
$\sqrt{t_{01}}$	kg/cm ²	-3,480	-3,010	-1,740	0
$\sqrt{t_{02}}$	kg/cm ²	9,250	8,050	4,620	0

obr./IV/I3

oblast d/ $\gamma = 180^\circ \div 0^\circ$

V těchto polohách nožů působí pouze síly odstředivé. Jejich smysl je opačný, než pro $\gamma = 0^\circ \div 180^\circ$.

Řešení se provádí podle obr./IV/ I4



obr./IV/I4

podle těchto rovnic

$$/34/ R_A + R_B = [O_1 + O_2 + O_3] \sin \gamma$$

$$R_3 \cdot l - O_3 (l+a) \sin \gamma - O_2 \cdot \sin \gamma \frac{l}{2} + O_1 \sin \gamma \cdot a = 0$$

$$\text{resp. } R_3 = \left[O_3 \frac{(l+a)}{l} + O_2 \frac{1}{2} - O_1 \frac{a}{l} \right] \sin \gamma$$

pro posuvající síly a ohýbové momenty píšeme

I/ pro $0 \leq x \leq a$

/35/

$$T_1 = -O_3 \sin \gamma, \quad M_1 = O_3 \sin \gamma \cdot x$$

2/ pro $a \leq x \leq \frac{l}{2}$

$$/35/ \quad T_2 = R_3 - O_3 \sin \gamma$$

$$M_2 = O_3 \sin \gamma \cdot x - R_3 (x-a)$$

Velikost napětí pro tyto ohýbové momenty M_1, M_2
se určí podle rov. 27, 28.

Číselný výpočet provedeme pro $\gamma = 210^\circ, 240^\circ, 270^\circ, 300^\circ, 330^\circ$ a $\gamma = 360^\circ \equiv 0^\circ$. Pro $\gamma = 180^\circ$ již byl výpočet proveden.

da/ $\gamma = 210^\circ$

z rovnice /34/ po dosazení dostaneme

$$R_A = R_B = \left[0,497 \frac{39,5}{21} + 3,63 \cdot \frac{1}{2} - 0,397 \frac{10,5}{21} \right] \cdot 0,5 = \\ = 1,1555 \text{ kg}$$

$$R_A = R_B = \\ = 1,1555 \text{ kg}$$

nyní si dosadíme do rov. /35/, rov. /36/ a tím dostaneme hodnoty posuvajících sil, ohýbových momentů

I/ pro $0 \leq x \leq a$ je z rov. /35/

$$M_1 = 0,497 \cdot 0,5 \cdot 10,5 = 2,610 \text{ kg cm}$$

$$M_1 = 2,610 \\ \underline{\underline{\text{kg cm}}}$$

2/ pro $a \leq x \leq \frac{l}{2}$ je z rov. /36/

$$M_2 = 0,497 \cdot 0,5 \cdot 21 - 1,155 \cdot 10,5 = -6,925 \text{ kg cm}$$

$$M_2 = -6,925 \\ \underline{\underline{\text{kg cm}}}$$

ke zjištění napětí T_{O_1} a T_{O_2} použijeme rov. /27/,

a /28/, lze tedy psát

$$\sigma_{0_1} = \frac{2,61}{1,5} = 1,730 \text{ kg/cm}^2$$

$$\sigma_{0_2} = -\frac{4,325}{1,5} = -4,620 \text{ kg/cm}^2$$

$$\sigma_{0_1} = 1,730 \text{ kg/cm}^2$$

$$\sigma_{0_2} = -4,620 \text{ kg/cm}^2$$

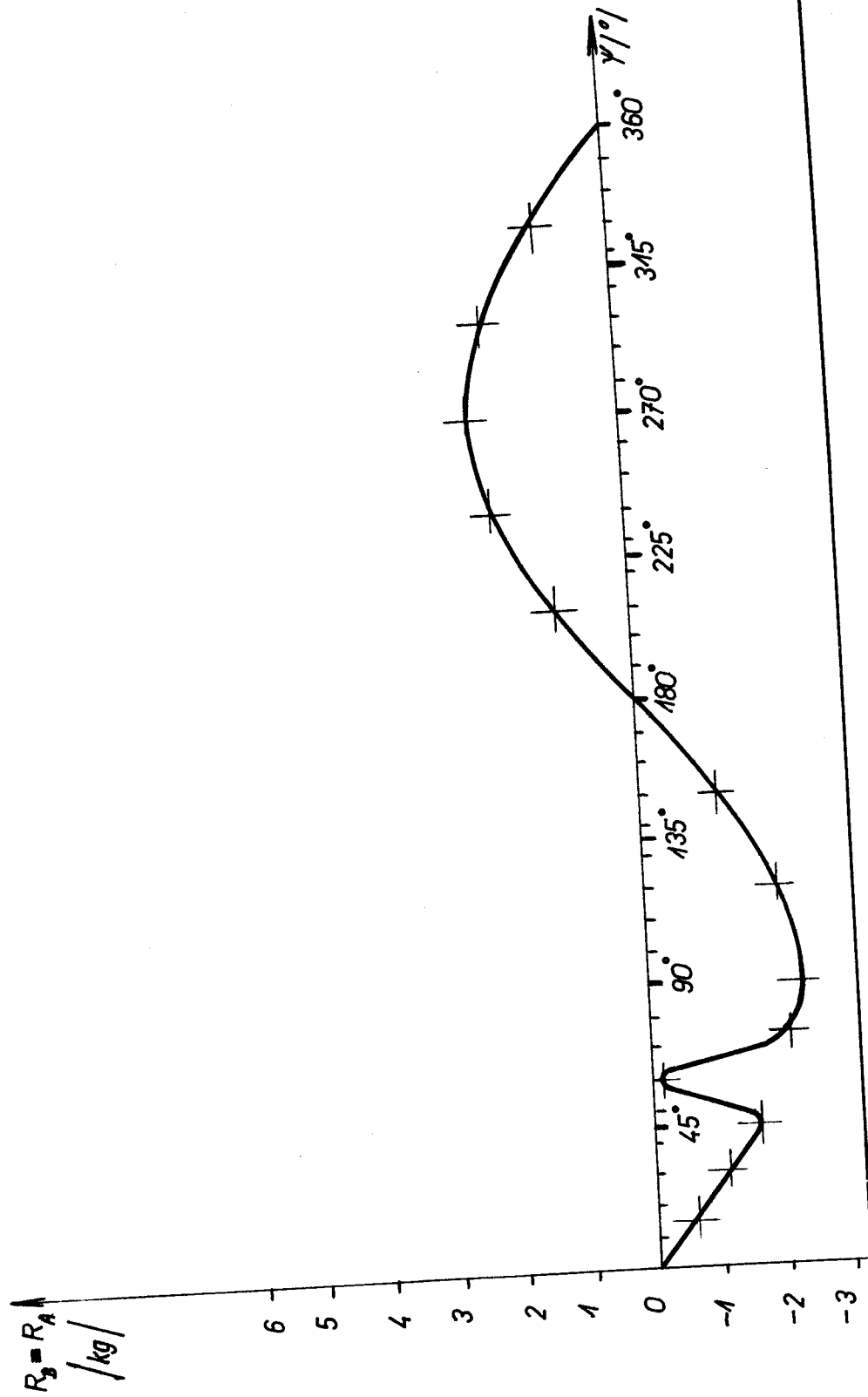
Oblast/d/ shrneme do tabulky obr./IV/I5

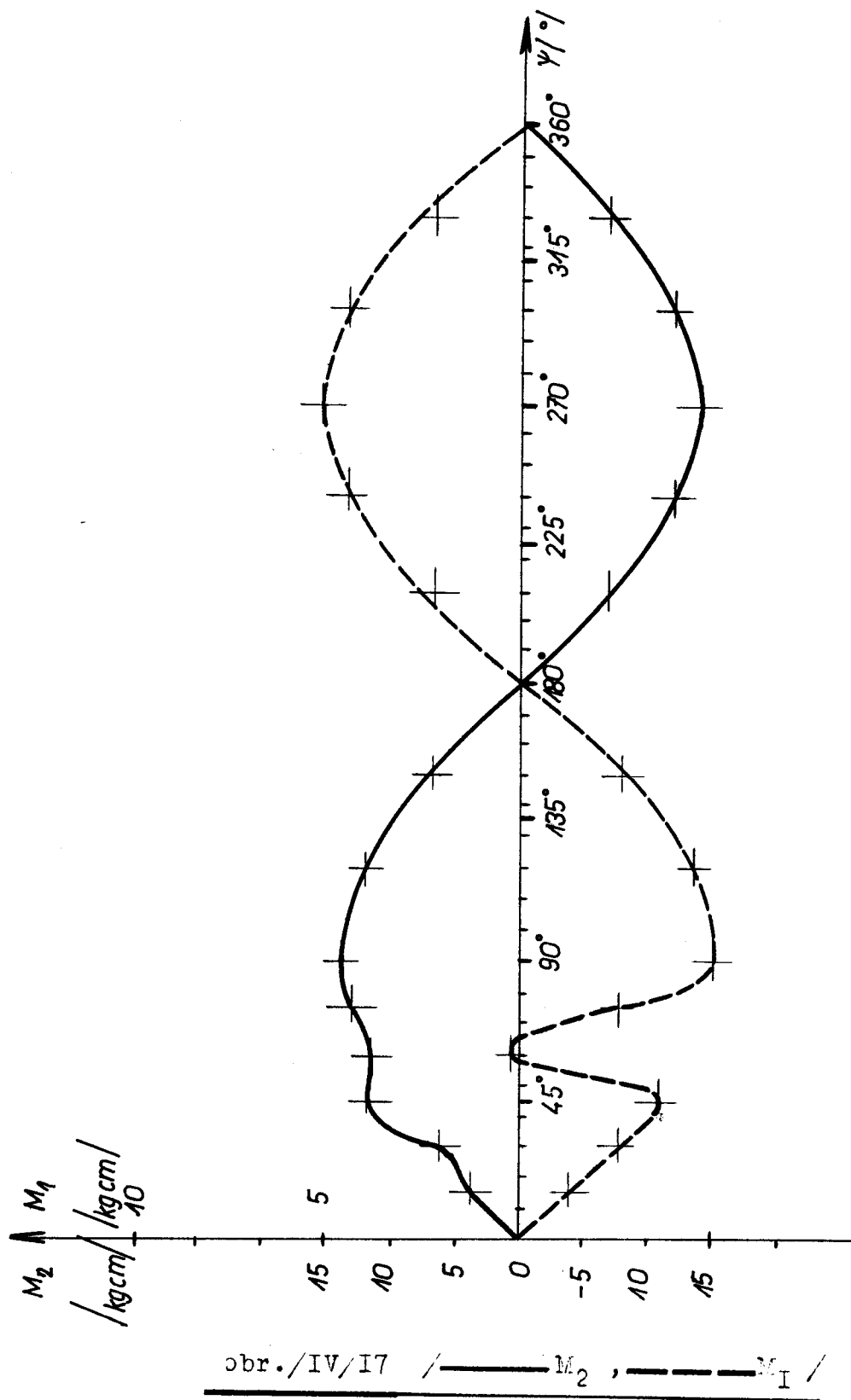
	$\gamma=180^\circ$	$\gamma=210^\circ$	$\gamma=240^\circ$	$\gamma=270^\circ$	$\gamma=300^\circ$	$\gamma=330^\circ$	$\gamma=360^\circ=0$	
R_A	kg	0,000	1,155	2,005	2,344	2,005	1,155	0
R_B	kg	0,000	1,155	2,005	2,344	2,005	1,155	0
M_1	kgcm	0,000	2,610	4,518	5,225	4,518	2,610	0
M_2	kgcm	0,000	-6,925	-12,840	-13,875	-12,040	-6,925	0
σ_{0_1}	kg/cm ²	0,000	1,740	3,010	3,480	3,010	1,740	0
σ_{0_2}	kg/cm ²	0,000	-4,325	-8,050	-9,250	-8,050	-4,325	0

obr./IV/I5

Abychom měli dokonalou představu o vypočtených reakcích a napětích, zakreslíme si některé nejvýznamější hodnoty do grafů obr./IV/I6 a obr./IV/I7.

Plynulý průběh křivek v obr./IV/I6 a obr./IV/I7 je vždy narušen mezi počtem kliky $\gamma=45^\circ \div \gamma=90^\circ$, to jest tedy v oblasti, kdy vibrační nože jsou v pracovní činnosti/přesněji řečeno, kdy nastává vlastní lámání stonků/. Na reakci R_A , resp. R_B se to projeví tím, že v jednom okamžiku/pro $\gamma=60^\circ$ / nastane pokles záporných hodnot téměř na nulu. Ostatní část grafu není nicméně zajímavá, je to vlastně pravidelná sinusovka. Pro ohýbové momenty M_1, M_2

obr. / I¹ / 16



viz obr/IV/I7, platí též, že průběh je narušen mezi polohami kliky $\psi = 45^\circ \div 90^\circ$. Je to opět vlivem sil, které vznikají při vlastním lámání stonků. Všimněme-li si souřadnicových os, především osy na níž nanášíme velikosti ohýbových momentů/v kgcm/ vidíme, že nože jsou bohatě címenovány, a tedy nehraci nebezpečí destrukce. Přesto si spočítejme bezpečnost s, která nám udává poměr, mezi \tilde{V}_c /napětím na mezi únavy/a naší největší hodnotou amplitudy střídavého napětí \tilde{V}_{0_2} /resp. M_2 /

/37/

$$S = \frac{\tilde{V}_c}{\tilde{V}_{0_2}}$$

Dle prof. Meduny vezmeme za \tilde{V}_c tuto hodnotu s ohledem na použitý materiál nožů/II 370/

$$\tilde{V}_c = 0,25 \cdot \tilde{V}_{pt}$$

pro II 370 je

$$\tilde{V}_{pt} = 3700 \text{ kg/cm}^2$$

a tedy

$$\tilde{V}_c = 0,25 \cdot 3700 = 925 \text{ kg/cm}^2$$

$$\tilde{V}_{pt} = 3700 \text{ kg/cm}^2$$

$$\tilde{V}_c = 925 \text{ kg/cm}^2$$

z grafu si ještě odečteme nejvyšší hodnoty ohýbového momentu M_2

$$\underline{M_2 = 13,875}$$

tomu přísluší napětí

$$\tilde{V}_{0_2} = \frac{13,875}{1,5} = 9,25 \text{ kg/cm}^2$$

$$\tilde{V}_{0_2} = 9,25 \text{ kg/cm}^2$$

dosaďme-li nyní uvedené hodnoty do rov/37/ bude

$$S = \frac{925}{9,25} = \underline{100}$$

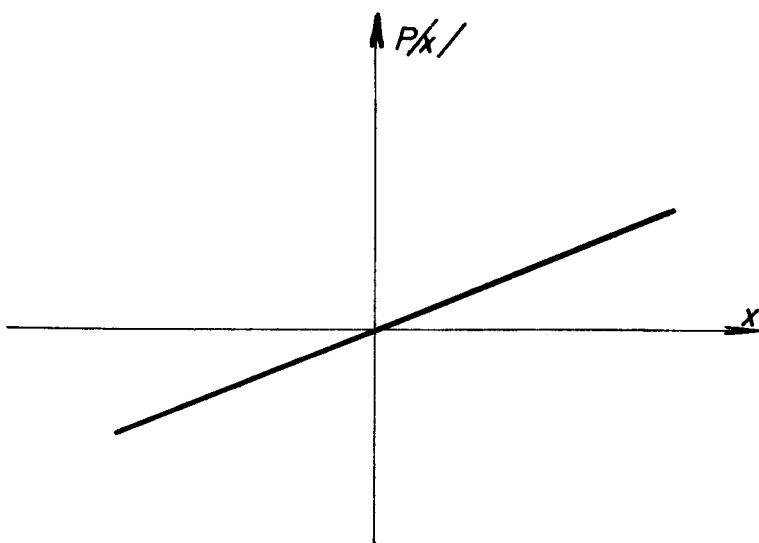
$$S = 100$$

Sama velikost bezpečnosti/s/říká, jak bohatou rezervu máme v namáhání vibračních nožů.

3/ Kmitání nožů ve směru vedení

V této skupině problémů se budeme zabývat případy, popsanými lineárními diferenciálními rovnicemi. Řešení lineárních diferenciálních rovnic má některé důležité vlastnosti, které usnadňují výpočet. Platí zde např., že řešení nehomogenní diferenciální rovnice je součtem obecného integrálu zkrácené diferenciální rovnice/t.j. bez pravé strany/ a řešení partikulárního, které najdeme nejčastěji zkusmo podle tvaru pravé strany rovnice, nebo řešením přesným, jež je dáno předepsanými matematickými úkony. Existují-li nezávislá řešení určité lineární diferenciální rovnice, je jejich lineární kombinace rovněž řešením. Pro řešení lineárních rovnic platí důležitý princip superposice, že totiž kmity vyvolané několika periodicky proměnnými silami jsou součtem kmitů vyvolaných každou silou jednotlivě. Tak je řešen i nás případ, kdy je kmitání vyvolané zcela obecnou periodicky proměnnou budící silou. Než dojdeme k tomuto poslednímu případu, kdy nastává vynucené kmitání obecnou periodicky proměnnou silou, budeme hledat závislosti kmitání soustavy za chodu stroje naprázdně, atd... Je tedy nutno rozdělit tuto skupinu problémů ještě na tyto úseky,

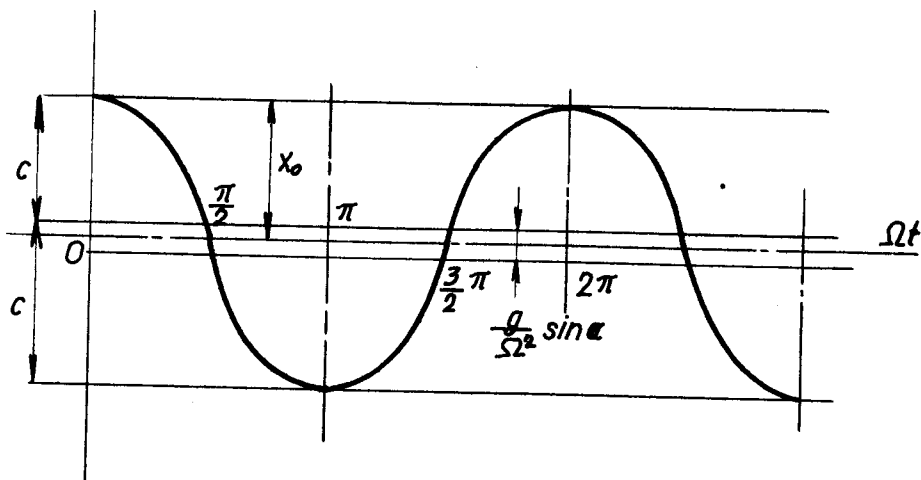
a/ řešení volného kmitání-tj. řešení pohybové
rovnice pro netluměný kmitavý pohyb

b/ řešení volného kmitání tlumenéhoc/ řešení tlumeného vynuceného kmitání za chod-du stroje naprázdno. U tchoto budu a u bo-du /b/ se spokojíme s vyjádřením jejich
konečných rovnicd/ řešení tlumeného vynuceného kmitání přichodu stroje za provozního zatížení-tj. ře-šení pohybové diferenciální rovnice sousta-vy za působení obecné periodicky proměnné
budící síly.Průběh sil v závislosti na výchylce $/x/$ obr./IV/I8

Podle obr./IV/I8 vidíme, že hmota je vložena mezi dvě tlačné pružiny, to znamená, že vyvázují pouze direkční tlačné síly $/S/$. Činnost pružin se tedy střídá v rytmu pohybu hmoty/resp. vibračního nože/. V levé krajní poloze působí direkční tlačnou silou $/S/$ levá pružina a v pravé krajní poloze pů-

sobí direkční tlačnou silou /S/ pouze pravá pružina. Obě pružiny mají stejnou hodnotu $k = 15 \text{ kg/cm}$ /pružinová konstanta/ pro vibrační nože I a k = 28 kg/cm u vibračních nožů 2,3 - viz statě III obr.5.

a/ řešení volného kmitání



obr./IV/21

Pro tento případ kmitání si lze představit, jako kdybychom zafixovali tělesa 2,3,5,6, stačili hmotu některým směrem a pak tuto hmotu pustili. Hmotu začne kmitat v rytmu působení círekých tlačných sil pružin. Pro tento případ neuvažujeme žádné tření.

řešení rovnic provedeme podle obr./IV/19
pohybová rovnice je

$$/38/ \quad ma = -kx \pm mg \sin \alpha$$

tedy $m \frac{d^2x}{dt^2} + kx \pm mgsin\alpha = 0$

podělíme-li hmotou m

$$\frac{d^2x}{dt^2} + \frac{k}{m} \cdot x = \pm mgsin\alpha$$

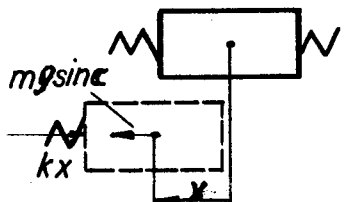
zavedeme-li

/39/ $\frac{k}{m} = \Omega^2$

píšeme

/40/ $\frac{d^2x}{dt^2} + \Omega^2 x = \pm mgsin\alpha$

kde pro levou krajní polohu platí dle obr./IV/20a

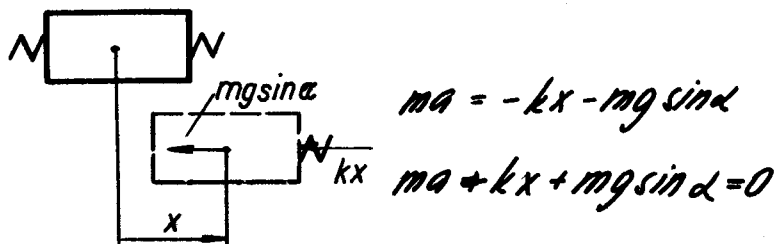


$$ma = -kx + mgsin\alpha$$

$$ma + kx - mgsin\alpha = 0$$

obr./IV/20a

a pro pravou krajní polohu platí dle obr./IV/20b



$$ma = -kx - mgsin\alpha$$

$$ma + kx + mgsin\alpha = 0$$

obr./IV/20b

rovnice /40/ je nehomogenní diferenciální rovnice druhého rádu, kde její obecný integrál je složen z integrálu homogenní rovnice x_h /rovnice bez pravé strany/ a z partikulárního integrálu x_p .

Obecné řešení lze psát

/41/

$$x = x_h + x_p$$

charakteristická rovnice homogenní diferenciální
rovnice /40/ je

$$\lambda^2 + \Omega^2 = 0 \Rightarrow \lambda_{1,2} = \pm i\Omega$$

tedy partikulární integrál je dán

$$/42/ \quad x_h = a_1 \cos \Omega t + a_2 \sin \Omega t$$

a obecný integrál rovnice /40/ je

$$/43/ \quad x = x_p + a_1 \cos \Omega t + a_2 \sin \Omega t$$

přičemž x_p najdeme metodou variace konstant/viz

Rektorys "Přehled užité matematiky" str. 648/pak

soustava má tvar

$$a_1' \cos \Omega t + a_2' \sin \Omega t = 0 \Rightarrow a_2' = -a_1' \frac{\cos \Omega t}{\sin \Omega t}$$

$$-a_1' \Omega \sin \Omega t + a_2' \Omega \cos \Omega t = \pm mg \frac{1}{m} \sin \Omega t$$

$$-a_1' \Omega \sin \Omega t - a_2' \Omega \frac{\cos \Omega t}{\sin \Omega t} \cdot \cos \Omega t = \pm g \sin \Omega t$$

$$-a_1' \Omega \sin^2 \Omega t - a_2' \Omega \cos^2 \Omega t = \pm g \sin \Omega t \sin \Omega t$$

$$-a_1' \Omega (\sin^2 \Omega t + \cos^2 \Omega t) = \pm g \sin \Omega t \sin \Omega t$$

$$a_1' = \pm \frac{g}{\Omega} \sin \Omega t \sin \Omega t$$

provedeme nyní integraci

$$a_1 = \pm \int \frac{g}{\Omega} \sin \Omega t \sin \Omega t dt = \pm \frac{g}{\Omega} \sin \Omega t \int \sin \Omega t dt$$

$$a_1(t) = \pm \frac{g}{\Omega} \sin \Omega t \frac{1}{\Omega} \cos \Omega t = \pm \frac{g}{\Omega^2} \sin \Omega t \cos \Omega t$$

konstantu a_2 najdeme obdobně

$$a_2' = \pm \frac{g}{\Omega} \sin \Omega t \sin \Omega t \frac{\cos \Omega t}{\sin \Omega t} = \pm \frac{g}{\Omega} \sin \Omega t \cos \Omega t$$

integrujeme

$$q_2/t) = \pm \frac{g}{\Omega^2} \sin d \sin \Omega t$$

pak bude

$$x_p = \pm \frac{g}{\Omega^2} \sin d \cos^2 \Omega t \pm \frac{g}{\Omega^2} \sin d \sin^2 \Omega t = \pm \frac{g}{\Omega^2} \sin d$$

a obecný integrál je podle /43/

$$/44/ x = \pm \frac{g}{\Omega^2} \sin d + a_1 \cos \Omega t + a_2 \sin \Omega t$$

pro určení integračních konstant a_1 , a_2 mějme

tyto počáteční podmínky

$$t = 0, \dots x = x_0, v = 0$$

tedy

$$\frac{dx}{dt} = 0 = -a_2 \sin \Omega t \cdot \Omega + a_2 \Omega \cos \Omega t$$

a pro $t = 0$ je $a_2 = 0$

pro $t = 0, x = x_0$ plyně

$$x_0 = \pm \frac{g}{\Omega^2} \sin d = a_1$$

pak

$$x = \pm \frac{g}{\Omega^2} \sin d + (x_0 \pm \frac{g}{\Omega^2} \sin d) \cos \Omega t = \\ = \pm \frac{g}{\Omega^2} \sin d \pm \frac{g}{\Omega^2} \sin d \cos \Omega t + x_0 \cos \Omega t$$

resp.

$$/45/ x = C \cos \Omega t \pm \frac{g}{\Omega^2} \sin d$$

kde

$$C = x_0 \pm \frac{g}{\Omega^2} \sin d$$

pro pohyb do levé krajní polohy bude

$$C = x_0 - \frac{g}{\Omega^2} \sin d = x_0 - \frac{g}{\Omega^2} \sin x$$

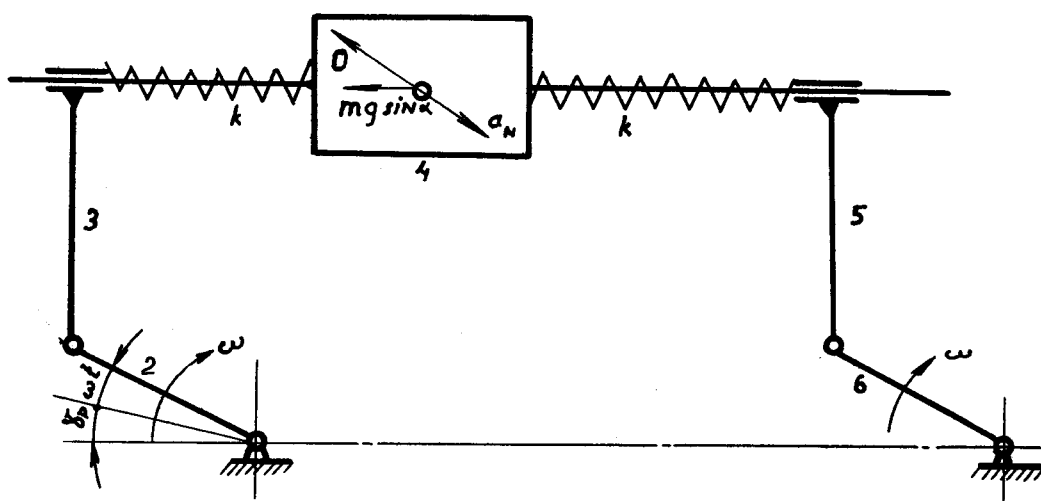
$$x = C \cos \Omega t + \frac{g}{\Omega^2} \sin d$$

Pohyb znázorňuje kosinusovka posunutá vzhledem

k osi vzhůru o $\frac{g}{\Omega^2} \sin d$. Je tedy zřejmé, že v jednotlivých fázích jde stále o harmonický pohyb s

frekvencí ω , avšak k centru střídavě posunutému

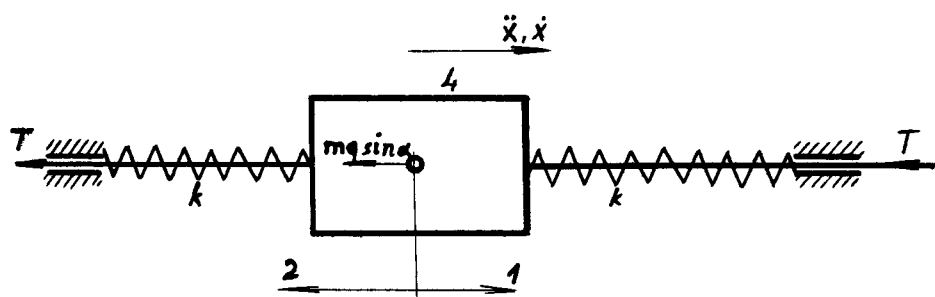
$$\omega = \frac{g}{\Omega^2} \sin \alpha \text{ viz obr. IV/21}$$



obr./IV/19

b/ řešení volného tlumeného kmitání

Hmota se smýká po vedení vibračního nože a proti jeho pohybu působí vždy kromě direkční tlačné síly ještě stálá síla, smýková, třecí síla $T = mg \cos \alpha / 2$



obr./IV/22

napišme si pohybové rovnice pro pohyb ve smyslu směru I a 2. Ve smyslu I $ma = -kx - mg \sin \alpha - mg \cos \alpha \omega^2$

/46/ ve smyslu 2 $ma = -kx + mgsind + mgfcasd$
 souhrně lze psát

/47/ $ma = -kx \pm mgsind \pm mgfcasd$

dělíme-li rovnici na otou m

/48/ $\frac{d^2x}{dt^2} + \Omega^2 \pm g sind \pm gf cosd = 0$

kde opět $\Omega^2 = \frac{k}{m}$

obecný integrál rovnice /46/ je opět

/49/ $x = x_p + a_1 \cos \Omega t + a_2 \sin \Omega t$

provedeme opět variaci konstant jako v předešlém
 případě

$$a_1' \cos \Omega t + a_2' \sin \Omega t = 0 \Rightarrow a_2' = -a_1' \frac{\cos \Omega t}{\sin \Omega t}$$

$$-a_1' \Omega \sin \Omega t + a_2' \Omega \cos \Omega t = \pm g sined \pm gf cosd$$

tedy

$$-a_1' \Omega \sin \Omega t - a_1' \frac{\cos \Omega t}{\sin \Omega t} \cdot \Omega \cos \Omega t = \pm g sined \pm gf cosd$$

$$-a_1' \Omega (\sin^2 \Omega t + \cos^2 \Omega t) = \pm g sined \sin \Omega t \pm gf cosd \sin \Omega t$$

$$a_1' = \left[\mp \frac{g}{\Omega} \sin \Omega t \pm \frac{g}{\Omega} \frac{\cos d}{\sin d} \sin \Omega t \right] \cdot \sin d$$

a integrací dostaneme

$$a_1 = \pm \frac{g}{\Omega^2} \sin d \cos \Omega t \pm \frac{g}{\Omega^2} \cos d \cos \Omega t$$

obdobně získáme konstantu a₂

$$a_2' = \pm \frac{g \cdot \sin d}{\Omega} \cdot \frac{\cos \Omega t}{\sin \Omega t} \cdot \sin \Omega t \pm \frac{g}{\Omega} \cos d \sin \Omega t.$$

$$\cdot \frac{\cos \Omega t}{\sin \Omega t} = \pm \frac{g \cdot \sin d}{\Omega} \cos \Omega t / (\pi + f) \pm \frac{gf}{\Omega} \cos d \cos \Omega t$$

integrujeme

$$a_2 = \pm \frac{g}{\Omega^2} \sin d \sin \Omega t \pm \frac{g}{\Omega^2} f \cos d \sin \Omega t$$

a tedy x_p bude

$$x_p = \pm \frac{g}{\Omega^2} \sin d \cos \Omega t \pm \frac{gf}{\Omega^2} \cos d \sin \Omega t \sin \Omega t$$

úpravou

$$x_p = \pm \frac{g}{\Omega^2} \sin d \cos^2 \Omega t \pm \frac{g}{\Omega^2} f \cos d \sin^2 \Omega t$$

a obecný integrál je podle /49/

$$x = \pm \frac{g}{\Omega^2} \sin d \cos^2 \Omega t \pm \frac{g}{\Omega^2} f \cos d \sin^2 \Omega t +$$

$$+ q_1 \cos \Omega t + q_2 \sin \Omega t$$

pro počáteční podmínky

$t = 0$, ... $x = x_0$, $v = 0$, tj. bod je v pravé krajní

pro $t=0$ a $x = x_0$ položme

$$x_0 = \pm \frac{g}{\Omega^2} \sin d + q_1$$

tedy a₁

$$q_1 = x_0 \pm \frac{g}{\Omega^2} \sin d$$

$$\frac{dx}{dt} = v = 0 = \pm \frac{g}{\Omega^2} \sin d 2 \cos \Omega t \sin \Omega t \cdot \Omega \pm \frac{g}{\Omega^2} f \cos d$$

$$2 \sin^2 \Omega t \cos \Omega t \cdot \Omega + q_1 \sin \Omega t \cdot \Omega + q_2 \cos \Omega t \cdot \Omega$$

plvne a₂ = 0

a výsledný pohyb je dán vztahem

$$/50/ \quad x = \pm \frac{g}{\Omega^2} \sin d \cos^2 \Omega t \pm \frac{g}{\Omega^2} f \cos d \sin^2 \Omega t +$$

$$+ \left(x_0 \pm \frac{g}{\Omega^2} \sin d \right) \cos \Omega t$$

Tento průběh není zcela názorný, a proto jsme mohli postupovat jednodušší formou, a to následovně, mějme původní diferenciální rovnici /48/

$$\frac{dx}{dt^2} + \Omega^2 x = \pm \frac{g}{l} \sin d \pm \frac{g}{l} f \cos d = 0$$

a položme si $\pm g \sin d \pm g \cos f = P$

pak je obecný integrál ve formě jako ve statci /a/

$$x = \int \sin(\Omega t + \varphi) dt$$

a od tuž

$$\frac{dx}{dt} = v = \int \cos(\Omega t + \varphi) \cdot \Omega dt$$

Jelikož pro uvedení počáteční počáteční podmínky je bod v pravé krajní poloze, bude se pohybovat vlevo. Prvou fází pohybu přísluší znaménko plus.

$$x_0 = C \sin \varphi + p$$

$$0 = C \cos \varphi - \Omega$$

od tuž

$$p = \frac{\pi}{2} \quad C = x_0 - p$$

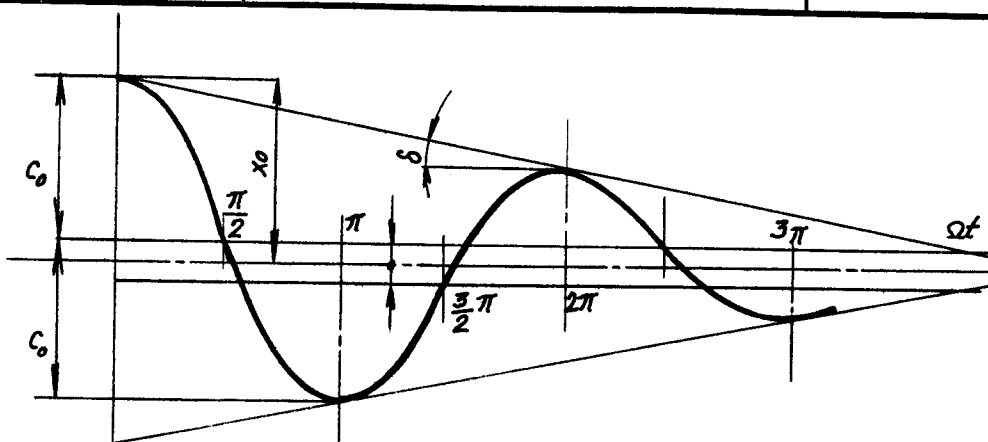
a tedy lze psát pro pohyb z pravé do levé krajní polohy

$$x = (x_0 - p) \cdot \cos \Omega t + p$$

dosaďme-li nyní za p

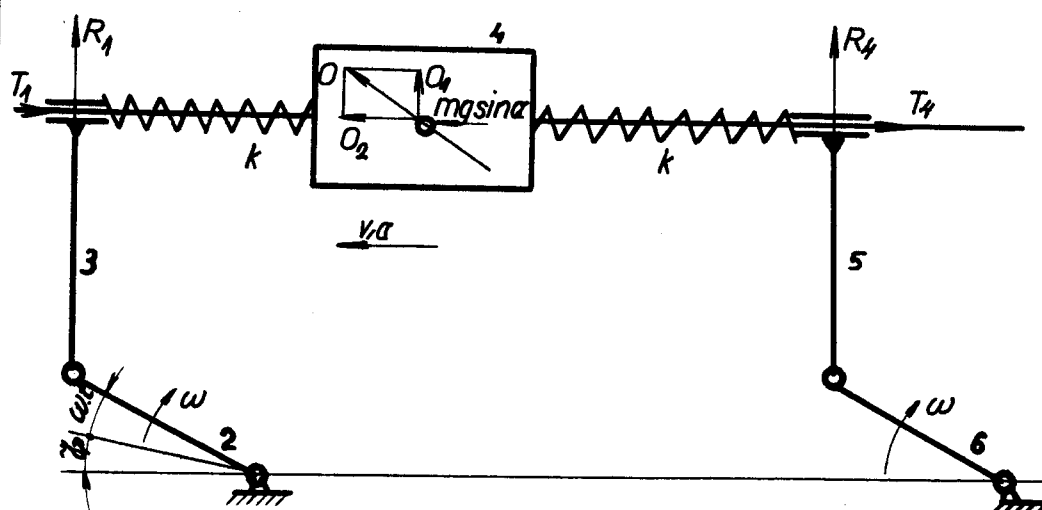
$$/51/ \quad x = \left(x_0 - \frac{g}{\Omega^2} \sin \varphi - \frac{g}{\Omega^2} \cos \varphi \right) \cos \Omega t + \\ + \frac{g}{\Omega^2} \sin \varphi + \frac{g}{\Omega^2} \cos \varphi$$

Pro tento pohyb z pravé polohy do levé, znázorňuje pohyb opět kosinusovka viz obr. /IV, 23 posunutá vzhledem k osi o p. Z levé krajní polohy do pravé by to byla opět kosinusovka posunutá dolů o p. Amplitudy ubývá podle přímky jejíž směrnice je $\operatorname{tg} \delta = \frac{g}{\Omega^2}$ a zastavení pohybu je určeno vrcholem příslušné kosinusovky, jenž prý padne do pásmat p



obr./IV/23

c/ řešení tlumeného vynuceného kmitání za pře-
chodu stroje naprázdno



obr./IV/24

Účinek mechanismu na těleso 4 je ekvivalentní s touto představou zatížení tělesa 4. Na těleso 4 působí odstředivá síla $O = m \cdot a_N$ kde $a_N = r \omega^2$. Odstředivá síla má dvě složky O_1 a O_2 . Složka O_1 , tedy složka kolmá na směr pohybu, způsobuje proměnnou velikost třetí síly T_1 , resp T_4 . Budeme zde uvažovat těleso 4 dokonale tuhé. Druhá složka O_2 působí ve směru posuvného pohybu tělesa 4 vůči tě-

VŠST LIBEREC	Kinematické a dynamické po- šouzení lámacího a stíracího ustrojí pro přípravu stonku k získání dlouhého vlákna	DP — STR. 9 9. ŘÍJNA 1965 František Bassmann
--------------	---	--

lēsu 3 a tělesu 5.

Složka O_1 má velikost

$$O_1 = mr\omega^2 \sin(\omega t + \beta_p)$$

a složka O_2 má velikost

$$O_2 = mr\omega^2 \cos(\omega t + \beta_p)$$

Z obr./IV/24 je zřejmé, že

$${}^4R_1 + {}^4R_2 = -O_1 = -mr\omega^2 \sin(\omega t + \beta_p)$$

kde

$$T_1 + T_4 = ({}^4R_1 + {}^4R_2) f = -mr\omega^2 f \sin(\omega t + \beta_p)$$

nyní sestavme pohybové rovnice

$$/52/ ma = -kx - T_c + mgsind + O_2 \cos(\omega t + \beta_p)$$

upravíme a dcsadíme

$$m \frac{d^2x}{dt^2} + kx = mgsind + mr\omega^2 f \sin(\omega t + \beta_p) + \\ + mr\omega^2 \cos(\omega t + \beta_p)$$

tedy

$$/53/ \frac{d^2x}{dt^2} + \Omega^2 x = g \sin d + r\omega^2 f \sin(\omega t + \beta_p) + r\omega^2 \cos(\omega t + \beta_p)$$

je nehomogenní diferenciální rovnice druhého řádu

kde

$$\Omega^2 = \frac{k}{m}$$

a tedy

$$/54/ \Omega = \sqrt{\frac{k}{m}}$$

je vlastní frekvence

řešení diferenciální rovnice /53/ je

$$/55/ x = x_p + x_h$$

kde jsme si již odvodili v předešlých případech

$$/56/ x_h = a_1 \cos \Omega t + a_2 \sin \Omega t$$

a tedy obecný integrál je

$$/57/ \quad x = x_0 + a_1 \cos \Omega t + a_2 \sin \Omega t$$

provedeme opět variaci konstant

$$\begin{aligned} a_1' \cos \Omega t + a_2' \sin \Omega t &= 0 \Rightarrow a_2' = -a_1' \frac{\cos \Omega t}{\sin \Omega t} \\ -a_1' \Omega \sin \Omega t + a_2' \Omega \cos \Omega t &= g \sin \alpha + rw^2 f \sin(\omega t + \beta_p) \\ &\quad + rw^2 \cos(\omega t + \beta_p) \end{aligned}$$

dosaďme-li za a_2' je

$$\begin{aligned} a_1' \Omega \sin \Omega t - a_1' \Omega \cos \Omega t \cdot \frac{\cos \Omega t}{\sin \Omega t} &= g \sin \alpha + \\ &\quad + rw^2 f \sin(\omega t + \beta_p) + rw^2 \cos(\omega t + \beta_p) \\ -a_1' \Omega (\sin^2 \Omega t + \cos^2 \Omega t) &= g \sin \alpha \sin \Omega t + \\ &\quad + rw^2 f \sin(\omega t + \beta_p) \sin \Omega t + rw^2 \cos(\omega t + \beta_p) \cdot \sin \Omega t \\ a_1' &= -\frac{g}{\Omega} \sin \alpha \sin \Omega t + \frac{rw^2 f}{\Omega} \sin(\omega t + \beta_p) \sin \Omega t + \\ &\quad + \frac{rw^2}{\Omega} \cos(\omega t + \beta_p) \sin \Omega t \end{aligned}$$

integrací, pro $\beta_p = 0$

$$\begin{aligned} a_1 &= +\frac{g}{\Omega^2} \sin \alpha \cos \Omega t + \frac{rw^2 f}{\Omega} \left[\frac{\sin(\omega - \Omega)t}{2(\omega - \Omega)} - \right. \\ &\quad \left. - \frac{\sin(\omega + \Omega)t}{2(\omega + \Omega)} \right] + \frac{rw^2}{\Omega} \left[\frac{\cos(\Omega + \omega)t}{2(\omega + \Omega)} - \frac{\cos(\Omega - \omega)t}{2(\Omega - \omega)} \right] \end{aligned}$$

obdobně získáme i konstantu a_2

$$\begin{aligned} a_2' &= -a_1' \frac{\cos \Omega t}{\sin \Omega t} = +\frac{g}{\Omega} \sin \alpha \sin \Omega t - \frac{\cos \Omega t}{\sin \Omega t} \frac{rw^2 f}{\Omega} \cdot \\ &\quad \cdot (\sin(\omega t + \beta_p) \cdot \sin \Omega t + \frac{\cos \Omega t}{\sin \Omega t} - \frac{rw^2}{\Omega} \cos(\omega t + \beta_p) \cdot \\ &\quad \cdot \sin \Omega t \cdot \frac{\cos \Omega t}{\sin \Omega t}) \end{aligned}$$

a upraveně

$$\begin{aligned} a_2' &= +\frac{g}{\Omega} \sin \alpha \cos \Omega t - \frac{rw^2 f}{\Omega} \sin(\omega t + \beta_p) \cos \Omega t - \frac{rw^2}{\Omega} \cdot \\ &\quad \cdot \cos(\omega t + \beta_p) \cdot \cos \Omega t \end{aligned}$$

integrujme pro $\beta = 0$

$$q_2 = + \frac{g}{\Omega^2} \sin d \sin \Omega t - \frac{rw^2 f}{\Omega} \left[\frac{\cos(w+\Omega)t}{2(w+\Omega)} - \right. \\ \left. - \frac{\cos(w-\Omega)t}{2(w-\Omega)} - \frac{rw^2}{\Omega \cdot 2} \left[\frac{\sin(w-\Omega)t}{(w-\Omega)} + \frac{\sin(w+\Omega)t}{w+\Omega} \right] \right]$$

nyní konstanty a_1 / t a a_2 / t dosadíme do tvaru
podle rov. /56/

$$x_p = \frac{g}{\Omega^2} \cdot \sin d \cdot \cos^2 \Omega t + \frac{rw^2 f}{2\Omega(\Omega+w)} \cdot \sin(w-\Omega)t + \\ + \cos \Omega t - \frac{rw^2 f}{2(w+\Omega) \cdot \Omega} \cdot \sin(w+\Omega)t \cos \Omega t - \\ - \frac{rw^2}{2\Omega(\Omega+w)} \cos(\Omega+w)t \cos \Omega t - \frac{rw^2}{2\Omega(\Omega-w)} \cdot \\ \cdot \cos(\Omega-w)t \cos \Omega t + \frac{g}{\Omega^2} \sin d \sin^2 \Omega t + \\ + \frac{rw^2 f}{2\Omega(w+\Omega)} \cos(w+\Omega)t \sin \Omega t + \frac{rw^2 f}{2\Omega(w-\Omega)} \cdot \\ \cdot \cos(w-\Omega)t \sin \Omega t - \frac{rw^2}{2\Omega(w-\Omega)} \sin(w-\Omega)t \cdot \\ \cdot \sin \Omega t - \frac{rw^2}{2\Omega(w+\Omega)} \sin(w+\Omega)t \sin \Omega t$$

a obecné řešení podle /55/

$$x = x_p = x_h = \frac{g}{\Omega^2} \sin d + \frac{rw^2 f}{2\Omega(w-\Omega)} \sin(w-\Omega)t \cos \Omega t - \\ - \frac{rw^2 f}{2(w+\Omega)\Omega} \sin(w+\Omega)t \cos \Omega t - \frac{rw^2}{2\Omega(\Omega+w)} \cos \Omega t \cdot \\ \cdot \cos(\Omega+w)t - \frac{rw^2}{2\Omega(\Omega-w)} \cos(\Omega-w)t \cos \Omega t + \frac{rw^2 f}{2\Omega(w+\Omega)} \cdot \\ \cdot \cos(w+\Omega)t \sin \Omega t + \frac{rw^2 f}{2\Omega(w-\Omega)} \cos(w-\Omega)t \sin \Omega t - \\ - \frac{rw^2}{2\Omega(w-\Omega)} \sin(w-\Omega)t \sin \Omega t - \frac{rw^2}{2\Omega(w+\Omega)} \sin \Omega t \cdot \\ \cdot \sin(w+\Omega)t + q_1 \cos \Omega t + q_2 \sin \Omega t$$

Pro určení integračních konstant a_1, a_2 mějme ty-
to počáteční podmínky $t = 0, \dots, x = x_0, v = 0$
určíme $\frac{dx}{dt}$

$$\begin{aligned} \frac{dx}{dt} = 0 = & \frac{rw^2 f}{2\Omega(w-\Omega)} [\cos(\omega-\Omega)t / (\omega-\Omega) \cos \Omega t - \\ & - \sin(\omega-\Omega)t \sin \Omega t \cdot \Omega] - \frac{rw^2 f}{2\Omega(w+\Omega)} [\cos(\omega+\Omega)t \cdot \\ & \cdot (\omega+\Omega) \cos \Omega t - \sin(\omega+\Omega)t \sin \Omega t \cdot \Omega] - \frac{rw^2}{2\Omega(\Omega+w)} \\ & [-\sin(\Omega+w)t / (\Omega+w) \cos \Omega t - \cos(\Omega+w)t \sin \Omega t \cdot \Omega] - \\ & - \frac{\omega^2 r}{2\Omega(\Omega-w)} [-\sin(\Omega-w)t / (\Omega-w) \cos \Omega t - \cos(\Omega-w)t \cdot \\ & \cdot \sin \Omega t \cdot \Omega] + \frac{rw^2 f}{2\Omega(w+\Omega)} [-\sin(\omega+\Omega)+w+\Omega) \sin \Omega t + \\ & + \cos(\omega+\Omega)t \cos \Omega t \cdot \Omega] + \frac{rw^2 f}{2\Omega(w-\Omega)} [-\sin(\omega-\Omega)t \cdot \\ & \cdot (\omega-\Omega) \sin \Omega t + \cos(\omega-\Omega)t \cos \Omega t \cdot \Omega] - \frac{rw^2}{2\Omega(\omega-\Omega)} \\ & [\cos(\omega-\Omega)t / (\omega-\Omega) \sin \Omega t + \sin(\omega-\Omega)t \cos \Omega t \cdot \Omega] - \\ & - \frac{rw^2}{2\Omega(w+\Omega)} [\cos(\omega+\Omega)t / (\omega+\Omega) \sin \Omega t + \\ & + \sin(\omega+\Omega)t \cos \Omega t \cdot \Omega] - a_1 \cos \Omega t \cdot \Omega + a_2 \cos \Omega t \cdot \Omega \end{aligned}$$

pro $t = 0$ je

$$\begin{aligned} 0 = & \frac{rw^2 f / (\omega-\Omega)}{2\Omega(w-\Omega)} - \frac{rw^2 f / (\omega+\Omega)}{2\Omega(w+\Omega)} + \frac{rw^2 f \cdot \Omega}{2\Omega(w+\Omega)} + \frac{rw^2 f \cdot \Omega}{2\Omega(w-\Omega)} + \\ & + a_2 \Omega \\ a_2 = & - \frac{rw^2 f}{2\Omega(w+\Omega)} - \frac{rw^2 f}{2\Omega(w-\Omega)} \end{aligned}$$

pro $t = 0$ plynne z /57/

$$-\frac{rw^2}{2\Omega(\Omega+w)} - \frac{rw^2}{2\Omega(\Omega-w)} + a_1 = x_0$$

a tedy

$$\alpha_1 = x_0 + \frac{rw^2}{2\Omega(\Omega+\omega)} \frac{rw^2}{2\Omega(\Omega-\omega)}$$

a výsledné obecné řešení diferenciální rovnice

/53/ lze psát

$$x = \frac{g}{\Omega^2} \sin \alpha + \frac{rw^2 f}{2\Omega(\Omega+\omega)} \sin (\omega - \Omega)t \cos \Omega t - \frac{rw^2 f}{2\Omega(\omega + \Omega)} \cdot$$

/59/ $\sin (\omega + \Omega)t \cos \Omega t - \frac{rw^2}{2\Omega(\Omega + \omega)} \cos (\Omega + \omega)t \cos \Omega t -$

$$- \frac{rw^2}{2\Omega(\Omega - \omega)} \cos (\Omega - \omega)t \cos \Omega t + \frac{rw^2 f}{2\Omega(\Omega + \omega)} \sin \Omega t \cdot$$

$$\cos (\omega + \Omega)t + \frac{rw^2 f}{2\Omega(\omega - \Omega)} \cos (\omega - \Omega)t \sin \Omega t - \frac{rw^2}{2\Omega(\omega - \Omega)} \cdot$$

$$\sin (\omega - \Omega)t \sin \Omega t - \frac{rw^2}{2\Omega(\omega + \Omega)} \sin (\omega + \Omega)t \sin \Omega t + x_0 \cos \Omega t +$$

$$+ \frac{rw^2}{2\Omega(\Omega + \omega)} \cos \Omega t + \frac{rw^2}{2\Omega(\Omega - \omega)} \cos \Omega t - \left[\frac{rw^2}{2\Omega(\omega + \Omega)} + \frac{rw^2}{2\Omega(\omega - \Omega)} \right] \cdot \sin \Omega t$$

Abychom došli k přehlednějšímu výsledku, použijme metody superposice platné pro lineární kmitání mějme opět rovnici /53/

$$m\ddot{x} + kx = mg \sin \alpha + mr\omega^2 \cos \omega t + mr\omega^2 f \sin \omega t$$

řešení rovnice se dá předpokládat v tomto tvaru

$$/60/ \quad x(t) = A_0 + A_1 \cos \omega t + B_1 \sin \omega t$$

Jednotlivé neznámé integrační konstanty A_0, A_1, B_1 vyjádříme pomocí dosazení do původní rovnice a pomocí porovnání obou stran. Dvojnásobným derivováním podle času dostaneme pro A_0

$$x_0 = A_0$$

$$\dot{x}_0 = 0$$

$$\ddot{x}_0 = 0$$

dosadíme-li

$$m \cdot 0 + k \cdot 0 + c A_0 = P_0$$

kde

$$P_0 = mg \sin \alpha$$

z čehož

$$/61/ \quad A_0 = \frac{P_0}{c}$$

dvojnásobným derivováním

$$x_1 = A_1 \cos \omega t + B_1 \sin \omega t$$

$$/62/ \quad \dot{x}_1 = -\omega A_1 \sin \omega t + \omega B_1 \cos \omega t$$

$$\ddot{x}_1 = -\omega^2 A_1 \cos \omega t - \omega^2 B_1 \sin \omega t$$

$$\ddot{x}_1 = -\omega^2 [A_1 \cos \omega t + B_1 \sin \omega t]$$

takže dosadíme-li

$$m \omega^2 [-A_1 \cos \omega t - B_1 \sin \omega t] + k [A_1 \cos \omega t + B_1 \sin \omega t] = \\ = O_1 \cos \omega t + O_2 \sin \omega t$$

porovnáme-li členy při sinusových a kosinusových členech

$$A_1 (k - m \omega^2) = O_1$$

$$B_1 (k - m \omega^2) = O_2$$

a tedy

$$A_1 = \frac{O_1}{k - m \omega^2}$$

$$B_1 = \frac{O_2}{k - m \omega^2}$$

a výsledný pohyb je

$$/63/ \quad x = \frac{P_0}{k} + \frac{O_1}{k - m \omega^2} \cos \omega t + \frac{O_2}{k - m \omega^2} \cdot \sin \omega t$$

a úpravou lze psát

$$/64/ \quad x = \frac{P_0}{k} + C \sin (\omega t + \varphi)$$

kde

$$C = \sqrt{\frac{O_1^2}{(k - m \omega^2)^2} + \frac{O_2^2}{(k - m \omega^2)^2}} = \sqrt{\frac{O_1^2 + O_2^2}{(k - m \omega^2)^2}} = \frac{\sqrt{O_1^2 + O_2^2}}{k - m \omega^2}$$

$$/65/ \quad \text{tg} \varphi = \left| \frac{\frac{\omega_1}{k-mw^2}}{\frac{\omega_2}{k-mw^2}} \right| = \left| \frac{\omega_1}{\omega_2} \right| \quad \text{obecně } \text{tg} \varphi = \left| \frac{A_1}{B_1} \right|$$

Na základě těchto odvozených vzorců si nyní provedeme vlastní číselný výpočet pro vibrační nože I/přesněji řešeno pro vibrační nůž I se třemi hránami/

$$\begin{aligned} \omega_1 &= mrw^2 \\ \omega_2 &= mrw^2 f \end{aligned} \Rightarrow \text{tg} \varphi = \left| \frac{mrw^2}{mrw^2 f} \right| = \frac{1}{f} =$$

a tedy

$$= \frac{1}{0,15} = 6,675$$

$$\text{tg} \varphi = 6,675 \Rightarrow \underline{\varphi = 81^\circ 25'}$$

$$\underline{\varphi = 81^\circ 25'}$$

kde

$$\frac{P_0}{k} = \frac{mgsind}{k} = \frac{0,000682 \cdot 981 \cdot 0,42262}{15} = 0,0189 \text{ cm}$$

$$\underline{\frac{P_0}{k} = 0,0189 \text{ cm}}$$

$$C = \frac{\sqrt{9,1 + 0,2075}}{95 - 0,000682 \cdot 42^2} = 0,221 \text{ cm}$$

$$\underline{C = 0,221 \text{ cm}}$$

$$\omega_1 = 0,000682 \cdot 2,5 \cdot 42^2 = 3,01 \text{ kg}$$

$$\underline{\omega_1 = 3,01 \text{ kg}}$$

$$\omega_2 = 3,01 \cdot 0,15 = 0,451 \text{ kg}$$

$$\underline{\omega_2 = 0,451 \text{ kg}}$$

dosaďme-li do původní rovnice /64/

$$/65/ \quad x = 0,019 + 0,221 \sin(\omega t + 81^\circ 25')$$

pro $\omega t = 0$ je výchylka

$$x = 0,019 + 0,221 \sin 81^\circ 25' = \underline{0,238 \text{ cm}}$$

$$\underline{x = 0,238 \text{ cm}}$$

Takto bychom opakovali výpočet pro $\psi = \omega t = 30^\circ, 45^\circ, 90^\circ$. Jelikož je výpočet pro tyto hodnoty zcela obdobný, neprovádíme jej zde číselně, ale výsledky zahrneme přímo do tabulky obr./IV/25.

		$wt = 0$	$wt = \pi/6$	$wt = \pi/4$	$wt = \pi/2$
x	cm	0,238	0,225	0,197	0,054
S	kg	3,575	3,380	2,980	0,810
$T_I + T_4$	kg	0,000	0,113	0,159	0,243

obr./IV/25

Direkční tlačná síla pružiny S a třetí síla
 $T = T_I + T_4$ jsou výchozími hodnotami pro namáhání hřídele, pro zjištění reakcí v jeho uložení.

d/ Řešení tluměného vynuceného kmitání při
chodu stroje za provozního zatížení

Nejdříve si musíme zjistit velikosti průběhu sil, které působí při pracovním chodu na vibrační náž. Budeme vycházet ze stati III obr.7, obr.8, kde je hodnota S _{Istř}. Tato síla, resp. rovnoměrně rozložené namáhání je obecně periodickou, proměnlivou budící silou pro naši hmotu. K této periodicky proměnlivé budící síle přistupuje ještě harmonická budící síla, která vzniká působením odstředivého zrychlení na hmotu. K tomu, abychom zjistili periodiky proměnlivé budící síly její harmonické, musíme provést její harmonickou analýzu. Harmonickou analýzu lze provést několika metodami, např. Rungeho metodu, pomo-

cí níž se určí prvních šest harmonických, atd...

Periodické křivky, které chceme vyjádřit pomocí Fourierovy řady anebo harmonickou analýzou, musí vypočítat těmito podmínkám, jsou to tzv.

Dirichletovy podmínky:

ve vyšetřovaném intervalu musí mít křivka

a/konečný počet extrémních hodnot

b/konečný počet nespojitostí takových, že

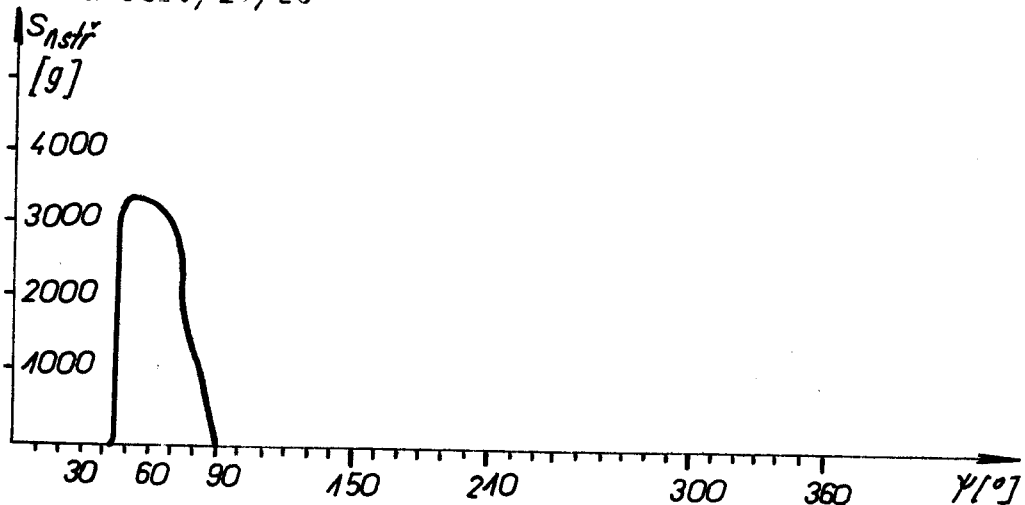
limity funkce zprava $\lim_{x \rightarrow +} f(x)$ i zleva $\lim_{x \rightarrow -} f(x)$
jsou konečné hodnoty.

c/hodnoty funkce jsou v koncových bodech

vyšetřovaného intervalu konečné.

Naše periodická funkce vypočítat těmito Dirichletovými podmínkami.

Nyní si znázorníme periodickou bucičí sílu v grafu obr./IV/26



obr./IV/26

Tato funkce $S_{Istř} = f/x$ je funkcií periodickou s periodou $T = 2\pi$. Jak již víme, libovolou /tedy i naši periodickou funkci f/t -ovšem v každém

intervalu jednoznačnou a konečnou lze rozvinout v nekonečnou řadu

$$/66/ f(x) = \frac{1}{2} b_0 + \sum_{n=1}^{\infty} a_n \sin nx + \sum_{n=1}^{\infty} b_n \cos nx$$

kde konstanty b_0, a_n, b_n jsou určeny vztahy

$$b_0 = \frac{2}{T} \int_0^T f(x) dx$$

$$/67/ a_n = \frac{2}{T} \int_0^T f(x) \sin nx dx$$

$$b_n = \frac{2}{T} \int_0^T f(x) \cos nx dx$$

Zahrneme-li člen b_0 do součtu b_n při $n = 0$ lze psát

$$/68/ f(x) = \sum_{n=0}^{\infty} a_n \sin nx + \sum_{n=0}^{\infty} b_n \cos nx$$

a tato nekonečná goniometrická řada se nazývá Fourierovou řadou.

Jelikož zde v našem případě je dána periodickou funkci grafu, neanalytickým výrazem jednotlivých úseků funkce, budeme si muset určit jednotlivé koeficienty řady početně. Určíme je z grafu následovně. Pro každou dalsí frekvenci $\frac{2k\pi}{T}$ určíme hodnoty funkci $f(x)/\sin \frac{2k\pi x}{T}$, $f(x)/\cos \frac{2k\pi x}{T}$ v intervalu $/0, T/$, a provedeme jejich integraci v mezích 0 do T. Integraci lze provést planimetrem, graficky nebo početně. My zde mějme poslední způsob početné integrace. Rozdělíme si tedy periodu T na 24 dílů, v nichž vypočítáváme hodnoty $\sin \frac{2k\pi x}{T}$, $\cos \frac{2k\pi x}{T}$ vynásobíme hodnotami funkce, sečteme a součet násobíme délku I dílku/jednoho dílku/. To tedy znamená, že my nahradíme skutečný průběh analysované

9. ŘÍJNA 1965

Frantisek Sassmann

x	$\sin \frac{\pi x}{18}$	$f_{ik})$	$f_{ik}) \sin \frac{\pi x}{18}$	$\sin \frac{\pi x}{9}$	$f_{ik}) \sin \frac{\pi x}{9}$	$\sin \frac{2\pi x}{9}$	$f_{ik}) \sin \frac{2\pi x}{9}$	$\sin \frac{5\pi x}{18}$	$f_{ik}) \sin \frac{5\pi x}{18}$	$\sin \frac{7\pi x}{18}$	$f_{ik}) \sin \frac{7\pi x}{18}$
0	0	0	0	0	0	0	0	0	0	0	0
1	0,17365	0	0	0,34702	0	0,50000	0	0,64279	0	0,76804	0
2	0,34202	0	0	0,64279	0	0,86603	0	0,98481	0	1,17365	0
3	0,50000	0	0	0,86603	0	1,00000	0	0,98603	0	0,98603	0
4	0,64279	0	0	0,98481	0	0,86603	0	0,34202	0	-0,34202	0
5	0,76604	3,423	2,58006	0,98481	3,36988	0,50000	4,17150	-0,34202	-0,14496	-0,43969	-1,14496
6	0,86603	3,688	3,19368	0,86603	3,17326	0	0	-0,66603	-3,19326	-0,66603	-0,66603
7	0,93969	3,020	2,83732	0,64279	1,94424	-0,50000	-4,50990	-0,78481	-2,97402	-0,17365	-0,52416
8	0,98481	1,508	1,48542	0,31239	0,51702	-0,86603	-1,21178	-0,64279	-0,96936	0,64279	0,98603
9	1	0,357	0,35700	0	0	-1,00000	-0,35700	0	0	0	0
10		0	0	0	0	0	0	0	0	0	0
11		0	0	0	0	0	0	0	0	0	0
12		0	0	0	0	0	0	0	0	0	0
		11,996	10,45358	9,00440	-1,36718	-8,10660	-3,09799				

pokračování

$$-\alpha_5 = -0,108$$

$$-\alpha_4 = -0,231$$

$$-\alpha_3 = -0,058$$

$$\alpha_2 = 0,25$$

$$\alpha_1 = 0,334$$

x	$f(x)$	$f'(x) \sin \frac{\pi x}{3}$	$\sin \frac{2\pi x}{3}$	$f''(x) \sin \frac{3\pi x}{3}$	$\sin \frac{4\pi x}{3}$	$f'''(x) \sin \frac{5\pi x}{3}$	$\sin \frac{6\pi x}{3}$	$f^{(4)}(x) \sin \frac{7\pi x}{3}$	$\sin \frac{8\pi x}{3}$
0	0	0	0	0	0	0	0	0	0
1	0	0	0	0.03969	0	0.08481	0	0.08481	0
2	0	0	0	0.64279	0	0.34202	0	0.93969	0
3	0	0	-0.50000	0	-0.06603	0	-1.00000	0	0.76604
4	0	0	-0.06481	0	-0.64279	0	0	0	0
5	3.4230	-2.96436	-0.13365	-0.59430	0.64279	2.20038	1.00000	3.42300	0.64279
6	3.6880	0	0.86603	3.49369	0.86603	3.79368	0	0	0.19096
7	3.0200	2.64534	0.76604	2.31336	-0.34202	-1.03278	-1.00000	3.34202	1.03278
8	1.5080	1.22178	-0.34202	-0.67576	-0.98481	-1.48592	0	0.17365	-0.17365
9	0.3570	0	-1	-0.35700	0	0	1.00000	0.35700	0
10	0	0	0	0	0	0	0	0	-1
11	0	0	0	0	0	0	0	0	0
12...	0	0	0	0	0	0	0	0	0
	11.9960	0.87276	4.39698	2.07616	9.36000	9.36000	5.33720	-6.52534	$-\delta_2 = 0.181$
									$\delta_3 = 0.948$
									$a_2 = 0.122$

pokračování

X	$f(X)$	$\cos \frac{X}{6}$	$\sin \frac{X}{6}$	$\cos \frac{2X}{3}$	$\sin \frac{2X}{3}$	$\cos \frac{5X}{18}$	$\sin \frac{5X}{18}$	$\cos \frac{7X}{36}$	$\sin \frac{7X}{36}$
0	0	1	0	1	0	1	0	1	0
2	0	0,86603	0	0,76604	0	0,64279	0	0,50000	0
2	0	0,50000	0	0,17365	0	-0,11365	0	-0,50000	0
3	0	0	0	-0,50000	0	-0,66603	0	-0,1	0
4	0	-0,50000	0	-0,93969	0	-0,93969	0	-0,50000	0
5	3,42300	-0,86603	-1,96436	-0,93969	-3,21636	-0,34202	-4,06873	0,50000	1,71750
6	3,00000	-1	-3,68760	-0,50000	-1,03800	0,50000	0,04400	1	3,00000
7	3,02000	-0,86603	-2,83752	0,17365	0,52416	0,00400	2,97443	0,50000	1,67000
8	1,50800	-0,50000	-0,75390	0,64279	0,96939	0,76604	0,15514	-0,60000	-0,75400
9	0,35700	0	0	0	0,35700	0	0	-1	
10	0	0	0	0	0	0	0	0	
11	0	0	0	0	0	0	0	0	
...									
	14,900			-0,24338	-3,20961	4,80459	6,15530		
								$b_3 = 0,177$	
								$b_5 = 0,134$	
								$-b_4 = 0,089$	
								$-b_2 = 0,284$	

funkce průběhem stupňovým.

Integrál $\int f(x) dx$ je přibližně dán algebraickým součtem hodnot funkce násobené složkou jednoho dílku, v našem případě je šířka dílku rovna 0,5 cm = 5 mm,

tedy $0,5 \times 11,996 = 5,9980$

protože je $T = 36$ dílků budou koeficienty

$$b_0 = \frac{2}{T} \int_0^T f(x) dx \doteq \frac{2}{36} \cdot 5,998 = 0,33375$$

$$b_0 = 0,33375$$

k výpočtu koeficientů a_I vyhledáme pro dělící hodnoty

$$\sin \frac{2\pi x}{36} = \sin \frac{\pi x}{18}$$

viz 3 sloupec tabulky obr./IV/27 a ve 4 sloupci této tabulky určíme pro každou hodnotu x součin

$$f(x) \sin \frac{\pi x}{18}$$

Součet takto získaných hodnot po vynásobení šírkou dílku, je přibližně hodnotou integrálu

$$\int f(x) \sin \frac{2\pi x}{36} dx = 0,5 \cdot 10,454 = 5,2270$$

a tedy

$$a_1 = \frac{2}{36} \cdot 5,227 = 0,293$$

$$a_1 = 0,293$$

pro a_2 $\int f(x) \sin \frac{2 \cdot 2\pi x}{36} dx \doteq 0,5 \cdot 9,0014 = 4,50070$

atd.... $a_2 = \frac{2}{36} \cdot 4,5007 = 0,2501$

$$a_2 = 0,2501$$

Další hodnoty koeficientů jsou uvedeny v tabulce obr./IV/27.

Nyní, když máme již jednotlivé hodnoty koeficientů zjištěny, lze psát:

$$f_1(x) = 0,334 + 0,293 \sin \frac{\pi x}{18} + 0,25 \sin \frac{\pi x}{9} - \\ - 0,038 \sin \frac{\pi x}{6} - 0,231 \sin \frac{2\pi x}{9} - 0,108 \sin \frac{5\pi x}{18} + \\ + 0,122 \sin \frac{7\pi x}{18} + 0,148 \cos \frac{\pi x}{18} - 0,189 \cos \frac{\pi x}{9} - \\ - 0,284 \cos \frac{\pi x}{6} - 0,089 \cos \frac{2\pi x}{9} + 0,134 \cos \frac{5\pi x}{18} + \\ + 0,171 \cos \frac{\pi x}{3}$$

kde

$$\omega t = \frac{2\pi x}{7} = \frac{2\pi x}{36}$$

pak lze upravit rovnici takto:

$$159/ f_1(t) = 0,334 + 0,293 \sin \omega t + 0,25 \sin 2\omega t - \\ - 0,038 \sin 3\omega t - 0,231 \sin 4\omega t - 0,108 \sin 5\omega t + \\ + 0,122 \sin 7\omega t + 0,148 \cos \omega t - 0,189 \cos 2\omega t - \\ - 0,284 \cos 3\omega t - 0,089 \cos 4\omega t + 0,134 \cos 5\omega t + \\ + 0,171 \cos 6\omega t$$

nebo pomocí obr./IV/28

k	A_k	B_k	r_k / μ	A_k^2
1	0,293	0,148	1,980	0,0860
2	0,250	-0,181	1,380	0,0625
3	-0,038	-0,284	0,134	0,0044
4	-0,231	-0,089	2,600	0,0535
5	-0,108	0,134	0,8075	0,0117
6	0,010	0,171	0,580	0,0009
7	0,122	0	∞	0,0149

k	B_k^2	$A_k^2 + B_k^2$	r_k	r_k	γ_k
1	0,0220	0,1080	0,328	$63^\circ 10'$	$63^\circ 10'$
2	0,0355	0,0980	0,313	54°	126°
3	0,0815	0,0829	0,287	$7^\circ 35'$	$187^\circ 35'$
4	0,0079	0,0614	0,248	89°	249°
5	0,0180	0,0297	0,172	39°	321°
6	0,0293	0,0294	0,171	$30^\circ 30'$	$30^\circ 30'$
7	0	0,0949	0,122	90°	90°

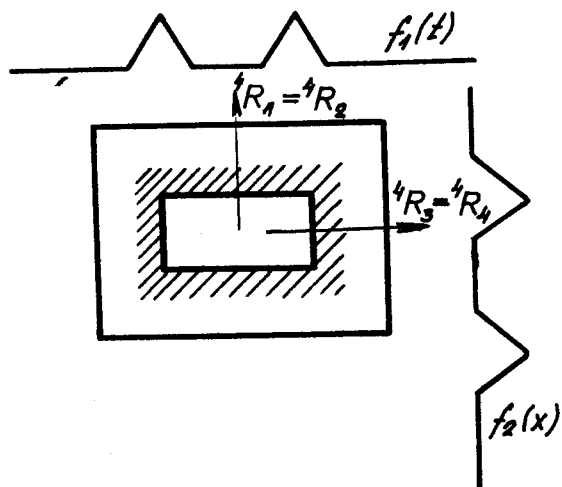
obr./IV/28

lze psát funkci f_I/t též takto:

$$f_I(t) = 0,354 + 0,328 \sin(\omega t + 63^\circ 90') + \\ /70/ + 0,313 \sin(2\omega t + 116^\circ) + 0,287 \sin(3\omega t + 187^\circ 35') + \\ + 0,248 \sin(4\omega t + 249^\circ) + 0,172 \sin(5\omega t + 321^\circ) \\ + 0,171 \sin(6\omega t + 30^\circ 30') + 0,122 \sin(7\omega t + 90^\circ)$$

Tímto vyjádřením máme dokonalou představu o polo-
ze každé harmonické složky.

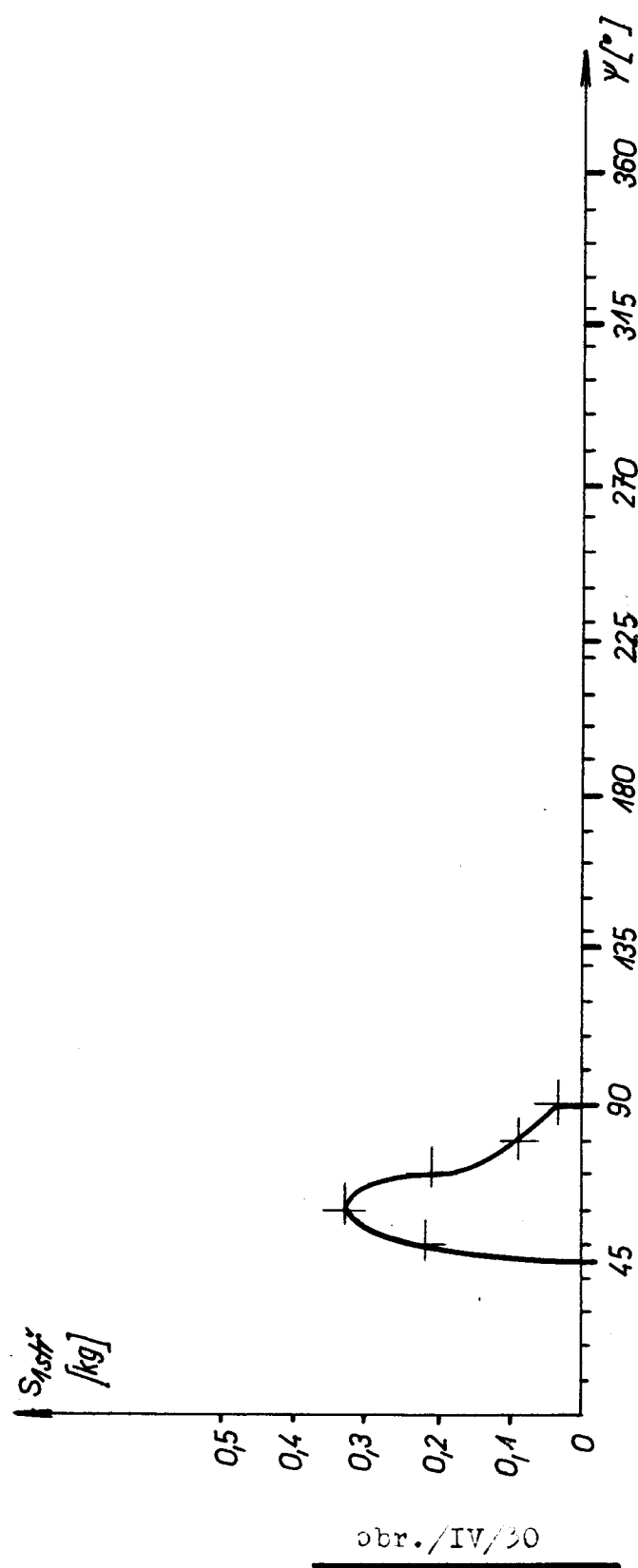
Nyní si musíme ještě zjistit průběh sil ve sví-
slém směru. Tato síly jsou opět vyvodeny od namá-
hání stonku a jsou charakterisovány funkcí f_2/t



obr./IV/29

Tato funkce f_2 je dána zatížením od sil F_1 , resp.
 F_2 viz stat. III obr. 7, obr. 8. Tato hodnoty si vyná-
sobíme délkom može, abychom tak zjistili celkové
sily. Nyní si vypočítáme střední hodnoty sil F_1 , F_2
a jejich hodnoty si zaneseeme do grafu obr./IV/30
a obr./IV/31.

A nyní, kdy máme zjištěny všechny koeficienty viz



Průběh zatížení na celý nůž

x	$f(x)$	$\sin \frac{Tx}{3}$	$\sin \frac{Ty}{3}$	$\sin \frac{Tz}{3}$	$\sin \frac{Tx}{6}$	$\sin \frac{Ty}{6}$	$\sin \frac{Tz}{6}$	$\sin \frac{Tx}{9}$	$\sin \frac{Ty}{9}$	$\sin \frac{Tz}{9}$	$\sin \frac{Tx}{12}$	$\sin \frac{Ty}{12}$	$\sin \frac{Tz}{12}$
0	0	0	0	0	0	0	0	0	0	0	0	0	0
1	0	0.47365	0	0.34202	0	0.50000	0	0.64279	0	0.76604	0	0.86603	0
2	0	0.31202	0	0.64274	0	0.86603	0	0.98481	0	1.13165	0	1.26603	0
3	0	0.50000	0	0.96603	0	1.00000	0	0.86603	0	0.52000	0	0.32000	0
4	0	0.64274	0	0.98481	0	0.86603	0	0.34202	0	-0.34202	0	-0.34202	0
5	0.292	0.76604	0.47306	0.98481	0.214793	0.52000	0.111100	-0.34202	-0.73593	-0.73593	-0.28752	-0.28752	0
6	0.332	0.86603	0.28752	0.96603	0.28752	0	0	-0.66603	-0.28752	-0.66603	-0.3055	-0.3055	0.86603
7	0.292	0.93969	0.20261	0.64279	0.41270	-0.50000	-0.111100	-0.98481	-0.21663	-0.17365	-0.05849	-0.05849	0.05849
8	0.091	0.98161	0.08962	0.34274	0.03199	-0.06603	-0.011101	-0.64279	-0.05849	0.64279	0.05849	0.05849	0
9	0.038	1	0.03860	0	0	-1	-0.03860	0	0	0	0	0	0
10	0	0	0	0	0	0	0	0	0	0	0	0	0
11	0	0	0	0	0	0	0	0	0	0	0	0	0
12	0.905	0.79441	0.67924	0.67924	0.67924	0.67924	0.67924	0.67924	0.67924	0.67924	0.67924	0.67924	0.67924

 $b_0 = 0,025$ pokračování $a_2 = 0,019$ $a_1 = 0,011$ $-a_4 = 0,018$ $-a_3 = 0,003$ $-a_5 = 0,013$

VŠST LIBEREC

Kinematické a dynamické po-
souzení lámacího a stíracího
ustrojí pro přípravu stonku
k získání clouhého vlákna

DP — STR. 111

9. ŘÍJNA 1965

František Bassmann

χ	$f_{H_1} \sin \frac{Tx}{3}$	$f_{H_1} \sin \frac{Tx}{6}$	$\sin \frac{Tx}{12}$	$f_{H_1} \sin \frac{Tx}{18}$	$\sin \frac{Tx}{24}$	$f_{H_1} \sin \frac{Tx}{36}$	$\sin \frac{Tx}{72}$	$f_{H_1} \sin \frac{Tx}{144}$	$\sin \frac{Tx}{288}$	$f_{H_1} \sin \frac{Tx}{576}$	$\sin \frac{Tx}{1152}$	$f_{H_1} \sin \frac{Tx}{2304}$	$\sin \frac{Tx}{4608}$
0	0	0	0	0	0	0	0	0	0	0	0	0	0
1	0	0	0	0	0	0	0	0	0	0	0	0	0
2	0	0	0	0	0	0	0	0	0	0	0	0	0
3	0	0	0	0	0	0	0	0	0	0	0	0	0
4	0	0	0	0	0	0	0	0	0	0	0	0	0
5	-0,11216	0,219	-0,17365	-0,03855	0,64871	0,14270	0	0,22200	0,64219	0,14270	-0,17365	-0,03855	0
6	0	0,332	0,86603	0,28752	0,86603	0,28752	0	0	0,50000	0,16600	-0,50000	-0,16600	0
7	0,19226	0,222	0,76604	0,17006	-0,34202	-0,07593	-1	-0,22000	0,84202	0,07593	-0,76604	-0,17006	0
8	0,073801	0,091	-0,341002	-0,037492	-0,06461	-0,08462	0	0	0,77365	0,01560	-0,93164	-0,09337	0
9	0	0	0,038	-1	-0,03860	0	0	1	0,03860	0	0	-1	-0,03860
10	0	0	0	0	0	0	0	0	0	0	0	0	0
11	0	0	0	0	0	0	0	0	0	0	0	0	0
12	0,070881	0,90356	0,34931	0,26467	0,26467	0,03860	0,03860	0,140043	-0,040012	-0,040012	-0,040012	-0,040012	-0,040012

pokračování

x	$f(x)$	$\cos \frac{Tx}{6}$	$\sin \frac{Tx}{6}$	$\cos \frac{2Tx}{9}$	$\sin \frac{2Tx}{9}$	$\cos \frac{4Tx}{18}$	$\sin \frac{4Tx}{18}$
0	0	1	0	1	0	1	0
1	0	0.86603	0	0.76604	0	0.64274	0
2	0	0.50000	0	0.47365	0	-0.47365	0
3	0	0	0	-0.39000	0	-0.86603	0
4	0	-0.50000	0	-0.43969	0	-0.93969	0
5	0.222	-0.86603	-0.42216	-0.43969	-0.20861	-0.34202	-0.07543
6	0.333	-1	-0.33200	-0.30200	-0.16600	0.30000	0.46600
7	0.222	-0.86603	-0.42216	0.17365	0.38357	0.93404	0.24963
8	0.000	-0.50000	-0.045	0.64274	0.58949	0.76604	0.06971
9	0.0386	0	0	1	0	0	0
10	0	0	0	0	0	0	0
11	0	0	0	0	0	0	0
12	0	0	0	0	0	0	0
	0.9056						
		-0.661652			-0.277757		
							0.37849

 $b_5 = 0,0105$ $- b_4 = 0,008$ $- b_3 = 0,018$ $- b_2 = 0,04$

tabulka obr./IV/31, lze nahradit naší periodickou funkci touto Fourierovou řadou.

$$/71/ \quad f_2(x) = 0,025 + 0,011 \sin \frac{\pi x}{18} + 0,019 \sin \frac{\pi x}{9} - \\ - 0,003 \sin \frac{\pi x}{6} - 0,018 \sin \frac{2\pi x}{9} - 0,013 \sin \frac{5\pi x}{18} + \\ + 0,011 \cos \frac{\pi x}{9} - 0,014 \cos \frac{\pi x}{9} - 0,018 \cos \frac{\pi x}{6} - \\ - 0,008 \cos \frac{2\pi x}{9} + 0,009 \cos \frac{5\pi x}{18}$$

a pro $\omega t = \frac{2\pi x}{36}$ píšeme

$$/72/ \quad f_2(t) = 0,025 + 0,011 \sin \omega t + 0,019 \sin 2\omega t - \\ - 0,003 \sin 3\omega t - 0,018 \sin 4\omega t - 0,013 \sin 5\omega t + \\ + 0,011 \cos \omega t - 0,014 \cos 2\omega t - 0,018 \cos 3\omega t - \\ - 0,008 \cos 4\omega t + 0,009 \cos 5\omega t$$

a pomocí úpravy dle obr./IV/32

k	A_k	B_k	$A_k^2 + B_k^2$	$\tan^{-1} \frac{B_k}{A_k}$
1	0,0110	0,0110	0,000421	0,0
2	+0,0190	-0,0140	0,000362	1,358
3	-0,0080	-0,0480	0,000009	0,167
4	-0,0080	-0,0080	0,000324	2,250
5	-0,0130	0,0105	0,000459	4,238

k	B_k^2	$A_k^2 + B_k^2$	α_k	β_k	γ_k
1	0,000421	0,000242	0,0165	45°	45°
2	0,000996	0,000558	0,0236	53°35'	126°25'
3	0,000324	0,000333	0,0184	9°30'	109°30'
4	0,000009	0,000388	0,0197	66°	246°
5	0,000459	0,000279	0,0167	59°	309°

obr./IV/32

lze tedy také psát

$$f_2(t) = 0,025 + 0,015 \sin(\omega t + 45^\circ) + 0,024 \cdot \sin(2\omega t + 926^\circ 25') + 0,018 \sin(3\omega t + 184^\circ 30') + 0,02 \sin(4\omega t + 246^\circ) + 0,017 \sin(5\omega t + 309^\circ)$$

Rovnice /73/ resp./72/ a rov./70/ resp./69/ jsou tedy funkciemi průběhu složek sil vznikající při lámání a potěrání stonku. Tyto síly jsou v rovinách kolmých na sebe. Vibrační nůž, na nějž působí tyto síly je přenáší podle zákona akce a reakce, na podložku po níž se smýká. Tato reakce násobená součinitelem tření f dává třecí sílu. To tedy znamená, že proti pohybu vibračního nože bude působit nejen círekční síla pružiny, ale též třecí síly. Obě třecí síly, jejichž průběh je funkciemi $f_I/t/$ a $f_2/t/$ jsou souhlasného směru, lze je nahradit výslednou třecí silou. To znamená, že bereme funkci $f_I/t/$ a $f_2/t/$. Výsledná funkce je tedy:

$$f(t) = f_1(t) + f_2(t) = 0,334 + 0,293 \sin \omega t + 0,25 \sin 2\omega t - 0,038 \sin 3\omega t - 0,231 \sin 4\omega t - 0,108 \sin 5\omega t + 0,01 \sin 6\omega t + 0,022 \sin 7\omega t + 0,148 \cos \omega t - 0,181 \cos 2\omega t - 0,284 \cos 3\omega t - 0,089 \cos 4\omega t + 0,134 \cos 5\omega t + 0,171 \cos 6\omega t + 0,025 + 0,001 \sin \omega t + 0,019 \sin 2\omega t - 0,003 \sin 3\omega t - 0,018 \sin 4\omega t - 0,013 \sin 5\omega t + 0,011 \cos \omega t - 0,014 \cos 2\omega t - 0,018 \cos 3\omega t - 0,008 \cos 4\omega t + 0,01 \cos 5\omega t$$

tedy $f(t) = 0,359 + 0,304 \sin \omega t + 0,269 \sin 2\omega t -$

$$/74/ - 0,049 \sin 3\omega t - 0,249 \sin 4\omega t - 0,931 \sin 5\omega t + 0,010 \sin 6\omega t + 0,122 \sin 7\omega t + 0,159 \cos \omega t -$$

$$-0,195 \cos 2wt - 0,302 \cos 3wt - 0,097 \cos 4wt + \\ + 0,144 \cos 5wt + 0,171 \cos 6wt$$

pomocí tabulky obr./IV/33

k	A_k	B_k	$tg \gamma_k$	A_k^2
1	0,304	0,159	1,910	0,0925
2	0,269	-0,195	1,380	0,0725
3	-0,041	-0,302	0,136	0,0016
4	-0,249	-0,097	2,565	0,0622
5	-0,131	0,144	0,990	0,0172
6	0,010	0,171	0,058	0,0009
7	0,122	0	∞	0,0949

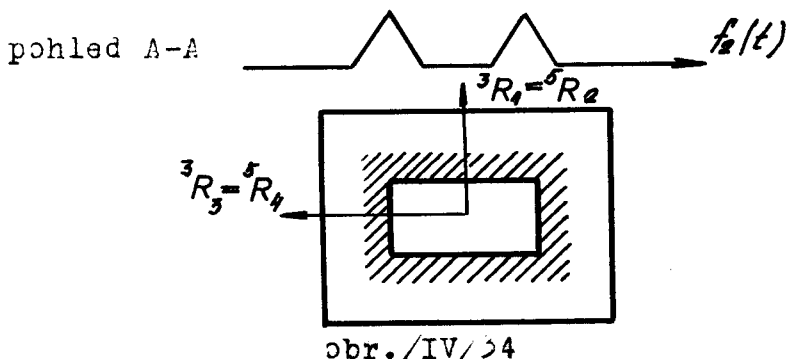
k	B_k^2	$A_k^2 + B_k^2$	γ_k	γ_k'	γ_k''
1	0,02525	0,19775	0,342	62°25'	62°25'
2	0,03820	0,11070	0,332	54°5'	125°35'
3	0,09250	0,09498	0,306	7°45'	187°45'
4	0,00942	0,07162	0,267	68°45'	240°45'
5	0,02075	0,03795	0,194	49°15'	317°45'
6	0,02075	0,02935	0,171	3°20'	3°20'
7	0	0,09490	0,122	90°	90°

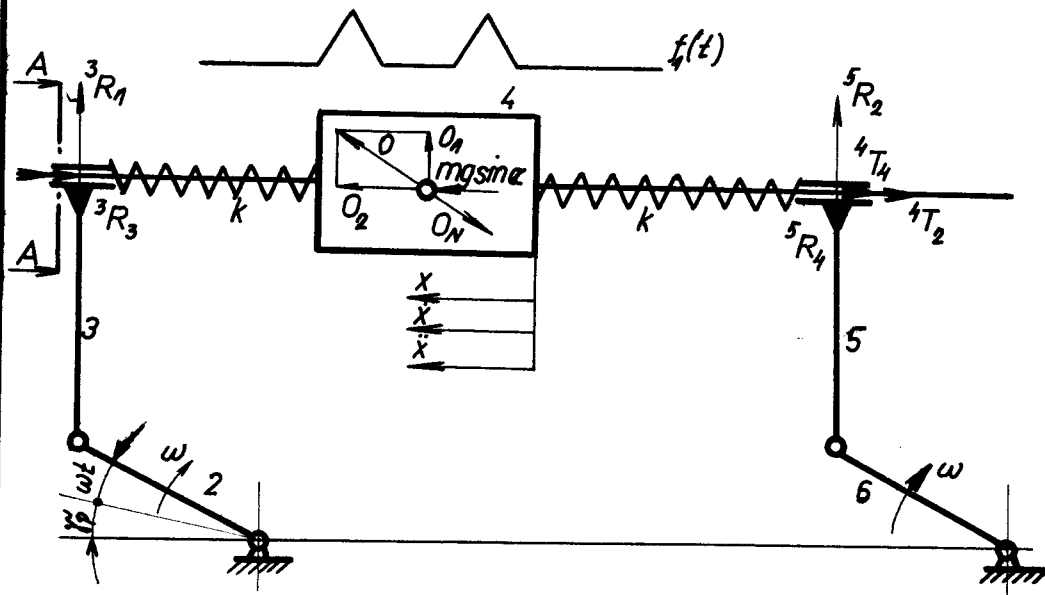
obr./IV/33

Lze využít funkci f_v/t též takto

$$f_v(t) = 0,359 + 0,342 \sin (wt + 62°25') + \\ + 0,332 \sin (2wt + 125°35') + 0,306 \sin (3wt + 187°45') \\ + 0,267 \sin (4wt + 240°45') + 0,194 \sin (5wt + 317°45') \\ + 0,171 \sin (6wt + 3°20') + 0,122 \sin (7wt + 90°)$$

Nyní si znázorníme kmitání nože a sestavíme jeho pohybovacou rovnici v obr./IV/34



obr./IV/24

Na obr./IV/24 vidíme, že na kmitající těleso nepůsobí jen odstředivá síla O_I /svými složkami/, do směru pohybu složkou O_2 a do směru kolmého na směr pohybu složkou O_1 /, ale též silami kolmými na směr pohybu/na obr./jsou znázorněny krivkami f_1/t / a f_2/t . Tyto síly f_1/t / a f_2/t / způsobují reakce, které znásobené třecím koeficientem dávají třetí síly, jejichž směry jsou proti smyslu pohybu tělesa 4.

Vyjádříme si jednotlivé síly/složky/ působící na kmitající těleso 4

$$O_{1I} = mr\omega^2 \sin \omega t$$

$$O_{2I} = mr\omega^2 \cos \omega t$$

VŠST LIBEREC	Kinematické a dynamické po- šouzení lámacího a stíracího ustrojí pro přípravu stonku k získání dlouhého vlákna	DP — STR. 120
9. ŘÍJNA 1965		
František Bassmann		

$${}^3R_1 + {}^5R_2 + {}^3R_3 + {}^5R_4 = 0,359 + 0,304 \sin \omega t + 0,269 \cdot$$

$$\cdot \sin 2\omega t - 0,041 \sin 3\omega t - 0,249 \sin 4\omega t - 0,131 \cdot$$

$$176/ \cdot \sin 5\omega t + 0,010 \sin 6\omega t + 0,122 \sin 7\omega t + 0,159 \cos \omega t -$$

$$- 0,195 \cos 2\omega t - 0,302 \cos 3\omega t - 0,097 \cos 4\omega t +$$

$$+ 0,144 \cos 5\omega t + 0,171 \cos 6\omega t$$

k těmto reakcím 4R_1 , 4R_2 , 4R_3 , 4R_4 přísluší tře-
cí síly

$${}^4T_1 + {}^4T_2 + {}^4T_3 + {}^4T_4 = 0,359 \cdot f + 0,304 \cdot f \sin \omega t +$$

$$+ 0,269 f \sin 2\omega t - 0,041 f \sin 3\omega t - 0,249 f \sin 4\omega t -$$

$$177/ - 0,131 f \sin 5\omega t + 0,010 f \sin 6\omega t + 0,122 f \sin 7\omega t +$$

$$+ 0,159 f \cos \omega t - 0,195 f \cos 2\omega t - 0,302 f \cos 3\omega t -$$

$$- 0,097 f \cos 4\omega t + 0,144 f \cos 5\omega t + 0,171 f \cos 6\omega t +$$

$$+ mr\omega^2 \sin \omega t f$$

potom pohybová rovnice je

$$kx + mx'' = mr\omega^2 \cos \omega t - 0,359 f - 0,304 f \sin \omega t -$$

$$178/ - 0,269 f \sin 2\omega t + 0,041 f \sin 3\omega t + 0,249 f \sin 4\omega t +$$

$$+ 0,131 f \sin 5\omega t - 0,010 f \sin 6\omega t - 0,122 f \sin 7\omega t -$$

$$- 0,159 f \cos \omega t + 0,195 f \cos 2\omega t + 0,302 f \cos 3\omega t +$$

$$+ 0,097 f \cos 4\omega t - 0,144 f \cos 5\omega t - 0,171 f \cos 6\omega t -$$

$$mr\omega^2 f \sin \omega t + mg \sin \alpha$$

po úpravě

$$mx'' + kx = mg \sin \alpha - 0,359 f + (mr\omega^2 - 0,159 f) \cdot$$

$$\cdot \cos \omega t + 0,195 f \cos 2\omega t + 0,302 f \cos 3\omega t +$$

VŠST LIBEREC	Kinematické a dynamické po- souzení lámacího a stíracího ustrojí při přípravu stonku k získání dlouhého vlákna	DP — STR. 111
		9. ŘÍJNA 1965

František Bassmann

$$\begin{aligned}
 & + 0,097 f \cos 4wt - 0,144 f \cos 5wt - 0,171 f \\
 & \cdot \cos 6wt - (0,304 f + mrw^2 f) \sin wt - \\
 /79/ & - 0,269 f \sin 2wt + 0,041 f \sin 3wt + 0,249 f \\
 & \cdot \sin 4wt + 0,131 f \sin 5wt - 0,090 f \sin 6wt - \\
 & - 0,122 f \sin 7wt
 \end{aligned}$$

naoprávě straně je síla jíž si můžeme vyjádřit

Fourierovou řadou

$$/80/ P(t) = P_0 + \sum_{q=1}^6 P_{Aq} \cos qwt + \sum_{q=1}^7 S_{Bq} \sin qwt$$

a protože rovnice /c/ je lineární, bude mít řešení ve tvaru součtu partikulárních řešení pro jednotlivé části Fourierovy řady ve tvaru

$$/81/ x(t) = A_0 + \sum_{q=1}^6 A_q \cos qwt + \sum_{q=1}^7 B_q \sin qwt$$

Jednotlivé neznámé integrační konstanty A_0, A_q, B_q získáme dosazením do původní rovnice a porovnáním obou jejich stran. Dvojnásobným derivováním podle času získáme pro A_0

$$x_0 = A_0$$

$$x_0 = 0$$

$$x_0 = 0$$

dosadíme-li

$$m \cdot 0 + 1 A_0 = P_0$$

a z toho

$$/82/ \quad A_0 = \frac{P_0}{k} \quad \text{kde } P_0 = mgsind - 0,359f$$

dvojnásobným derivováním q-tého členu Fourierovy řady získáme

$$x_q = A_q \cos qwt + B_q \sin qwt$$

$$\dot{x}_q = -A_q w q \sin qwt + qw B_q \cos qwt$$

$$\ddot{x}_q = -q^2 w^2 A_q \cos qwt - q^2 w^2 B_q \sin qwt$$

tedy

$$\ddot{x}_q = -q^2 w^2 [A_q \cos qwt + B_q \sin qwt]$$

a dosadíme-li

$$mq^2 w^2 [-A_q \cos qwt - B_q \sin qwt] +$$

$$+ k [A_q \cos qwt + B_q \sin qwt] = P_q \cos qwt + P_q \sin qwt$$

a aby rovnice byla splněna, musí platit

$$\cos qwt = 0 \quad \sin qwt = 1$$

$$\sin qwt = 0 \quad \cos qwt = 1$$

takže členy při sinových a kosinových členech se musí rovnat

$$A_q / (k - mq^2 w^2) = P_q$$

$$B_q / (k - mq^2 w^2) = P_q$$

a tedy

$$A_q = \frac{P_q}{k - mq^2 w^2} \quad ; \quad B_q = \frac{P_q}{k - mq^2 w^2}$$

a dosadíme-li integrační konstanty A_0, A_q, B_q do rov. /81/ dostaneme

$$/83/ \quad x(t) = \frac{P_0}{k} + \sum_{q=1}^6 \frac{P_q}{k - mq^2 w^2} \cos qwt + \sum_{q=1}^7 \frac{P_q}{k - mq^2 w^2} \cdot \sin qwt$$

a toto nyní upřesníme pro náš skutečný případ

$$\begin{aligned}
 x/t = & \frac{mgsind - 0,359f}{k} + \frac{(mr\omega^2 - 0,15f)}{k - mw^2} \cdot \cos \omega t + \\
 & + \frac{0,195f}{k - m^2\omega^2} \cdot \cos 2\omega t + \frac{0,302f}{k - m^2\omega^2} \cos 3\omega t + \\
 & /84/ + \frac{0,047f}{k - 16m\omega^2} \cos 4\omega t - \frac{0,144f}{k - 25m\omega^2} \cos 5\omega t - \\
 & - \frac{0,171f}{k - 36m\omega^2} \cos 6\omega t - \frac{(0,304 + mr\omega^2 f)}{k - mw^2} \sin \omega t - \\
 & - \frac{0,269f}{k - 4m\omega^2} \cdot \sin 2\omega t + \frac{0,041f}{k - 9m\omega^2} \sin 3\omega t + \\
 & + \frac{0,249f}{k - 16m\omega^2} \sin 4\omega t + \frac{0,131f}{k - 25m\omega^2} \sin 5\omega t - \\
 & - \frac{0,010f}{k - 36m\omega^2} \sin 6\omega t + \frac{0,122f}{k - 49m\omega^2} \sin 7\omega t
 \end{aligned}$$

Nyní provedeme řešení pro skutečný případ, přesněji řešeno pro vibrační nůž I se třemi hranami.

Pro zadané hodnoty

$$f = 0,15 \dots \text{součinitel smykového tření}$$

$$m = 0,000682 \text{ kg sec}^2/\text{cm}$$

$$g = 981,5 \text{ cm/sec}^2$$

$$k = 15 \text{ kg/cm}$$

$$= 42 \text{ I/cm}$$

jsou jednotlivé konstanty

$$x_0 = \frac{mgsind - 0,359f}{k} = \frac{0,000682 \cdot 981,5 \cdot 0,42262 - 0,359 \cdot 0,15}{15} =$$

$$x_0 = 0,041 \text{ cm}$$

$$x_0 = 0,041 \text{ cm}$$

$$A_1 = \frac{mr\omega^2 - 0,159f}{k - mw^2} = \frac{0,000682 \cdot 2,5 \cdot 42^2 - 0,159 \cdot 0,15}{15 - 0,000682 \cdot 0,1764} = 0,295 \text{ cm}$$

$$A_1 = 0,295 \text{ cm}$$

$$A_2 = \frac{0,195 \cdot 0,15}{15 - 4 \cdot 0,000682 \cdot 1764} = 0,00288 \text{ cm}$$

$$A_2 = 0,00288 \text{ cm}$$

$$A_3 = \frac{0,302 \cdot 0,15}{15 - 9 \cdot 0,000682 \cdot 1764} = 0,00965 \text{ cm}$$

$$A_3 = 0,00965 \text{ cm}$$

$$A_4 = \frac{0,097 \cdot 0,15}{15 - 16 \cdot 0,000682 \cdot 1764} = -0,00348 \text{ cm}$$

$$A_4 = -0,00348 \text{ cm}$$

$$A_5 = -\frac{0,144 \cdot 0,15}{15 - 25 \cdot 0,000682 \cdot 1764} = 0,00144 \text{ cm}$$

$$A_5 = 0,00144 \text{ cm}$$

$$A_6 = -\frac{0,171 f}{k - 36 m w^2} = \frac{0,171 \cdot 0,15}{36 \cdot 0,000682 \cdot 1764 - 15} = 0,000594 \text{ cm}$$

$$A_6 = 0,000594 \text{ cm}$$

$$B_1 = -\frac{(0,304 + 0,000682 \cdot 2,5 \cdot 1764 \cdot 0,15)}{15 - 0,000682 \cdot 1764} = -0,055 \text{ cm}$$

$$B_1 = -0,055 \text{ cm}$$

$$B_2 = -\frac{0,269 \cdot 0,15}{15 - 4 \cdot 0,000682 \cdot 1764} = -0,00398 \text{ cm}$$

$$B_2 = -0,00398 \text{ cm}$$

$$B_3 = \frac{0,041 \cdot 0,15}{15 - 9 \cdot 0,000682 \cdot 1764} = 0,00147 \text{ cm}$$

$$B_3 = 0,00147 \text{ cm}$$

$$B_4 = \frac{0,249 \cdot 0,15}{15 - 19,2} = -0,0089 \text{ cm}$$

$$B_4 = -0,0089 \text{ cm}$$

$$B_5 = \frac{0,131 \cdot 0,15}{15 - 25 \cdot 0,000682 \cdot 1764} = -0,00131 \text{ cm}$$

$$B_5 = -0,00131 \text{ cm}$$

$$B_6 = -\frac{0,010 \cdot 0,15}{15 - 36 \cdot 0,000682 \cdot 1764} = 0,0000347 \text{ cm}$$

$$B_6 = 0,0000347 \text{ cm}$$

$$B_7 = \frac{0,122 \cdot 0,15}{49 \cdot 0,000682 \cdot 1764 - 15} = 0,000416 \text{ cm}$$

$$B_7 = 0,000416 \text{ cm}$$

dosazením těchto vypočítaných konstant do původní rovnice /81/ máme

$$x = 0,041 + 0,215 \cos wt + 0,00288 \cos 2wt +$$

$$/85/ \quad + 0,00965 \cos 3wt - 0,00144 \cos 4wt +$$

VŠST LIBEREC

Kinematické a dynamické po-
souzení lámacího a stíracího
ústrojí pro přípravu stonku
k získání dlouhého vlákna

DP — STR. 425

9. ŘÍJNA 1965

František Sassmann

$$+ 0,00144 \cos 5wt + 0,000544 \cos 6wt - 0,055 \sin wt - \\ - 0,00398 \sin 2wt + 0,00147 \sin 3wt - 0,0089 \sin 4wt - \\ - 0,00939 \sin 5wt + 0,0000347 \sin 6wt + 0,000416 \sin 7wt$$

Nyní si zjistíme výchylku x pro různé úhly

obr./IV/35

		$wt=0$	$wt=\frac{\pi}{8}$	$wt=\frac{\pi}{4}$	$wt=\frac{\pi}{3}$	$wt=\frac{\pi}{2}$
x	cm	0,27447	0,19291	0,08316	-0,0247	0,0618
S	kg	4,15000	2,90000	1,25000	-0,32600	0,93000
${}^4T_1 + {}^4T_3$	kg	0,01805	0,09530	0,2437	0,24743	0,39616

obr./IV/35

pro $wt=0$ z rovnice 85 plně pro x

$$x = 0,041 + 0,215 + 0,00288 + 0,00965 - 0,00144 + \\ + 0,00144 + 0,000544 = \underline{0,27447 \text{ cm}}$$

$$\underline{x = 0,27447 \text{ cm}}$$

a pro třecí síly

$$wt=0 \quad {}^4T_1 + {}^4T_2 + {}^4T_3 + {}^4T_4 = \\ = (0,359 \cdot 0,15 + 0,159 \cdot 0,15 - 0,115 \cdot 0,15 - 0,302 \cdot 0,15 - \\ - 0,097 \cdot 0,15 + 0,144 \cdot 0,15 - 0,171 \cdot 0,15 + 0) = 0,0361 \text{ kg} \\ \frac{1}{2}({}^4T_1 + {}^4T_2 + {}^4T_3 + {}^4T_4) = \frac{1}{2} 0,0361 = \underline{0,01805 \text{ kg}}$$

$$\frac{{}^4T_1 + {}^4T_2 + {}^4T_3 + {}^4T_4}{2} \\ \underline{{}^4T_4 = 0,01805}$$

69

Ostatní nebudeme zde řešit, jsou uvedeny v tabulce obr./IV/35.

Pro názornost si zjistíme počáteční fáze jednotlivých harmonických budících sil — viz obr./IV/36.

k	A_q	B_q	A_q^2	B_q^2
1	0,21500	-0,05500	0,04550	0,003075
2	0,00288	-0,00398	0,000008	0,000015
3	0,00965	0,00147	0,000093	0,0000021
4	-0,00144	-0,00890	0,000002	0,000079
5	0,00144	-0,00139	0,000002	0,0000017
6	0,00059	0,000034	0,0000003	0,00000001

k	$A_q^2 + B_q^2$	r_q	φ_q	y_q	θ_q
1	0,048575	0,220	3,990	104°20'	75°40'
2	0,000024	0,0039	0,725	134°05'	35°55'
3	0,000014	0,0097	6,550	89°35'	89°35'
4	0,000010	0,0031	0,102	189°10'	9°10'
5	0,000003	0,00194	9,100	132°10'	47°50'
6	0,0000003	0,00059	17,100	86°40'	86°40'

obr. IV/36

a lze nyní psát rovnici /85/

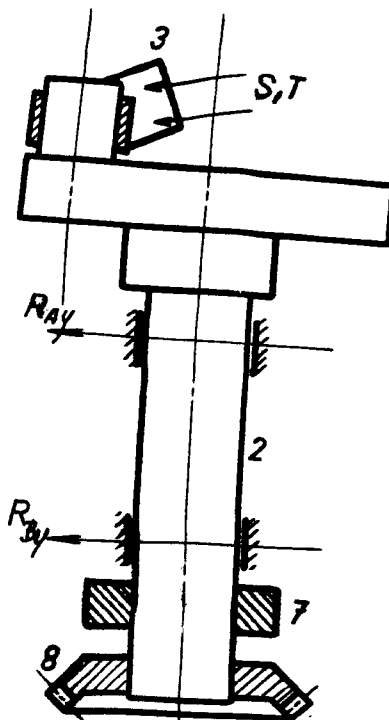
$$\begin{aligned}
 x = & 0,041 + 0,22 \sin (wt + 104^\circ 20') + 0,0049 \\
 /86/ & \cdot \sin (2wt + 134^\circ 05') + 0,00972 \sin (3wt + 89^\circ 15') + \\
 & + 0,00316 \sin (4wt + 189^\circ 10') + 0,00194 \sin \\
 & (5wt + 132^\circ 10') + 0,000595 \sin (6wt + 86^\circ 40')
 \end{aligned}$$

čímž máme dokonalý přehled o poloze jednotlivých harmonických.

B/ Namáhání klikového hřídele

Nyní, když máme zjištěny velikosti direkčních sil pružin a velikosti třecích sil, můžeme přistoupit k výpočtu nemáhání klikového hřídele.

Abychom mohli řešit velikosti reakcí v ložiskách, případně velikost ohýbových a kroutících momentů, zakreslme si všechny působící síly na hřídel do obr./IV/37.

obr./IV/37

Překreslme si ještě těleso 3 do obr./IV/38.

Silové poměry, jež na něj působí/tlačná direkční

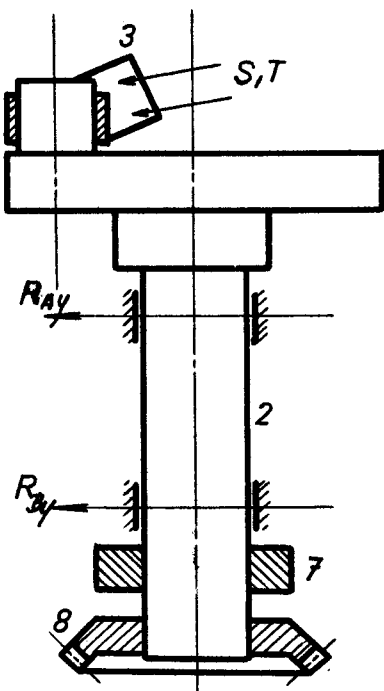
~~Vše průžin S a třecí síla T /jsou složitější a~~

~~vyžadují představu vlivem tělesa 3,~~

B/ Namáhání klikového hřídele

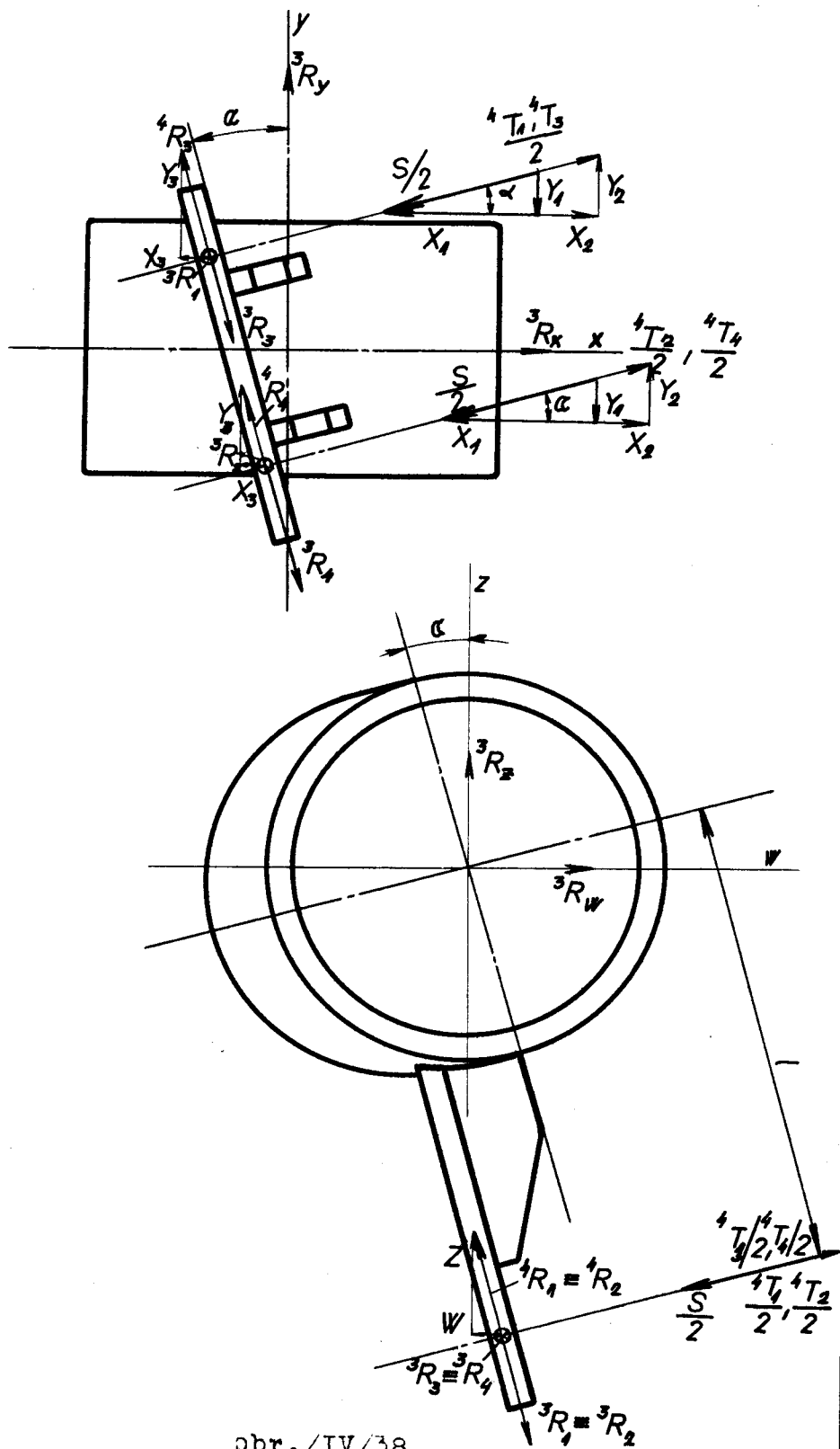
Nyní, kdy máme zjištěny velikosti direkčních sil pružin a velikosti třecích sil, můžeme přistoupit k výpočtu nemáhání klikového hřídele.

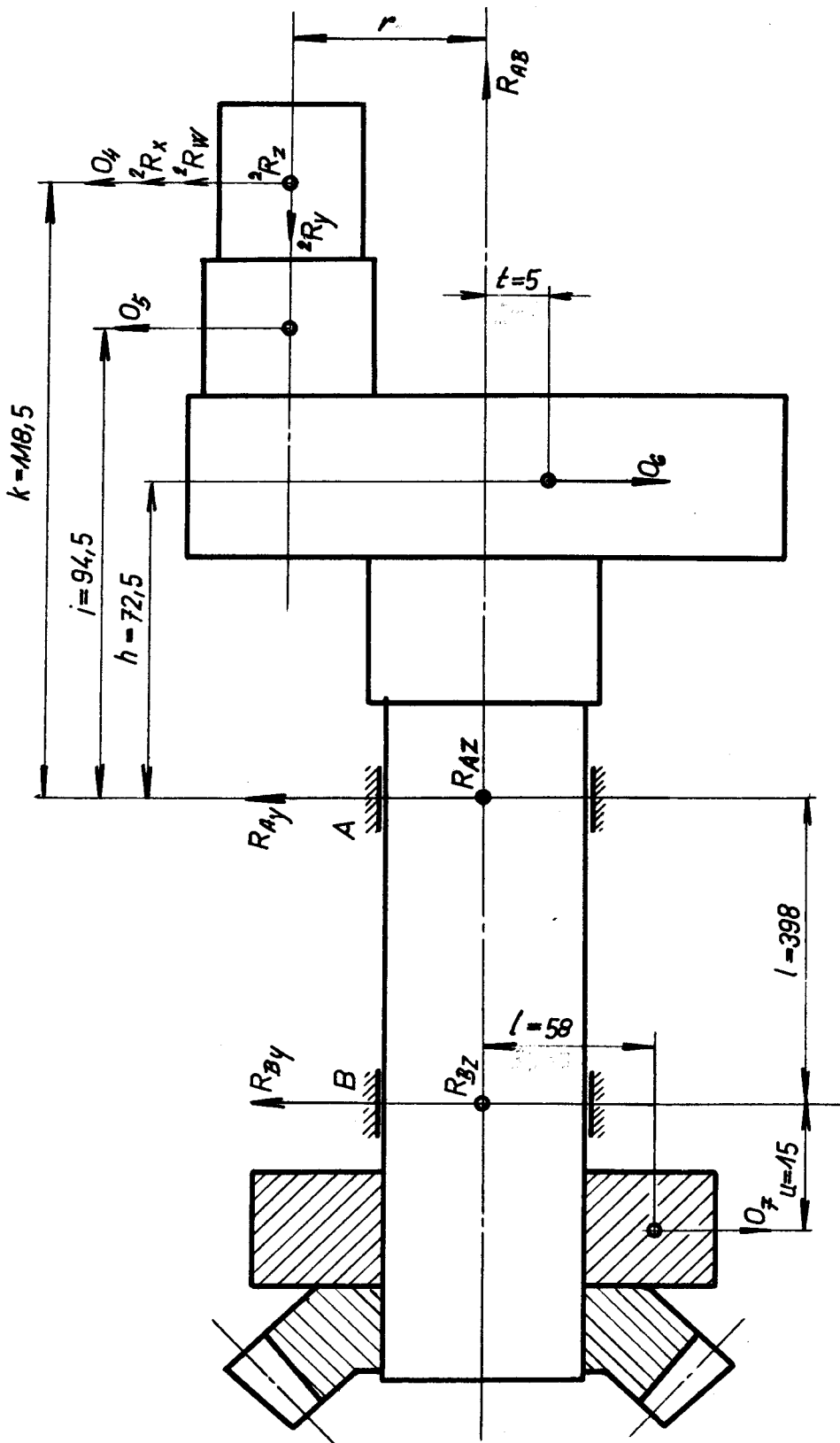
Abychom mohli řešit velikosti reakcí v ložiskách, případně velikost ohýbových a kroutících momentů, zakresleme si všechny působící síly na hřídel do obr./IV/37.



Překresleme si ještě těleso č do obr./IV/38.

Silové poměry, jež na něj působí/tlačná direkční síla pružin S a třecí síla T /jsou složitější a náročnější na přesnou představu vlivem tělesa č, které je tvarově velmi složité.





Z obr./IV/38 vidíme;

na těleso 3 /resp.5 / působí tyto síly:

třecí síly ${}^4T_1, {}^4T_2, {}^4T_3, {}^4T_4$

tlačné síly směru S

síly od tělesa 4 ... ${}^4R_1, {}^4R_2, {}^4R_3, {}^4R_4$

Tyto síly si rizložíme do dvou na sebe kolmých rovin. Jedna rovina je xy a druhá wz. To znamená, že klikový hřídel bude namáhan též ve dvou rovinách viz obr./IVI/ 39.

Sestavme si nyní reakce pro těleso 3 podle obr.

/IV/38

a/ reakce v rovině xy

$$/87/ {}^3R_y + Y_3 - Y_1 + Y_2 - Y_4 + Y_2 + Y_3 = 0$$

$$\text{resp. } {}^3R_y = 2[Y_1 - Y_2 - Y_3]$$

$$\text{a } {}^3R_x + X_2 - X_1 + X_2 - X_1 - X_3 - X_3 = 0$$

$$\text{resp. } {}^3R_x = 2[X_1 + X_3 - X_2]$$

/88/

b/ reakce v rovině wz

$${}^3R_w + 2[{}^4T_3 + {}^4T_4 + {}^4T_1 + {}^4T_2] \cos\alpha -$$

$$\text{resp. } -2 \frac{S}{2} \cos\alpha - 2w = 0$$

$$/89/ {}^3R_w = 2 \frac{S}{2} \cdot \cos\alpha + 2w - [{}^4T_3 + {}^4T_4 + {}^4T_1 + {}^4T_2] \cos\alpha$$

$$\text{a } {}^3R_z + 2z + [{}^4T_1 + {}^4T_2 + {}^4T_3 + {}^4T_4] \sin\alpha -$$

$$\text{resp. } -2 \frac{S}{2} \sin\alpha = 0$$

$$/90/ {}^3R_z = S \sin\alpha - 2z - [{}^4T_1 + {}^4T_2 + {}^4T_3 + {}^4T_4] \sin\alpha$$

kde jednotlivé hodnoty X a Y, W a Z znamenají

$$X_1 = \frac{S}{2} \cos \alpha$$

$$/91/ \quad X_2 = \frac{{}^4T_1 + {}^4T_3}{2} \cos d = \frac{{}^4T_2 + {}^4T_4}{2} \cos d$$

$$X_3 = \frac{{}^4R_3 \cdot \sin d}{1} = \frac{{}^4R_4 \cdot \sin d}{1}$$

a

$$Y_1 = \frac{S}{2} \sin d$$

$$/92/ \quad Y_2 = \frac{{}^4T_1 + {}^4T_3}{2} \cos d = \frac{{}^4T_2 + {}^4T_4}{2} \cos d$$

$$Y_3 = {}^4R_4 \cos d = {}^4R_3 \cos d$$

a

$$W = {}^4R_1 \sin d = {}^4R_2 \sin d$$

$$/93/ \quad Z = {}^4R_1 \cos d = {}^4R_2 \cos d$$

Než přikročíme k vlastnímu výpočtu, shrneme si potřebné hodnoty s nimiž budeme dále počítat.

$${}^4T_1 + {}^4T_2 + {}^4T_3 + {}^4T_4 = 0,03610 \text{ kg}$$

$$S = 4,15 \text{ kg}$$

$${}^4R_3 + {}^4R_4 = 0,12 \text{ kg}$$

$${}^4R_1 + {}^4R_2 = 0,12 \text{ kg}$$

$$\alpha = 20^\circ \dots \text{pro vibrační nůž I viz stat III}$$

obr.5 se třemi hranami

nytí dosadíme do rovnice /91/

$$X_1 = \frac{4,15}{2} \cdot \cos 20^\circ = \frac{4,15}{2} \cdot 0,93969 = \underline{\underline{1,95 \text{ kg}}}$$

$$X_2 = \frac{0,01805 \cdot 0,93969}{2} = \underline{\underline{0,0085 \text{ kg}}}$$

$$X_3 = 0,06 \cdot 0,34202 = \underline{\underline{0,0206 \text{ kg}}}$$

$$\underline{\underline{X_1 = 1,95 \text{ kg}}}$$

$$\underline{\underline{X_2 = 0,0085 \text{ kg}}}$$

$$\underline{\underline{X_3 = 0,0206 \text{ kg}}}$$

z dosazemím do rovnice /92/ plyne

$$Y_1 = 4,15 \cdot 0,34202 = \underline{0,713 \text{ kg}}$$

$$Y_2 = \frac{0,01805 \cdot 0,34202}{2} = \underline{0,009309 \text{ kg}}$$

$$Y_3 = 0,06 \cdot 0,93969 = \underline{0,05625 \text{ kg}}$$

z rovnice /93/ dosazením plyně

$$W = 0,06 \cdot 0,34202 = \underline{0,0206 \text{ kg}}$$

$$Z = 0,06 \cdot 0,93969 = \underline{0,05625 \text{ kg}}$$

Z těchto hodnot dosazením do rovnice /87/, /88/,

/89/, /90/ získáme velikosti reakcí

$${}^3R_y = 2 [0,713 - 0,009309 - 0,005625] = \underline{1,30732 \text{ kg}}$$

$${}^3R_x = 2 [1,950 + 0,0206 - 0,0085] = \underline{3,92 \text{ kg}}$$

$${}^3R_W = 4,15 \cdot 0,93969 + 2 \cdot 0,0206 - [0,03610] \cdot 0,93969 = \underline{3,9072 \text{ kg}}$$

$${}^3R_z = 4,15 \cdot 0,34202 - 2 \cdot 0,05625 - [0,03610] \cdot 0,34202 = \underline{1,30515 \text{ kg}}$$

Po výpočtu těchto hodnot lze řešit namáhání reakce klikového hřídele.

Nejprve si opět sestavíme rovnice dle obr. /IV/34.

Reakce R_{Ax} , R_{Az} , R_{Bz} , R_{By} , R_{ABx} vyplynou z momentových rovnic k bodeům A, B

$$/94/ M_B \dots R_{Ay} \cdot l - O_6(l-h) + O_5(l-i) + {}^3R_y r + ({}^2R_W + {}^2R_x + O_4)(l+k) + O_7 u = 0$$

$$M_A \dots R_{By} \cdot l - O_7(l+u) + O_6 \cdot h - O_5 i - {}^3R_y r -$$

$$/95/ - ({}^2R_W + {}^2R_x + O_4)k = 0$$

v rovině kolmé

$$/96/ \quad M_B \dots R_{Az} \cdot l - {}^2R_z / l + k = 0$$

$$M_A \dots R_{Bz} \cdot l - {}^2R_z \cdot k = 0$$

Pro tyto uvedené vzorce /rovn. 94, 95, 96/ budeme potřebovat tyto hodnoty:

$$O_4 = m_4 r w^2 = \frac{1,123}{9,81} \cdot 0,025 \cdot 42^2 = \underline{\underline{5,05 \text{ kg}}}$$

$$O_5 = m_5 r w^2 = \frac{0,064}{9,81} \cdot 0,025 \cdot 42^2 = \underline{\underline{0,287 \text{ kg}}}$$

$$O_6 = m_6 r w^2 = \frac{0,988}{9,81} \cdot 0,025 \cdot 42^2 = \underline{\underline{4,55 \text{ kg}}}$$

$$O_7 = m_7 r w^2 = \frac{1,088}{9,81} \cdot 0,025 \cdot 42^2 = \underline{\underline{4,91 \text{ kg}}}$$

$${}^2R_x = 3,92 \text{ kg}$$

$$\underline{\underline{O_4 = 5,05 \text{ kg}}}$$

$$\underline{\underline{O_5 = 0,287 \text{ kg}}}$$

$$\underline{\underline{O_6 = 4,55 \text{ kg}}}$$

$$\underline{\underline{O_7 = 4,91 \text{ kg}}}$$

Řešení bude provedeno pro největší délku/l/ kli-
kového hřídele.

$${}^2R_x = 3,92 \text{ kg}, \quad {}^2R_w = 3,91 \text{ kg}$$

$${}^2R_y = 1,31 \text{ kg}, \quad {}^2R_z = 1,31 \text{ kg}$$

$$l = 398 \text{ mm}, \quad i = 94,5 \text{ mm}$$

$$h = 72,5 \text{ mm}, \quad k = 118,5 \text{ mm}$$

$$t = 5 \text{ mm}, \quad r = 25 \text{ mm}$$

Dosadíme-li tyto hodnoty do rovnice /94/, /95/,

/96/,

$$R_{Ay} = -\frac{4,65}{39,8} (39,8 + 7,25) - \frac{0,287}{39,8} (39,8 + 9,45) - \\ - 1,31 \frac{0,025 \cdot 10^2}{39,8} (3,91 + 3,92 + 5,05) \frac{39,8 + 118,5}{39,8} - \\ - \frac{4,91 \cdot 1,5}{39,8} = \underline{\underline{-11,513 \text{ kg}}}$$

$$\underline{\underline{R_{Ay} = -11,513 \text{ kg}}}$$

$$R_{By} = \frac{4,91}{39,8} (39,8 + 9,5) - \frac{4,55}{39,8} \cdot 7,25 + \frac{0,287}{39,8} \cdot 9,45 + \\ + \frac{1,31}{39,8} \cdot 2,5 + (3,91 + 3,92 + 5,05) \cdot \frac{118,5}{39,85} = \underline{\underline{8,25 \text{ kg}}}$$

$$\underline{\underline{R_{By} = 8,25 \text{ kg}}}$$

$$R_{A_2} = \frac{1,31}{39,8} (39,8 + 11,85) = \underline{\underline{17,05 \text{ kg}}}$$

$$R_{B_2} = \frac{1,31}{39,8} \cdot 11,85 = \underline{\underline{0,391 \text{ kg}}}$$

$$R_{A_2} = \underline{\underline{17,05 \text{ kg}}}$$

$$R_{B_2} = \underline{\underline{0,391 \text{ kg}}}$$

Tyto hodnoty jsou hodnotami maximálními pro osy /x/ a /y/.

VŠST LIBEREC	Kinematické a dynamické po- souzení lámacího a stíracího ustrojí pro přípravu stonku k získání dlouhého vlákna	DP — STR. 435 9. ŘÍJNA 1965 František Sassmann
--------------	---	--

V. ZHODNOCENÍ POZNATKU A NÁVRH

VYUŽITÍ V UVĚDENÉM SMĚRU KONSTRUKCE .

Při celkovém hodnocení budeme pro lepší názornost postupovat následovně, hodnocením jednotlivých pracovních prvků.

I/ Vibrační nože

Řešení bylo prováděno velmi důkladně s cílem získat přehled o celkovém namáhání. Podle stávajícího pracovního zatížení lze z vypočtených výsledků říci, že celkové namáhání vibračních nožů není v žádném případě nebezpečné. Tuto rezervu namáhání nám dokumentuje vysoká hodnota bezpečnosti, jež byla pro největší ohybový moment rovna $s = 100$. Je tedy zřejmé, že lze tuto hodnotu bezpečnosti několikanásobně snižit, ovšem musíme mít vždy na zřeteli vliv snižování této hodnoty s na ohybové kmitání vibračních nožů, tak jak bylo provedeno na str.62 .

2/ Pružiny

Jak víme z předcházejících statí je vibrační náž vložen mezi pružiny , jejichž charakteristika je středově souměrná k počátku viz obr./IV/I s str.86 to znamená, že pružiny mohou vyvzovat

VŠST LIBEREC	Kinematické a dynamické po- šouzení lámacího a stíracího ustrojí pro přípravu stonku k získání alčuhého vlákna	DP — STR. 436 9. ŘÍJNA 1965 František Sassmann
--------------	---	--

pouze direkční tlačné síly. Při řešení kmitání vibračních nožů ve směru vedení jsme v závěru získali hodnoty stlačení x . Tato hodnota x charakterizuje polohu vibračního nože v tom kterém okamžiku pootočení klikového hřídele. To znamená je-li např. vibrační nůž v levé krajní poloze o výhylce x , se přenáší síly úměrné této výhylce přes levou pružinu na těleso 3 a klikový hřídel 2. Podle charakteristiky pružin to znamená, že pravá pružina je zcela odlehčena a délka pravé pružiny v tomto okamžiku je rovna své volné délce. Při pohybu vibračního nože s pravé krajní polohy ke středu se zmenšuje tlačná síla levé pružiny úměrná hodnotám x . V okamžiku, kdy výhylka $x = 0$ přichází teprve vibrační nůž do styku s pravou pružinou nárazem. Zároveň v tomto okamžiku jsou síly v obou pružinách nulové/ $x=0$ /, Při pohybu vibračního nůže do pravé krajní polohy nastanou opačné relace. Při uvážení tohoto děje lze říci, že v tomto případě, kdy je vibrační nůž vložen mezi tlačné pružiny, může nastat nežádoucí jev charakteristický svým klepáním, jehož intensita je dána velikostí výhylky x a frekvence je určena budící silou. Abychom odstranili tento případně vzniklý nežádoucí jev, lze užít dvojího způsobu úpravy a/zafixovat obě pružiny na vibračním noži a na těleso 3, resp. 5, čímž budou pružiny

pracovat jak jako tlačné tak i jako tažné.

b/vložit vibrační nůž mezi předepjaté /me-
zi stlačené/pružiny.

3/ Těleso 3,5 a klikové hřídele 2,6

Tvto konstrukční elementy byly zřejmě řešeny
více z hlediska spolehlivosti chodu v provozních
podmínkách než z hlediska namáhání vlastními
dynamickými silami a silami vzniklými při lá-
mání stonku. Dokladem toho je výpočet provedený
na str.I27 .

4/ Stønek

Velmi podrobné zhodnocení z hlediska namáhání
bylo provedeno v závěru statě III /str.55 /.

Na základě tohoto zhodnocení lze souhrně říci,
že při tomto způsobu lámání nemůže prakticky
nastat přetržení normálně pevného stonku půso-
bením osových tažných sil, neboť stønek má mno-
honásobně větší pevnost, než je celkové namáhá-
ní materiálu vznáklé účinkem vibračních nožù.

Dokladem toho jsou vypočtené hodnoty bezpečnosti
s . Je ovšem nutnou podmínkou, aby transportní
rychlosť materiálu byla v souladu se složkou
rychlosti vibračních nožù v_x . Nedodržením této
podmínky vzniká mnohonásobné zvýšení namáhání
materiálu.

Závěrem lze říci, že vibrační zařízení dnešní konstrukce principiell výhovuje všem žádaným parametrům a znamená pokrok ve svém oboru. Z hlediska konstrukčního je vibrační zařízení velmi náročné na váhu, což je způsobeno tím, že každá vibrační jednotka má dva náhonky. To znamená, že jedna sekce, se stavající ze tří párů vibračních jednotek má celkem 12 náhonů tedy dvanáct klikových hřídelů a 6 vibračních nožů, viz obr./V/ I. Uvědomíme-li si, že v lince pracují dvě sekce, jedna sekce je pro kořenovou část a druhá sekce je pro okvětní část stonku/ pak zde tedy máme celkem 24 náhonů, 24 klikových hřídelů, 12 vibračních nožů atd.../lažiska, ozubená kola/.

Z hlediska provedeného výpočtu, který ukázal velké rezervy v namáhání jednotlivých pracovních elementů lze závěrem naznačit jak odstranit nadbytečný počet uvedených pracovních elementů. Rekonstrukce by spočívala

a/místo dvou nožů 2,3 viz obr./V/I, použít jen jednoho nože, jehož délka by byla součtem délek nožů 2 a 3. Náhon tohoto vibračního nože by byl tvoren pouze hřídellem 3 a 6.

Touto úpravou zcela nijak nenarušíme konstrukci stavajícího zařízení. Byla by provedena pouze demontáž hřídelů 4 a 5 /tzn. i demontáž ozu-

VŠST LIBEREC	Kinematické a dynamické po- souzení lámacího a stíracího ustrojí pro přípravu stonku k získání dlouhého vlákna	DP — STR. 439 9. ŘÍJNA 1965 František Sassmann
--------------	---	--

běných kol v náhonové skříni, demontáž ložisek...

Byla by pouze nutná konstrukce nového vibračního nože.

Nová konstrukce jedné sekce by byla nyní tvořena pouze 8 náhonů, 8 klikovými hřídeli, a pouze 4 vibračními noži.

Pro obě sekce to znamená úsporu 8 náhonů, 8 klikových hřídelů, 16 ložiskových těles ...což ve skutečnosti představuje /kromě vibračních nožů/
celou jednu sekci.

b/rekonstrukce stejná jako v bocě/a/ s rozdílem v tom, že by byla provedena demontáž klikového hřídele 4,6. Při této úpravě by byl nový vibrační nůž kratší, než v případě /a/, tzn., že tuto rekonstrukci lze provést jen v případě zajištění dodávky kratšího lnu.

Zcela novou cestou v tomto oboru by bylo řešení mechanismu s tělesem 2 hnaným a tělesem 6 vloženým.

VŠST LIBEREC

Kinematické a dynamické po-
souzení lámacího a stíracího
ustrojí pro přípravu stonku
k získání dlouhého vlákna

DP — STR. 440

9. ŘÍJNA 1965

František Sessmann

SEZNAM LITERATURY

- Koloušek V., Hořejší J., :Úvod do harmonického kmi-
tí, Praha 1954
- Šrejtr J., :Technická mechanika III, Praha 1958
- Kožešník J., :Dynamika strojů Praha 1958
- Timošenko Š., :Kmitání ve strojníctví, Praha 1956
- Gonda J., :Kmitanie pružných těl, Bratislava 1961
- Höschl C., :Nauka o kmitání, Praha 1965
- Binder R., :Mechanika tuhých těl - IV Kmitání,
Bratislava 1957
- Šalamoun M., :Matematika pro regulaci a automatizaci
Praha 1957
- Weigand A., :Einführung in die Berechnung mecha-
nischer Schwingungen, Berlin 1958
- Charvát J., :Teorie mechanismů, Praha 1964
- Höschl C., :Pevnost a pružnost, skriptum,
- Černoch S., :Strojní technická příručka, Praha
- Rektorys K., :Přehled užité matematiky, Praha 1963
- Velouch M., :Pětimístné logaritmické tabulky,
Praha 1952
- Patent I 022949/I952 - :francouzský patent firmy
Nederlandse Organisatie voor Toege-
pastnaturwetenschappelijk onderzoek
ten behoeve van Nijverheid, Handel en
Verkeer se sídlem v Holandsku
- Patent 691751- :Vilém Bedřich Jindřich Zegers z
Haagu, Holandsko
- Patent 695090/I940- :Kurt Frische in Bensheim
- VÚLV Šumperk, :Dílčí technická zpráva o výsledcích
ověřování funkční vibrační lamačky
v I-III čtvrtletí 1962
- VÚLV Šumperk, :Technická zpráva etapy A-II, VÚ-
Linka, 30.3.1965